

RAMBOLL

PM Geoteknik

PEAB Anläggning AB

Nolhaga reningsverk

Karlstad 2021-06-30

Nolhaga reningsverk

PM Geoteknik

Datum 2021-06-30
Uppdragsnummer 1320051919
Utgåva/Status

Valter Lundgren
Uppdragsledare

David Erikson
Handläggare

Joakim Persson
Granskare

Ramboll Sweden AB
Box 5343, Vädursgatan 6
402 27 Göteborg

Telefon 010-615 60 00
www.ramboll.se

Unr 1320051919 Organisationsnummer 556133-0506

Innehållsförteckning

1.	Uppdrag, objekt och syfte	1
2.	Underlag	1
2.1	Underlag från Beställaren	1
2.2	Underlag från Ramboll.....	1
2.3	Styrande dokument	1
3.	Jordlagerförhållanden.....	2
3.1	Valda medelvärden	2
3.1.1	Sand	2
3.1.2	Silt	2
3.1.3	Lera	2
3.2	Dimensionerande materialparametrar	3
3.2.1	Omräkningsfaktor.....	3
3.2.2	Sammanställning materialparametrar	4
4.	Hydrogeologiska förhållanden.....	5
5.	Erosion.....	5
6.	Laster	6
6.1	Sektion A.....	6
6.2	Sektion B.....	6
6.3	Sektion C.....	6
7.	Beräkningar	7
7.1	Geotekniks kategori och säkerhetsklass.....	7
7.2	Sektioner	7
7.3	Beräkningsmetod	7
7.4	Känslighetsanalys.....	7
7.5	Programvara	7
8.	Resultat	7
8.1	Sektion A.....	7
8.2	Sektion B.....	9
8.3	Sektion C.....	10
9.	Slutsats och rekommendationer.....	11

Bilagor

Bilaga A – Inventering erosion, platsbesök (16 sidor)

Bilaga B – Kontrollera sektioner (2 sidor)

Bilaga C Stabilitetsberäkningar, utskrifter från Slope/W (53 sidor)



ii

Nolhaga reningsverk PM Stabilitet

1. Uppdrag, objekt och syfte

Ramboll Sweden AB har på uppdrag av PEAB Anläggning AB utfört stabilitetsberäkningar vid Nolhaga reningsverk. Syftet är att bedöma risken för jordskred samt inventera pågående erosion i Säveån inför ombyggnation av reningsverket.

2. Underlag

2.1 Underlag från Beställaren

- Nolhaga reningsverk. Markteknisk undersökningsrapport/Geoteknik (MUR/GEO). Utförd av Sweco Civil AB. Daterad 2020-03-31, uppdragsnummer 12708284
- Nolhaga reningsverk, detaljplaneskede. PM/Geoteknik. Utförd av Sweco Civil AB. Daterad 2020-03-31, uppdragsnummer 12708284
- Detaljerad stabilitetsutredning. Alingsås – Säveåns dalgång. Utförd av Sweco VBB. Daterad 2007-02-16, uppdragsnummer 2305 214-001
- Sjömätning av Säveån, erhållen från Alingsås kommun 2021-06-09

2.2 Underlag från Ramboll

- Nolhaga reningsverk, Markteknisk undersökningsrapport/ MUR Geo daterad 2021-02-15 uppdragsnummer 1320051919
- Nolhaga reningsverk, PM Geoteknik daterad 2021-03-05 uppdragsnummer 1320051919
- Situationsplan i dwg-format
- Nolhaga 4.0 Underlag för kalkyl. Med beskrivning av byggnader och deras marktryck. Upprättad av Ramboll 2021-03-18

2.3 Styrande dokument

- IEG rapport 4:2010. Tillståndsbedömning/ klassificering av naturliga slanter och slanter med befintlig bebyggelse och anläggningar
- IEG rapport 6:2008 rev 1. Tillämpningsdokument EN 1997-1 kapitel 11 och 12, slanter och bankar.
- TK Geo 13, TDOK 2013:0667
- TR Geo 13, TDOK 2013:0668
- Jords egenskaper, SGI information 1, 2008

3. Jordlagerförhållanden

Jordlagerföljden i området karakteriseras av ca 10-20m mäktigt lager av älvsediment som överlagrar lera med mächtighet om ca 26-33m. Älvsedimentet består mestadels av sand och silt med inslag av lera. Sanden och silten bedöms som medelfast lagrad.

Skikten varierar mellan undersökningspunkterna.

3.1 Valda medelvärden

3.1.1 Sand

Från utförda CPT sonderingar har lagringstäthet och inre friktionsvinkel utvärderats. Sanden bedöms som medelfast lagrad.

Inre friktionsvinkel utvärderad från CPT sondering har utvärderats till ca 35-37 grader. Empiriska värden i TK Geo (tabell 5.2-3) är mellan 28-35 grader beroende på lagringstäthet.

Utifrån utvärderad lagringstäthet väljs inre friktionsvinkel för sanden till 31 grader.

Utifrån empiriska värden antas sandens tunghet vara 18kN/m^3 och effektiv tunghet 10kN/m^3 .

3.1.2 Silt

Från utförda CPT sonderingar har lagringstäthet och inre friktionsvinkel utvärderats. Silten bedöms som medelfast lagrad.

Inre friktionsvinkel utvärderad från CPT sondering har utvärderats till ca 28-34 grader. Empiriska värden i TK Geo (tabell 5.2-3) är mellan 26-33 grader beroende på lagringstäthet.

Utifrån utvärderad lagringstäthet väljs inre friktionsvinkel för silten till 28 grader.

Utifrån empiriska värden antas silten tunghet vara 17kN/m^3 och effektiv tunghet 9kN/m^3 .

3.1.3 Lera

Vald odränerad skjuvhållfasthet på leran (utifrån PM Geoteknik) redovisas i Tabell 1. Lägre odränerad skjuvhållfasthet än i PM utvärderade ansätts pga. osäkerhet kring lerans egenskaper närmast Säveån.

Lerans dränerade egenskaper bestäms empiriskt enligt nedanstående samband (Skredkommisionen rapport 3:95)

$$\phi' = 30^\circ$$

$$c' = 0,1 * \overline{c_u}$$

Tabell 1 Vald skjuvhållfasthet lera

Djup (m)	Odränerad skjuvhållfasthet (kPa)
-20	35
20–37	35 + 2,1 kPa/m
37-	70

Lerans tunghet har utvärderats på upptagna prover till 17,5–19 kN/m³. Medelvärde på 18 kN/m³ väljs. Effektiv tunghet 8 kN/m³.

3.2 Dimensionerande materialparametrar

Dimensionerande materialparametrar när ett lågt värde är dimensionerande

$$X_d = \frac{1}{\gamma_M} \eta \bar{X}$$

X_d är dimensionerande värde på aktuell materialparameter

γ_M är fast partialkoefficent, se tabell 2

η omräkningsfaktor beroende på typ av brott, utförda undersökningar och dess spridning, se tabell 3 och 4.

\bar{X} är värderat medelvärde baserat på värden för aktuell materialparameter

Tabell 2 Fast partialkoefficient γ_M (IEG 2:2008 Rev 3 Bilaga A, Tabell 2)

Parameter	Partialkoefficient γ_M (brottgränstillstånd)
Tunghet γ/γ'	1,0
Odränerad skjuvhållfasthet	1,5
Friktionsvinkel $\tan\phi$	1,3

3.2.1 Omräkningsfaktor

Omräkningsfaktorn för sand och silt redovisas i Tabell 3 och för lera i Tabell 4. För tunghet är omräkningsfaktorn 1,0.

Tabell 3 Omräkningsfaktor för sand och silt

Delfaktor	Parameter	Vald	Värde
$\eta_{1,2}$	Antal undersökningspunkter och variation	Flera undersökningspunkter	1,0
η_3	Osäkerhet beroende på undersökningsmetod	CPT har utförts	1,0

$\eta_{4,5,6,7}$	Omfattning av eventuell brottyta samt om brottytans skjuvhållfasthet bestämmes av medelvärde eller enstaka värde	Troligt liten brottyta, medelvärde. Närhet till undersökningspunkterna	1,0
$\eta_{silt,sand}$	Produkt av ovanstående faktorer		1,0

Tabell 4 Omräkningsfaktor för lera

Delfaktor	Parameter	Vald	Värde
$\eta_{1,2}$	Antal undersökningspunkter och variation	Flera undersökningspunkter, liten variation	1,0
η_3	Osäkerhet beroende på undersökningsmetod	CPT och fallkon, stor spridning	0,95
$\eta_{4,5,6,7}$	Omfattning av eventuell brottyta samt om brottytans skjuvhållfasthet bestämmes av medelvärde eller enstaka värde	Troligt liten brottyta, medelvärde. Närhet till undersökningspunkterna	1,0
η_{lera}	Produkt av ovanstående faktorer		0,95

3.2.2

Sammanställning materialparametrar

Karakteristiska värden på materialparametrar redovisas i Tabell 5. Reduktion för fast partialkoefficient utförs i beräkningsprogrammet Geostudio Slope/W.

Tabell 5 Karakteristiska materialparametrar

Jordart	Djup	Tunghet (γ/γ')	Odränerad skjuvhållfasthet (c_u)	Friktionsvinkel
Sand	Varierar	18/10	-	31
Silt	Varierar	17/9	-	28
Lera (1)	-20	18/8	33	-
Lera (2)	20-	18/8	33 kPa/m från nivå +40. Max 66,5 kPa	-

4. Hydrogeologiska förhållanden

Utifrån genomförda mätningar i MUR/Geo bedöms att det råder en i stort sett hydrostatisk tryckprofil i leran. Inom ramen för aktuell stabilitetsutredning har en kompletterande avläsning av portrycksspetsarna utförts i juni 2021. Portrycket ligger i linje med de som uppmätts i samband med upprättande av MUR/Geo och PM/Geo.

Grundvattennivån i sand och siltskikten närmast Säveån bedöms följa vattennivån i ån.

Högvatten

I PM översvämnings (upprättat av Sweco 2020-10-12) har följande vattennivåer bedömts kunna inträffa i Mjörn

50-års flöde +59,7

100-års flöde +60,4

Lågvatten

Lägsta lågvattennivå (LLV) i Mjörn bedöms till +57,4 (MUR/Geo upprättad av Sweco 2020-03-31).

Stabilitetsmässigt mest ogynnsamma situationen är vid lägsta lågvatten, denna vattennivå används vid beräkningarna. Inåt land bedöms grundvattenytan ligga ca 2m under markytan.

5. Erosion

Inventering av pågående slänterosion genomfördes i juni 2021 av geotekniker David Erikson, Ramboll Sweden AB. Resultat redovisas i bilaga A.

Pågående erosion konstaterades på delar av strandlinjen mot Säveån dock inte i de delar som är i direkt anslutning till planerade nybyggnation.

Då Säveån är ett meandrande vattendrag och finkornigt material finns längs dess sträckning finns det risk att erosion uppstår på nya delsträckor. Detta om flöden förändras eller om byggnation förändrar strömningsförhållandena.

Nyligen har erosionsskydd uppförts på delar av södra sidan av Säveån med krossmaterial. Härda erosionsskydd tenderar att flytta erosionen då strömningsförhållandena förändras. Hur aktuella erosionsskydd påverkar erosion på norra sidan är i dagsläget oklart och behöver följas över tid.

För att kontrollera eventuell framtida erosion kan påverka stabiliteten har erosion modellerats genom att strandlinjen flyttas fem meter inåt land och att Säveåns

djup ökar med två meter. Notera att eventuell erosion kan påverka vattendragets och strandlinjens geometri på andra sätt än det modellerade.

6. Laster

Preliminära marktryck och utbredning av nya byggnader är hämtade från "Nolhaga 4.0 Underlag för kalkyl" samt situationsplan med planerade markhöjder. Marktrycken från planerade byggnader har behandlats som permanenta geotekniska laster.

6.1 Sektion A

I denna sektion planeras dels en rötkammare dels en gasklocka att uppföras. Rötkammarens utbredning i sektionens längdriktning är ca 13m och gasklockan ca 9m.

Rötkammaren bedöms generera ett marktryck på cirka 151kPa medan marktrycket för gasklockan är okänt vid tidpunkt för stabilitetsanalyser. I beräkningarna antas ett marktryck på 40kPa från gasklockan.

Preliminärt kommer rötkammaren att stödpålas och inga tillskottslater från byggnaden uppkommer då, enbart ca 20kPa från upphöjning av marken under plattan.

I stabilitetsberäkningarna har både alternativet med och utan pålning beräknats.

Höjning av marknivån i sektionen planeras. I beräkningarna har en last om 30kPa (motsvarar ca 1,5m) över 5m mot Säveän från gasklockan (fram till staket).

6.2 Sektion B

Slambehandlingsbyggnad med marktryck 69kPa. Denna grundläggs preliminärt under markytan vilket ger ett korrigerat marktryck om 6kPa. I beräkningarna har 70kPa på befintlig marknivå används för att utreda om grundläggningarnivån påverkar stabiliteten

Höjning av marknivå planeras i sektionen. I beräkningarna har 30kPa (motsvarar ca 1,5m höjning) över 10 m mot Säveän antagits.

6.3 Sektion C

Biobassänger med marktryck 66kPa, preliminär grundläggningarnivå 0,8m under befintlig markytan vilket ger ett korrigerat marktryck om 42kPa. I beräkningarna har både 42 och 66kPa kontrollerats.

Ingen höjning av marknivån runt byggnaden planeras.

7. Beräkningar

7.1 Geotekniks kategori och säkerhetsklass
Geoteknisk kategori 2 och säkerhetsklass 2. Vid beräkningar med partialkoefficientmetoden i säkerhetsklass 2 skall minst säkerhetsfaktor 1,0 uppnås.

7.2 Sektioner
Läget för de analyserade sektionerna redovisas i bilaga B.

7.3 Beräkningsmetod
Släntstabilitetsberäkningar har utförts i både odränerade och kombinerade analyser med partialkoefficientmetoden.

7.4 Känslighetsanalys
En känslighetsanalys har utförts genom att reducera jordens hållfasthetsparametrar och utföra beräkningarna med dessa förutsättningar.

I skikten av lera mellan sand och silt används en lägre odränerad skjuvhållfasthet om 25kPa istället för 33kPa.

Lägre friktionsvinkel om 30 respektive 27 grader för sand och silt istället för 31 respektive 28 grader.

7.5 Programvara
Beräkningarna har utförts med hjälp av programvaran Geostudio 2020 Slope/W version 10.2.1.19666. I aktuella analyser har cirkulärcylindriska glidytor beräknats med Morgenstern-Princes lamellmetod. Denna tar hänsyn till både moment och kraftjämvikt.

8. Resultat

8.1 Sektion A
Resultat från stabilitetsanalys i sektion A redovisas i Tabell 6, resultat från känslighetsanalys redovisas i Tabell 7.

Tabell 6 Resultat (säkerhetsfaktor) för analyser i sektion A

Förhållanden	Marktryck per byggnad/höjning av mark (kPa)	Erosion	Vattenstånd i Säveån	Odränerad analys	Kombinerad analys
Befintliga	-	-	LLW	1,74	1,44

Rötkammare (ej pålad), gasklocka och höjning mark	151/40/30	-	LLW	1,15	1,05
Rötkammare (pålad), gasklocka och höjning mark	20/40/30	-	LLW	1,57	1,38
Rötkammare (pålad), gasklocka och höjning mark	20/40/30	5m av strandlinje	LLW	1,41	1,24
Rötkammare (ej pålad), gasklocka och höjning mark	151/40/30	5m av strandlinje	LLW	1,01	0,91
Rötkammare (pålad), gasklocka och höjning mark	20/40/30	5m av strandlinje och 2m djupare	LLW	1,24	1,04

Tabell 7 Resultat (säkerhetsfaktor) för analyser i sektion A med reducerade materialparametrar.

Förhållanden av mark	Marktryck per byggnad/höjning (kPa)	Erosion	Vattenstånd i Säveån	Odränerad analys	Kombinerad analys
Rötkammare (pålad), gasklocka och höjning mark	20/40/30	-	LLW	1,28	1,14
Rötkammare (pålad), gasklocka	20/40/30	5m av strandlinje	LLW	1,15	1,02

och höjning mark					
Rötkammare (pålad, gasklocka och höjning mark	20/40/30	5m av strandlinje och 2m djupare	LLW	1,00	0,90

8.2

Sektion B

Resultat från stabilitetsanalys i sektion B redovisas i Tabell 8, resultat från känslighetsanalys redovisas i Tabell 9.

Tabell 8 Resultat (säkerhetsfaktor) för analyser i sektion B

Förhållanden	Marktryck per byggnad/höjning av mark	Erosion	Vattenstånd i Säveån	Odränerad analys	Kombinerad analys
Befintliga	-	-	LLW	1,55	1,39
Slambehandling	70	-	LLW	1,54	1,40
Slambehandling och höjning mark	70/30	-	LLW	1,54	1,40
Slambehandling och höjning mark	70/30	5m av strandlinje och 2m djupare	LLW	1,25	1,09
Slambehandling och höjning mark	70/30	10m av strandlinje och 2m djupare	LLW	0,73*/1,14 **	0,73*/1,23 **

*Glidytta som enbart berör strandlinjen.

**Glidytta som går in under planerad byggnation

Tabell 9 Resultat (säkerhetsfaktor) för analyser i sektion B med reducerade materialparametrar

Förhållanden	Marktryck per byggnad/höjning av mark (kPa)	Erosion	Vattenstånd i Säveån	Odränerad analys	Kombinerad analys
Slambehandling och höjning mark	70/30	-	LLW	1,31	1,23
Slambehandling och höjning mark	70/30	5m av strandlinje och 2m djupare	LLW	1,18	1,04
Slambehandling och höjning mark	70/30	10m av strandlinje och 2m djupare	LLW	0,70*/1,14 **	0,70*/1,08*

*Glidtyta som enbart berör strandlinjen.

**Glidtyta som går in under planerad byggnation

8.3

Sektion C

Resultat från stabilitetsanalys i sektion B redovisas i Tabell 10, resultat från känslighetsanalys redovisas i Tabell 11.

Tabell 10 Resultat (säkerhetsfaktor) för analyser i sektion C

Förhållanden	Marktryck per byggnad/höjning av mark (kPa)	Erosion	Vattenstånd i Säveån	Odränerad analys	Kombinerad analys
Befintliga	-	-	LLW	1,85	1,76
Bioblock	42	-	LLW	1,57	1,49
Bioblock	66	-	LLW	1,41	1,34
Bioblock	42	5m av strandlinje och 2m djupare	LLW	0,66*/1,29 **	0,67*/1,16 **

Bioblock	66	5m av strandlinje och 2m djupare	LLW	0,66*/1,12 **	0,67* /1,05**
----------	----	--	-----	-------------------------	-------------------------

*Glidytta som enbart berör strandlinjen.

**Glidytta som går in under planerad byggnation

Tabell 11 Resultat (säkerhetsfaktor) för analyser i sektion C vid med reducerade materialparametrar

Förhållanden av mark	Marktryck per byggnad/höjning (kPa)	Erosion	Vattenstånd i Säveån	Odränerad analys	Kombinerad analys
Bioblock	42	-	LLW	1,48	1,46
Bioblock	66	-	LLW	1,34	1,27
Bioblock	42	5m av strandlinje och 2m djupare	LLW	0,64*/1,11 **	0,64*/1,04 **
Bioblock	66	5m av strandlinje och 2m djupare	LLW	0,64*/1,02 **	0,64* /0,96 **

*Glidytta som enbart berör strandlinjen.

**Glidytta som går in under planerad byggnation

9. Slutsats och rekommendationer

Alla de tre undersökta sektionerna med kontrollerade marktryck bedöms ha erforderlig säkerhetsfaktor mot brott. Analyserna bygger på Säveåns geometri och djup vid sjömätning våren 2021.

Nya stabilitetsanalyser bör utföras om fortsatt projektering visar att antagna marktryck kommer överskridas eller om läget av föreslagna byggnader förändras så att de hamnar närmare Säveån.

Om erosion skulle uppstå längs de kontrollerade sektionerna försämras säkerhetsfaktorn, därav är det av vikt att långsiktigt säkra den norra stranden mot erosion. De modellerade fallen visar att om stranden eroderar ca 5m och Säveåns djupfåra förflyttar sig närmare reningsverket sjunker säkerhetsfaktorn och närmar sig 1,0. Då det är svårt att förutspå hur eventuell kommande erosion skulle påverka strandlinjens lutning och geometri går det ej att ge ett skarpt kriterium

på tillåten erosion, men i grova drag får inte strandlinjen erodera mer än cirka 5m.

Erosion pågår på delar av norra stranden av Säveån. Vid inventering i samband med platsbesök konstaterades att erosion inte pågick vid sektioner undersökta avseende stabilitet. Dock konstaterades erosion på delsträckor i närheten, bland annat mot "Hälsans stig".

De nyetablerade erosionsskydden på delar av södra stranden kan påverka strömningsförhållandena och erosion uppstå på nya platser.

Ramboll rekommenderar att man med jämna intervall (ex vartannat eller vart tredje år) inventerar norra strandlinjen om erosion uppstår samt påbörja arbete (utredning) att etablera erosionsskydd även på norra stranden i ytterkurva mot bioblock och längs sträckan närmast slambehandlingsbyggnaden och rötkamrarna.

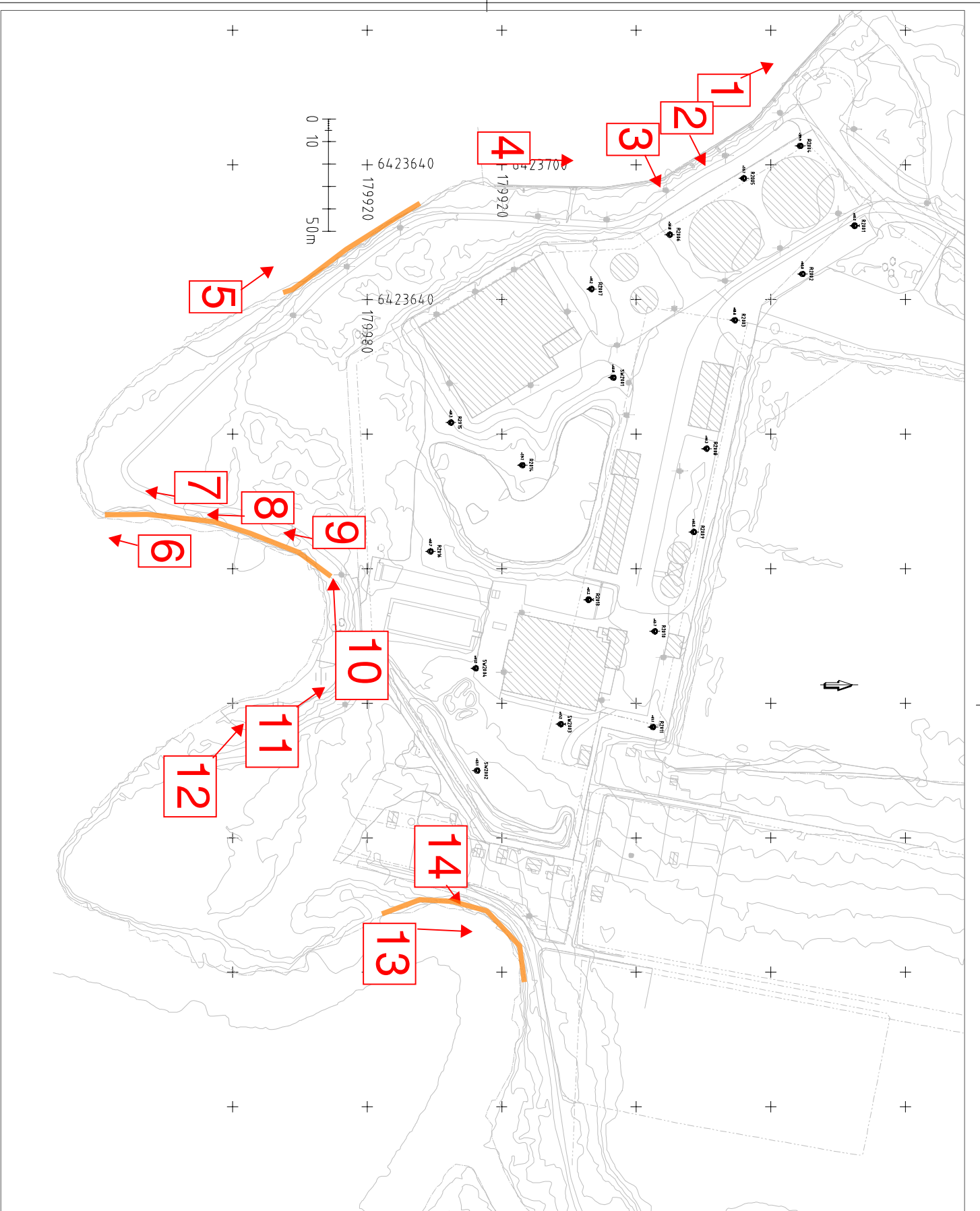
Inventering erosion, platsbesök

Översiktsritning med pågående erosion markerad

1

Foton

2-15



ANMÄRKNINGAR:
KODINATYSYSTEM: SV92 2000
HÖDSYSTEM: RH 2000

BETECKNINGAR:
BETECKNINGSSYSTEM: SGF/BGS
HEMDA: www.SGF.NET/BETSYSTEM
VERSION: 2001:2

R20xx - Nu utförda undersökningar
av Ramboll.
SW20b - Tidigare utförda
undersökningar av Sweco (2020).
Lägen är ungefärliga och tolkade
utför åns riktning.

**Pågående
erosion i
strandlinjen**

X Nummer
på foto

→ Riktning

14

13

12

11

10

9

8

7

6

5

4

3

2

1

RET	ANT	INDIKERAD AVSE	DATA	SIN
Platsbeskr 2021-46-99				

Recovering av tonen av erosion längs Söderåsen
David Eriksson

Läge för rötkammare och
gasklocka



Foto 2

Läge för rökkammare och
gasklocka

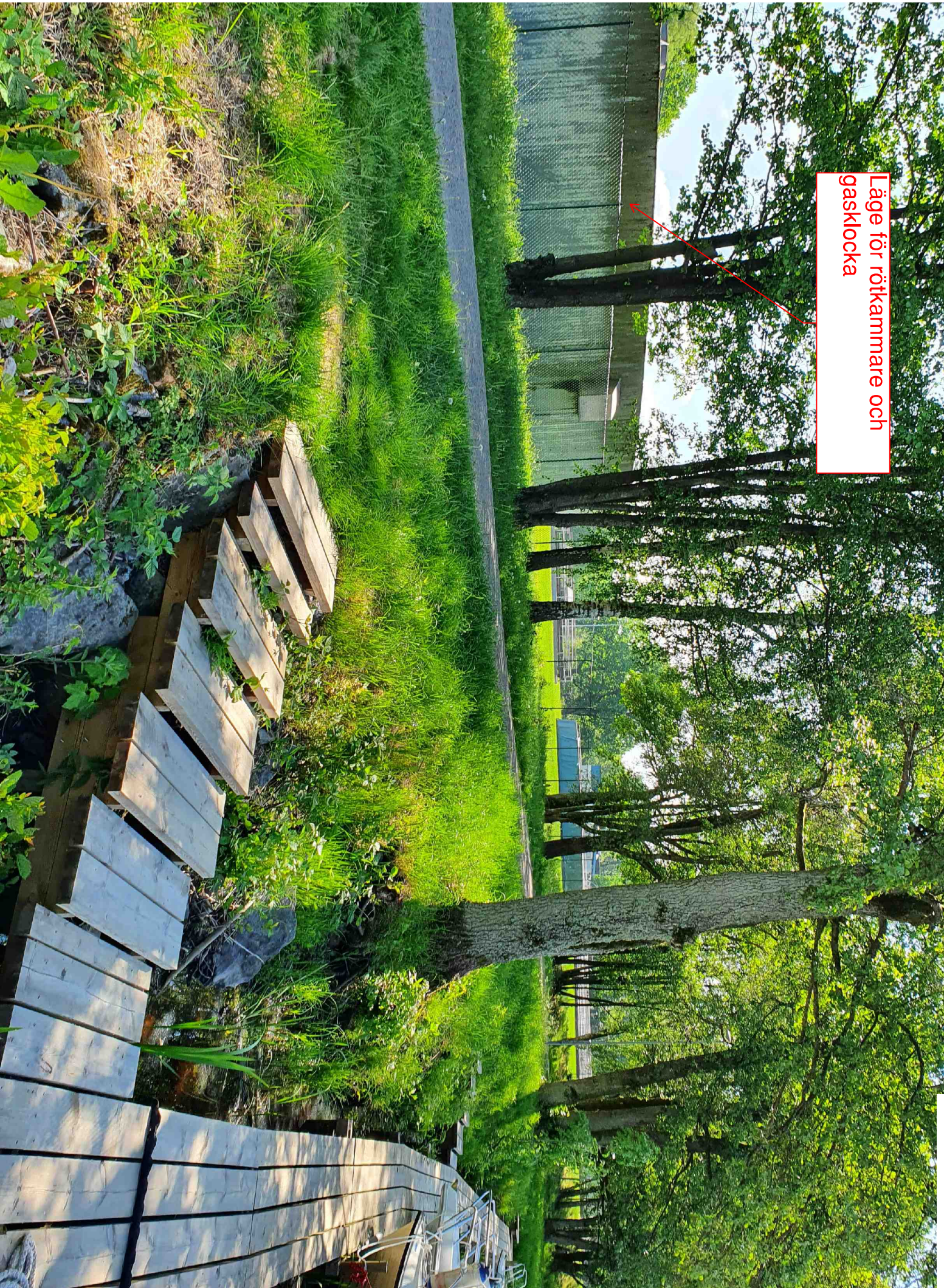


Foto 3



Foto 4

Läge för rötkammare och
gasklocka

Läge för
slambehandlingsbyggnad



Foto 5



Foto 6
Pågående erosion

Hälsans stig

Nytt
erosionsskydd



Foto 7
Pågående erosion



Foto 8
Pågående erosion



Foto 9
Notera lutande
träden





Läge för nytt
bioblock

Foto 10

Foto 11

Läge för nytt
bioblock



Grund del av Säveån
trots ytterkurva. Ingen
pågeående erosion

Läge för nytt
bioblock

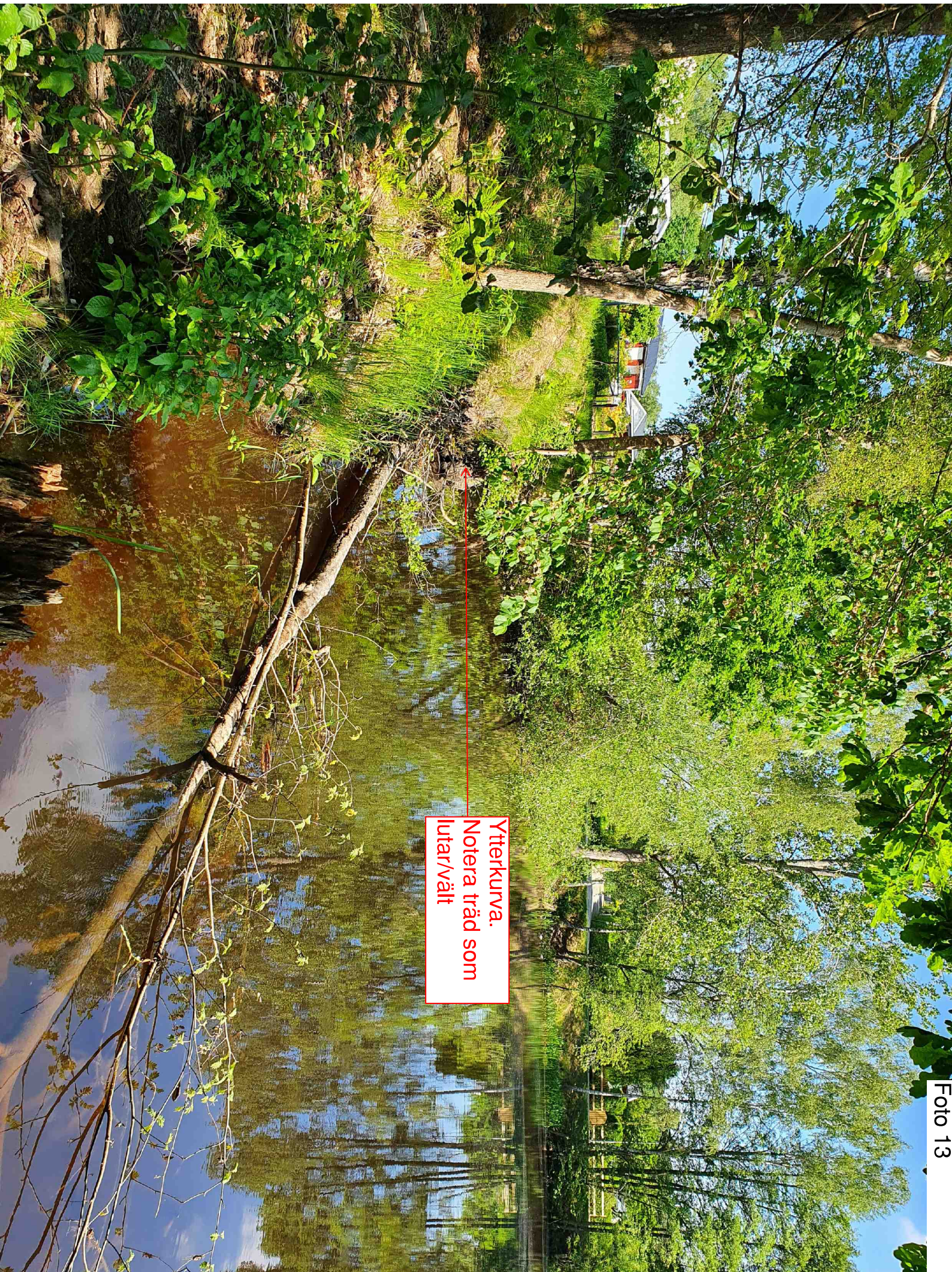


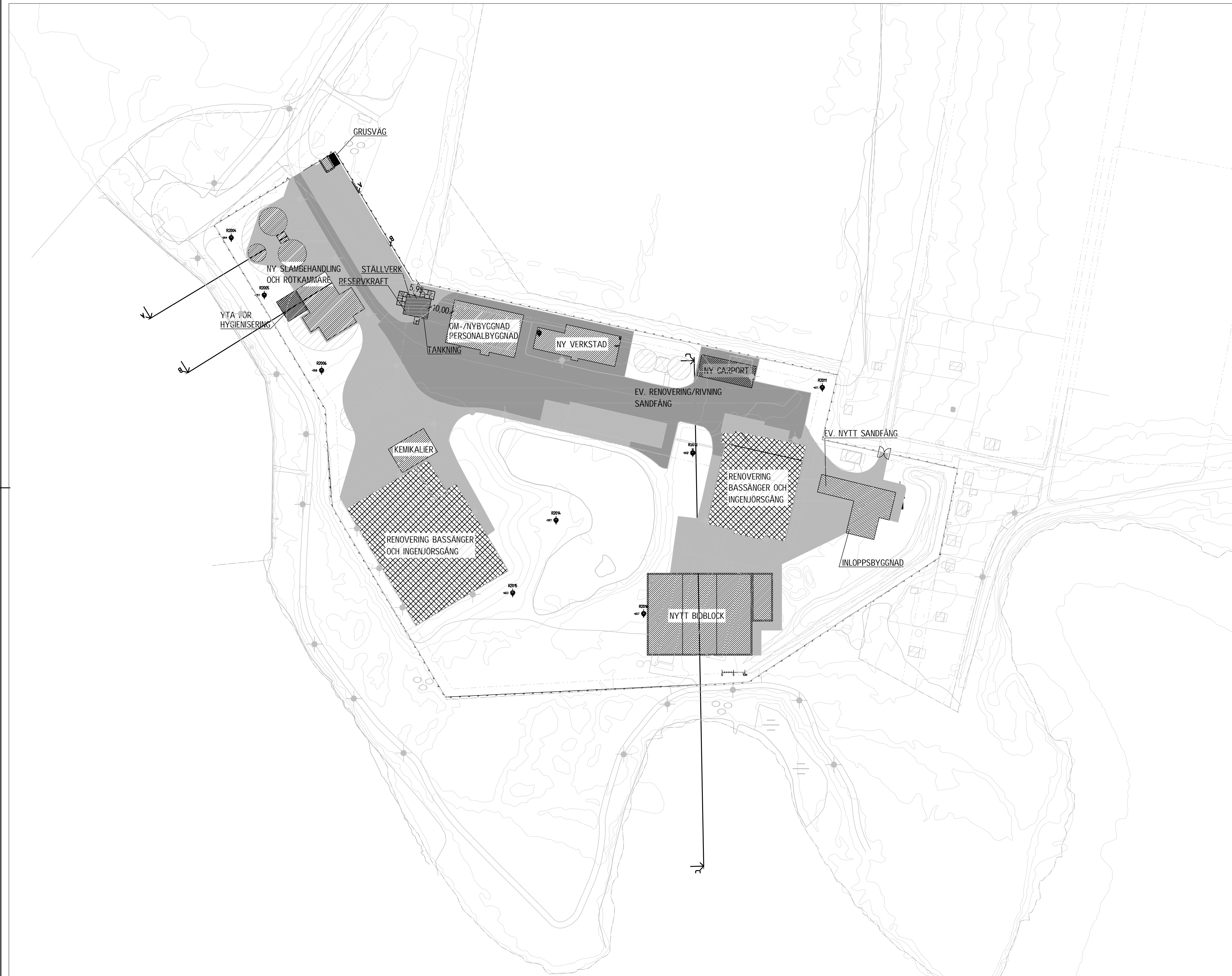


Foto 14

Kontrollerade sektioner

Kontrollerade sektioner

1



ANMÄRKNINGAR:
KOORDINATSYSTEM: SWEREF 99 12 00
HÖJDSYSTEM: RH 2000

BETECKNINGAR:

BETECKNINGSSYSTEM: SGF/BGS
HEMSIDA:
www.SGF.NET/BETSYSTEM
VERSION 2001:2

KONTROLLERADE SEKTIONER
AVSEENDE STABILITET

BET	ANT	ÄNDRINGEN AVSER	DATUM	SIGN
Ramboll Sweden AB Vädergatan 6 534 3 40-27 Göteborg Tel: +46 (0)10 615 60 00 www.ramboll.se				RAMBOLL
UPPDÄRAG NR 1320051919		RETAD/KONSTR AV D. ERIKSON		HANDELIGGARE D. ERIKSON
DATUM 2021-06-30		ANSVARIG T. KRISTENSSON		
NOLHAGA RENINGSVERK				
STABILITETSUTREDNING PLAN				
SKALA 1:600 (A1)	NUMMER BILAGA A	BET		

Stabilitetsberäkningar, utskrifter från Slope/W

Sektion A	1 - 12
Sektion A – reducerade materialparametrar	13 - 18
Sektion B	19 - 27
Sektion B – reducerade materialparametrar	28 - 34
Sektion C	35 - 44
Sektion C – reducerade materialparametrar	45 - 52



Sektion: A- Befintliga förhållanden

Beräkning: Odränerad

Beställare: PEAB Anläggning AB

Metod: Partialkoefficientmetoden

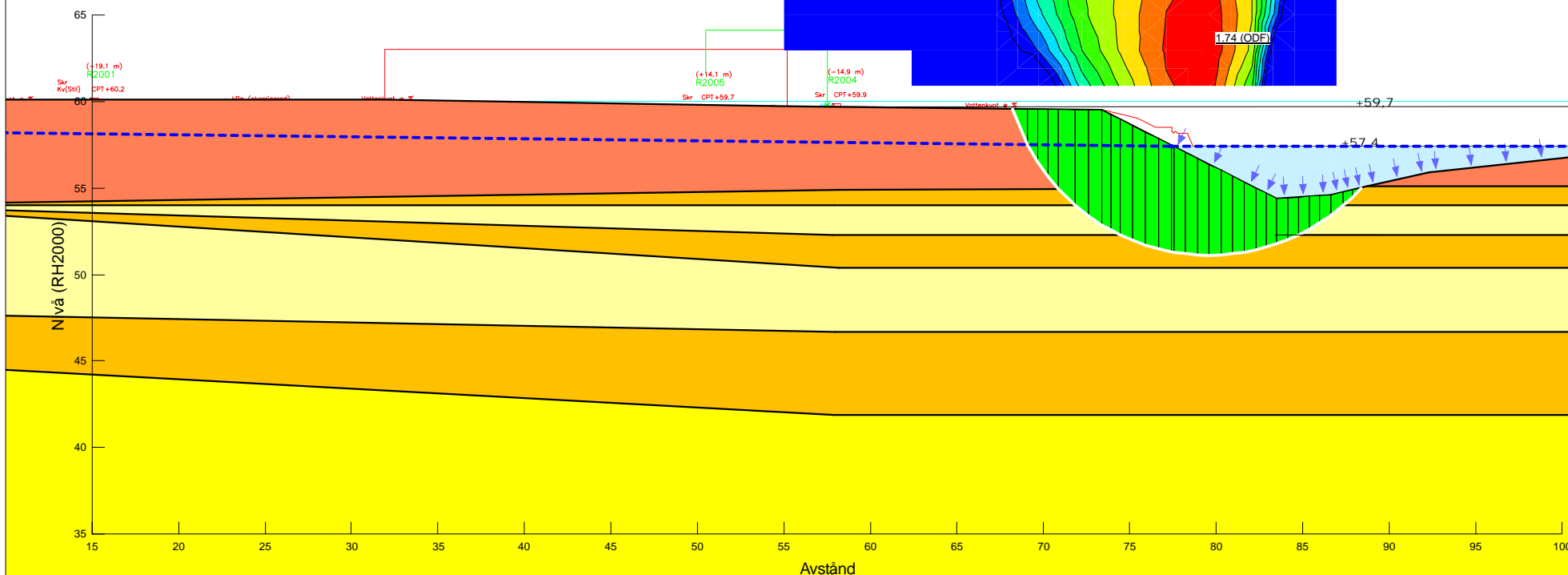
PWP Conditions from: Piezometric Line

Projektor: David Erikson

Geostudio vers: 10.2.1.19666

Datum: 2021-06-23

Color	Name	Model	Unit Weight (kN/m ³)	C-Datum (kPa)	C-Rate of Change (kN/m ² /m)	C-Maximum (kPa)	Datum (Elevation) (m)	Cohesion (kPa)	ϕ_f (°)	ϕ_i-B (°)	Piezometric Line
Yellow	Lera (1)	Mohr-Coulomb	18				33	0	0	1	
Yellow	Lera (2) S=f(datum)	Mohr-Coulomb	18	33	2	66.5	40			1	
Red	Sand	Mohr-Coulomb	18				0	31	0	1	
Yellow	Silt	Mohr-Coulomb	17				0	28	0	1	



Skala: 1:350 (A4)

Sektion: A- Befintliga förhållanden

Beräkning: Kombinerad

Beställare: PEAB Anläggning AB

Metod: Partialkoefficientmetoden

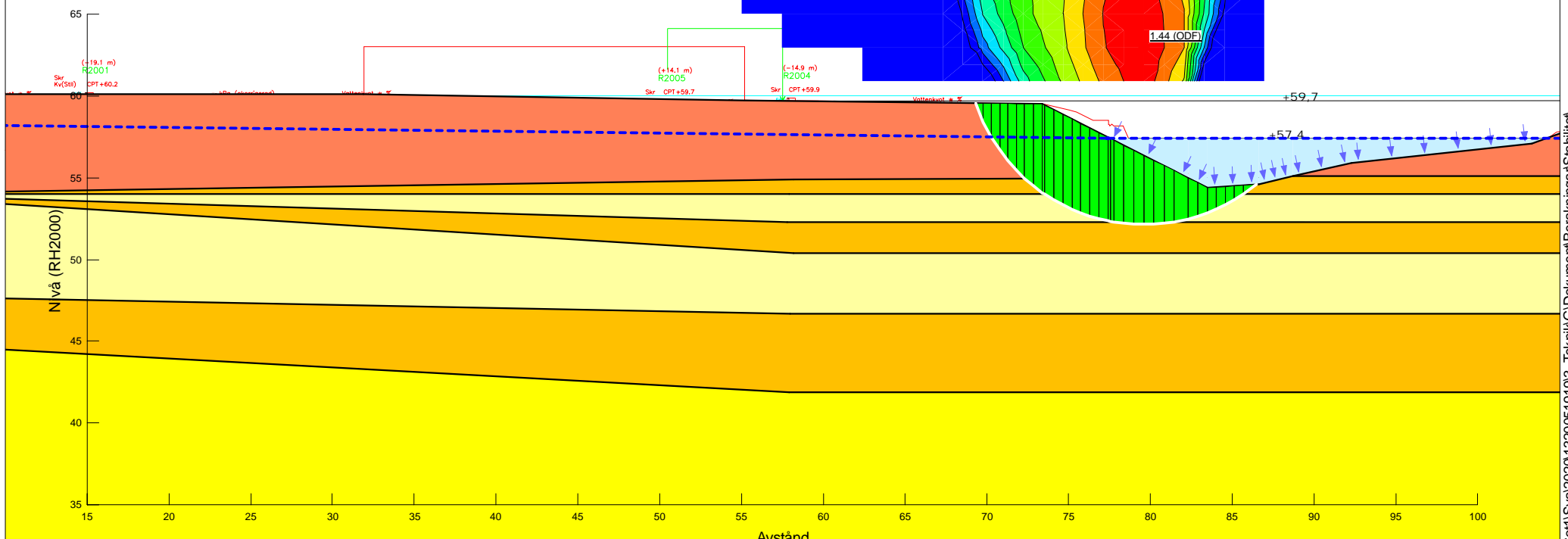
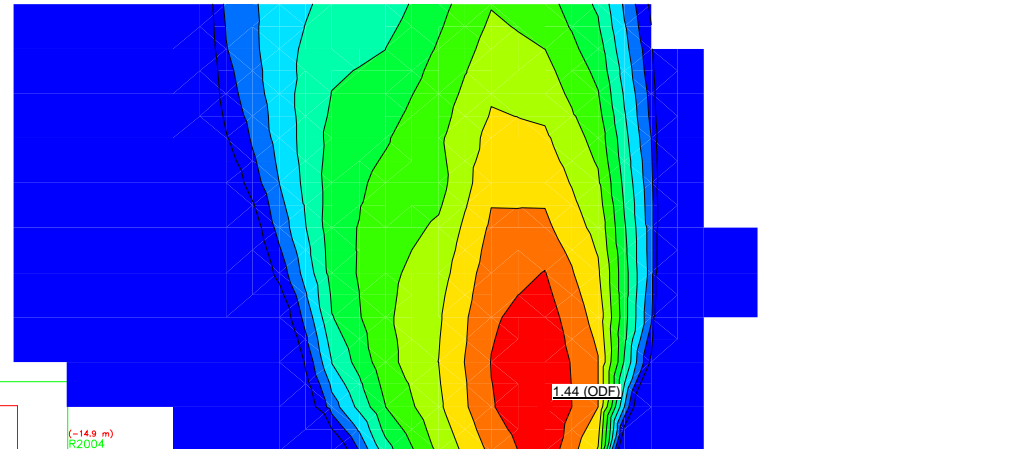
PWP Conditions from: Piezometric Line

Projektör: David Erikson

Geostudio vers: 10.2.1.19666

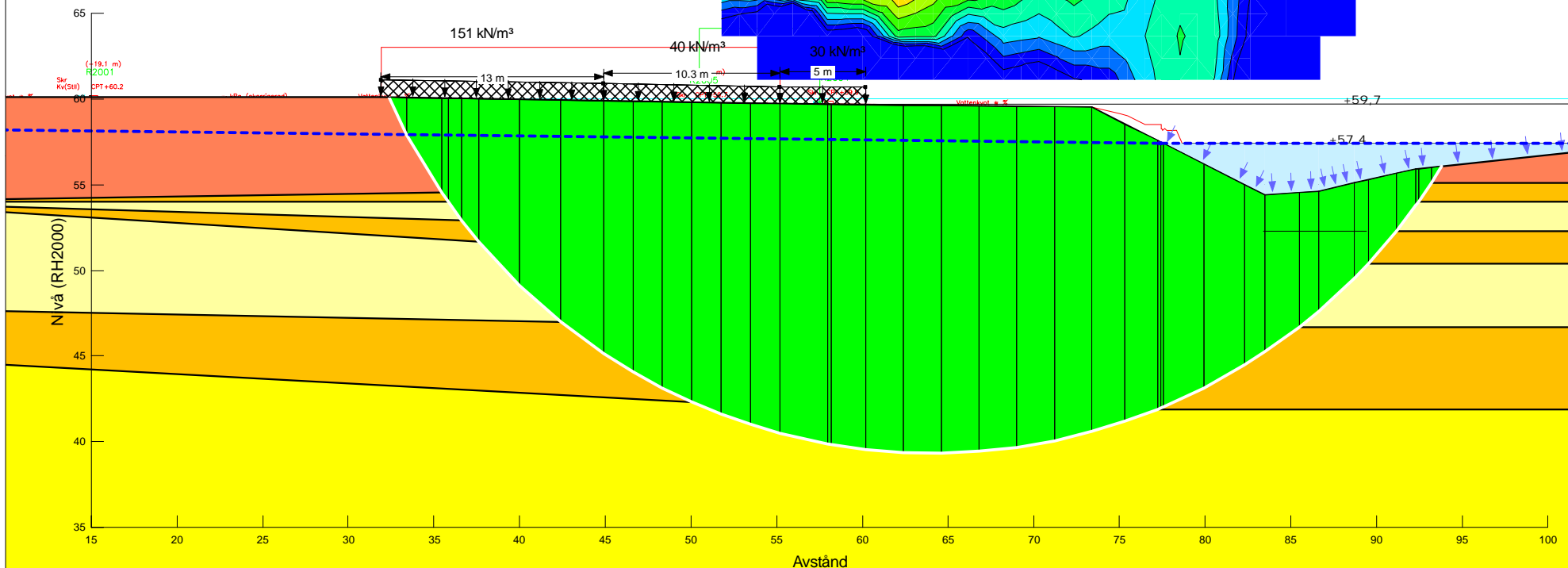
Datum: 2021-06-23

Color	Name	Model	Unit Weight (kN/m ³)	Cohesion' (kPa)	Phi' (°)	Phi-B (°)	C-Datum (kPa)	C-Top of Layer (kPa)	C-Rate of Change (kN/m ²)/m	Cu-Datum (kPa)	Cu-Top of Layer (kPa)	Cu-Rate of Change (kN/m ²)/m	C/Cu Ratio	Datum (Elevation) (m)	Piezometric Line
	Lera (1) komb	Combined, S=f(depth)	18		30			3.3	0		33	0	0.1		1
	Lera (2) komb	Combined, S=f(datum)	18		30		3.3		0.2	33		2	0.1	40	1
	Sand	Mohr-Coulomb	18	0	31	0									1
	Silt	Mohr-Coulomb	17	0	28	0									1



Sektion: A - Rötkammare (ej pålad)+ gasklocka + höjning mark
 Beräkning: Odränerad (2)
 Beställare: PEAB Anläggning AB
 Metod: Partialkoefficientmetoden
 PWP Conditions from: Piezometric Line
 Projektör: David Erikson
 Geostudio vers: 10.2.1.19666
 Datum: 2021-06-23

Color	Name	Model	Unit Weight (kN/m^3)	C-Datum (kPa)	C-Rate of Change ($(\text{kN/m}^2)/\text{m}$)	C-Maximum (kPa)	Datum (Elevation) (m)	Cohesion (kPa)	ϕ_n ($^\circ$)	ϕ_i -B ($^\circ$)	Piezometric Line
Yellow	Lera (1)	Mohr-Coulomb	18				33	0	0	1	
Yellow	Lera (2) $S=f(\text{datum})$	18	33	2	66.5	40				1	
Red	Sand	Mohr-Coulomb	18				0	31	0	1	
Yellow	Silt	Mohr-Coulomb	17				0	28	0	1	



Skala: 1:350 (A4)

Sektion: A - Rötkammare (ej pålad)+ gasklocka + höjning mark

Beräkning: Kombinerad (2)

Beställare: PEAB Anläggning AB

Metod: Partialkoefficientmetoden

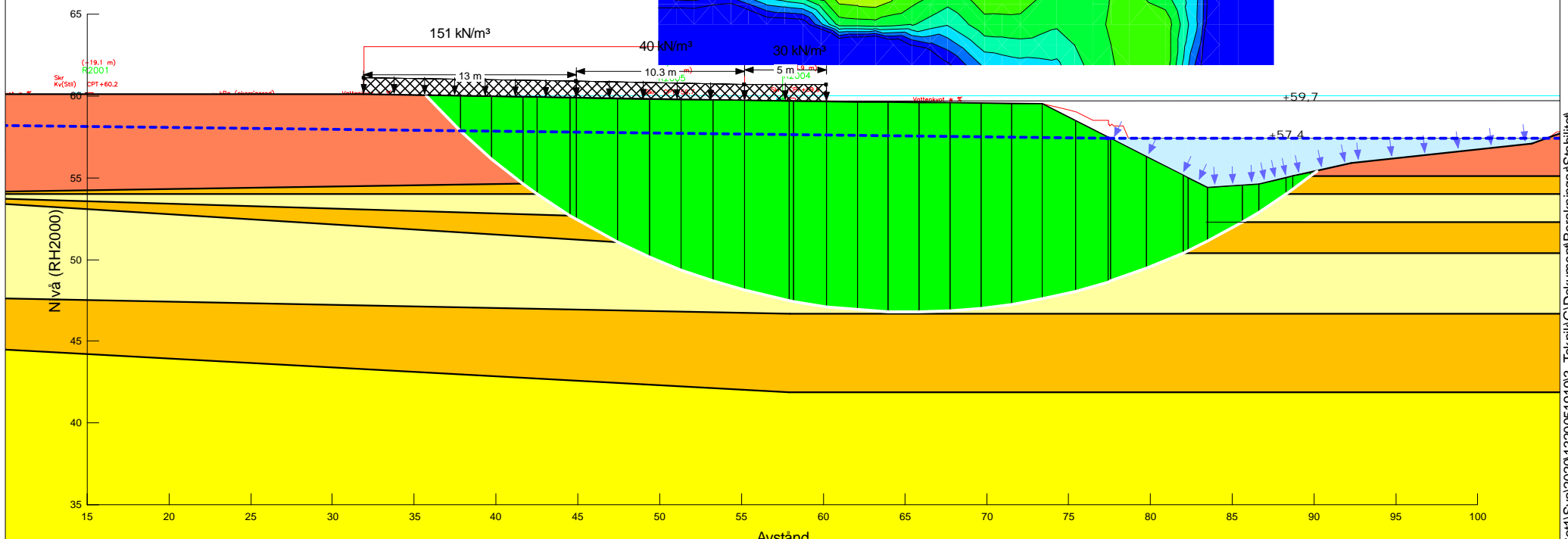
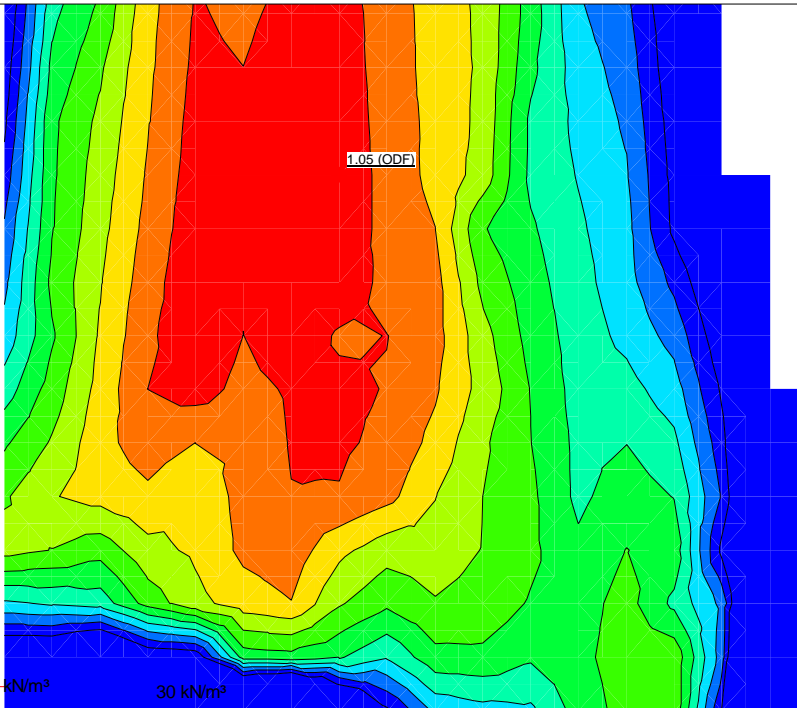
PWP Conditions from: Piezometric Line

Projektör: David Erikson

Geostudio vers: 10.2.1.19666

Datum: 2021-06-23

Color	Name	Model	Unit Weight (kN/m³)	Cohesion' (kPa)	Φ' (°)	Φ_i-B	C-Datum (kPa)	C-Top of Layer (kPa)	C-Rate of Change ($\text{kN/m}^2/\text{m}$)	Cu-Datum (kPa)	Cu-Top of Layer (kPa)	Cu-Rate of Change ($\text{kN/m}^2/\text{m}$)	C/Cu Ratio	Datum (Elevation) (m)	Piezometric Line
[Yellow]	Lera (1) komb	Combined, $S=f(\text{depth})$	18		30			3.3	0		33	0	0.1		1
[Yellow]	Lera (2) komb	Combined, $S=f(\text{datum})$	18		30		3.3		0.2	33		2	0.1	40	1
[Red]	Sand	Mohr-Coulomb	18	0	31	0									1
[Yellow]	Silt	Mohr-Coulomb	17	0	28	0									1



Skala: 1:350 (A4)

Sektion: A - Rötkammare (pålad)+ gasklocka + höjning mark (2)

Beräkning: Odränerad (3)

Beställare: PEAB Anläggning AB

Metod: Partialkoefficientmetoden

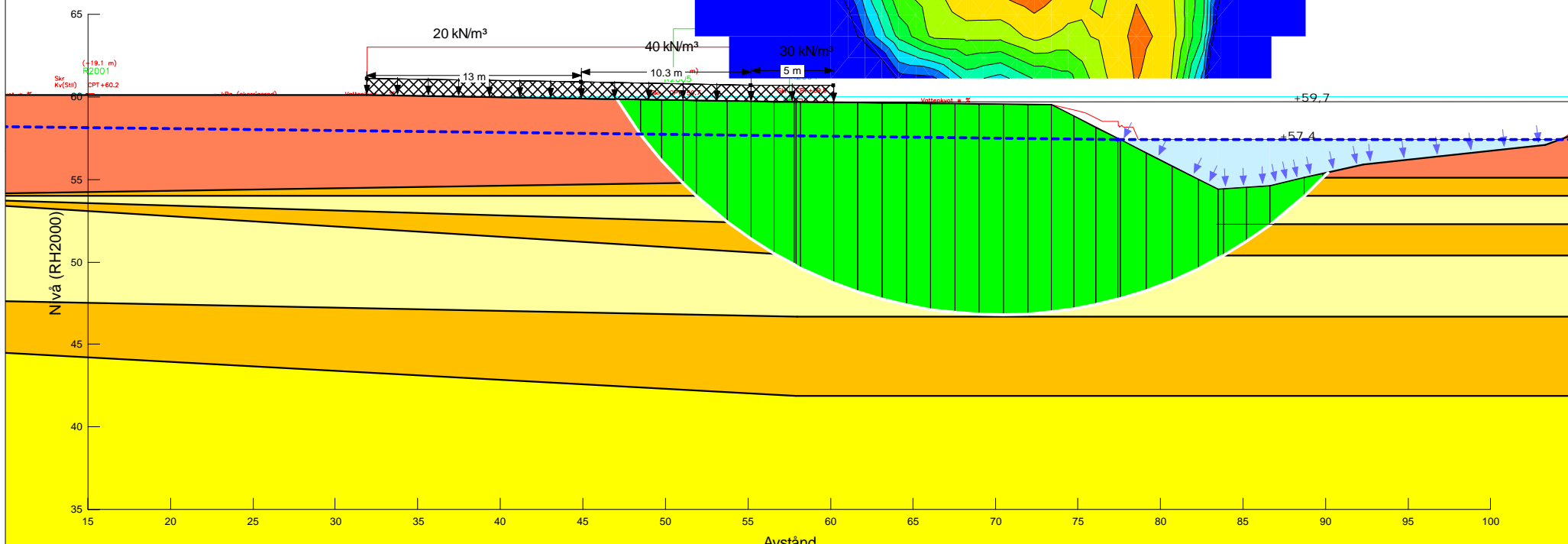
PWP Conditions from: Piezometric Line

Projektör: David Erikson

Geostudio vers: 10.2.1.19666

Datum: 2021-06-23

Color	Name	Model	Unit Weight (kN/m^3)	C-Datum (kPa)	C-Rate of Change ($(kN/m^2)/m$)	C-Maximum (kPa)	Datum (Elevation) (m)	Cohesion' (kPa)	ϕ_n^* ($^{\circ}$)	ϕ_i-B ($^{\circ}$)	Piezometric Line
Yellow	Lera (1)	Mohr-Coulomb	18				33	0	0	1	
Yellow	Lera (2) S=f(datum)	Mohr-Coulomb	18	33	2	66.5	40			1	
Red	Sand	Mohr-Coulomb	18				0	31	0	1	
Yellow	Silt	Mohr-Coulomb	17				0	28	0	1	



Skala: 1:350 (A4)

Sektion: A - Rötkammare (pålad)+ gasklocka + höjning mark (2)

Beräkning: Kombinerad (3)

Beställare: PEAB Anläggning AB

Metod: Partialkoefficientmetoden

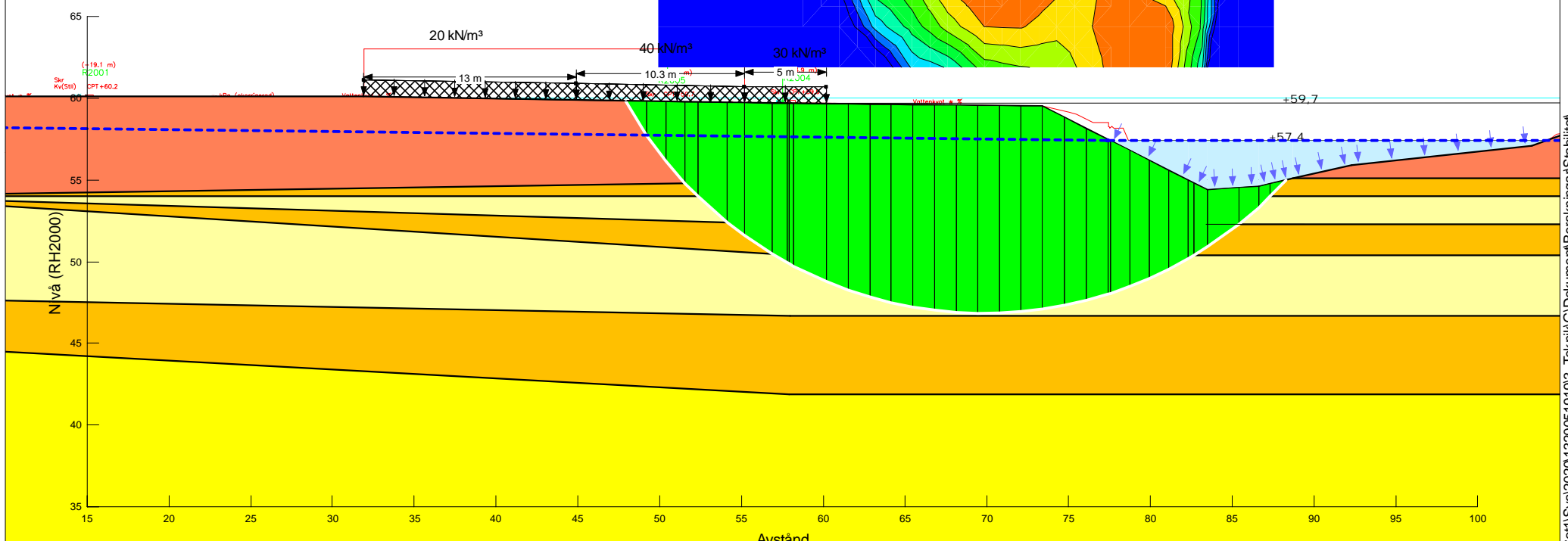
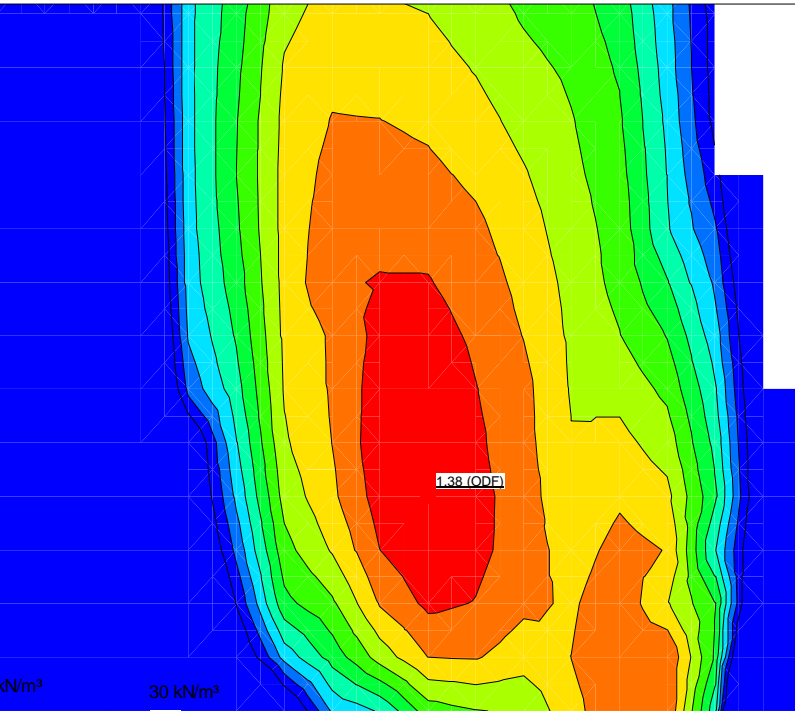
PWP Conditions from: Piezometric Line

Projektör: David Erikson

Geostudio vers: 10.2.1.19666

Datum: 2021-06-23

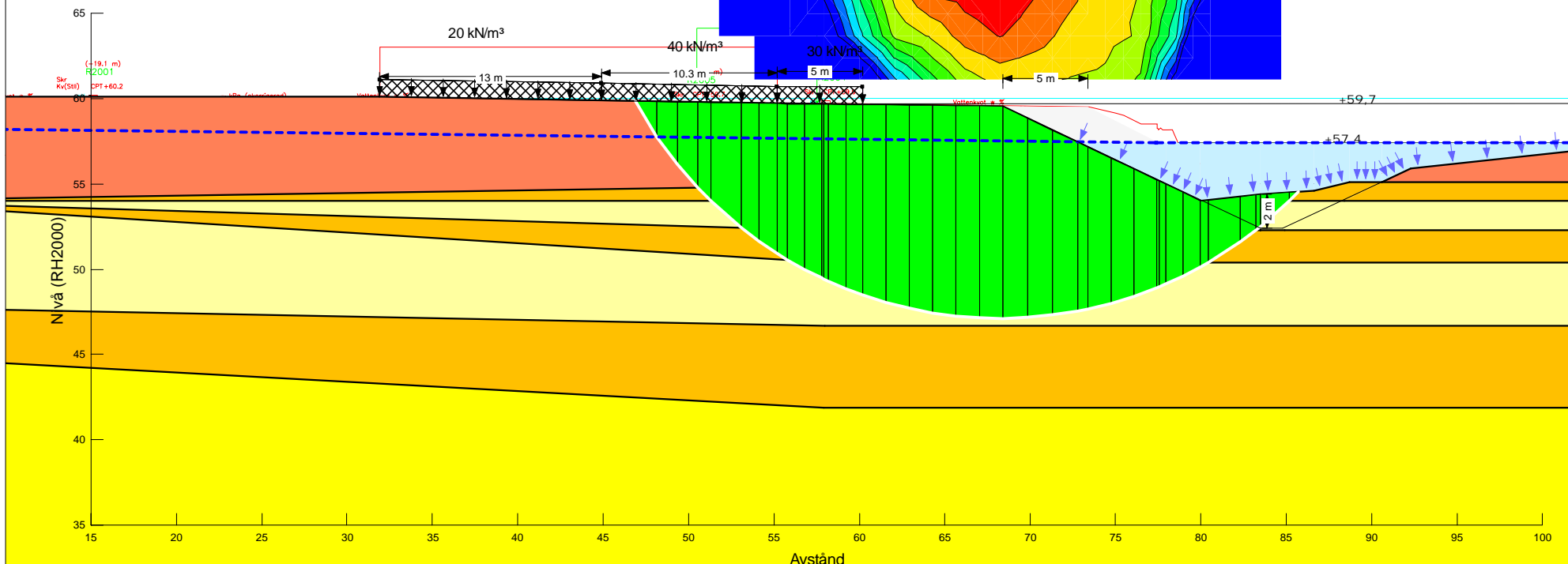
Color	Name	Model	Unit Weight (kN/m³)	Cohesion' (kPa)	Φ' (°)	Φ_i -B (°)	C-Datum (kPa)	C-Top of Layer (kPa)	C-Rate of Change ($(\text{kN/m}^2)/\text{m}$)	Cu-Datum (kPa)	Cu-Top of Layer (kPa)	Cu-Rate of Change ($(\text{kN/m}^2)/\text{m}$)	C/Cu Ratio	Datum (Elevation) (m)	Piezometric Line
[Yellow]	Lera (1) komb	Combined, $S=f(\text{depth})$	18		30			3.3	0		33	0	0.1		1
[Yellow]	Lera (2) komb	Combined, $S=f(\text{datum})$	18		30		3.3		0.2	33		2	0.1	40	1
[Red]	Sand	Mohr-Coulomb	18	0	31	0									1
[Yellow]	Silt	Mohr-Coulomb	17	0	28	0									1



Skala: 1:350 (A4)

Sektion: A - Rötkammare (pålad)+ gasklocka + höjning mark + erosion
 Beräkning: Odränerad (5)
 Beställare: PEAB Anläggning AB
 Metod: Partialkoefficientmetoden
 PWP Conditions from: Piezometric Line
 Projektör: David Erikson
 Geostudio vers: 10.2.1.19666
 Datum: 2021-06-23

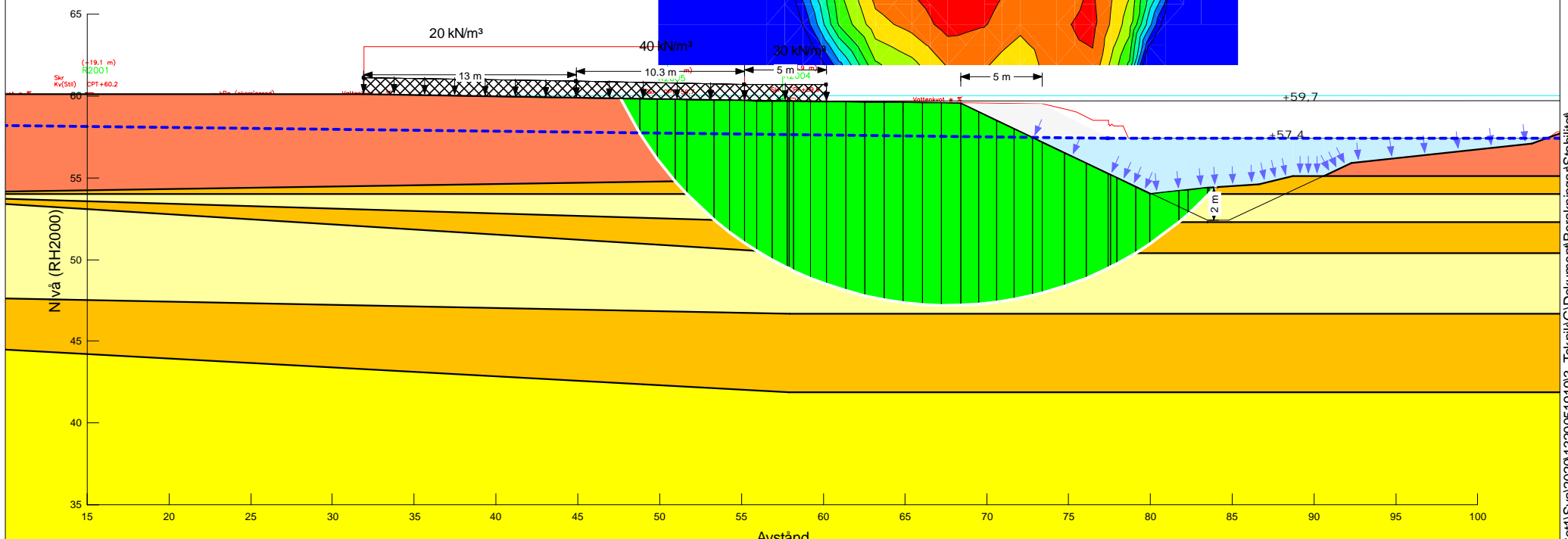
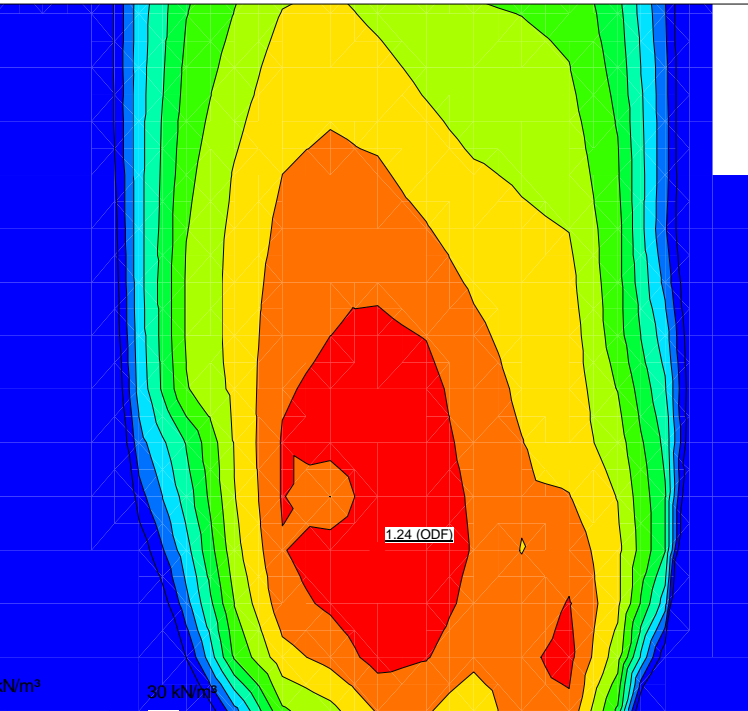
Color	Name	Model	Unit Weight (kN/m^3)	C-Datum (kPa)	C-Rate of Change ($(kN/m^2)/m$)	C-Maximum (kPa)	Datum (Elevation) (m)	Cohesion' (kPa)	ϕ_n^* ($^{\circ}$)	ϕ_i-B ($^{\circ}$)	Piezometric Line
Light Yellow	Lera (1)	Mohr-Coulomb	18				33	0	0	1	
Yellow	Lera (2) $S=f(\text{datum})$	18	33	2	66.5	40				1	
Red	Sand	Mohr-Coulomb	18				0	31	0	1	
Orange	Silt	Mohr-Coulomb	17				0	28	0	1	



Skala: 1:350 (A4)

Sektion: A - Rötkammare (pålad)+ gasklocka + höjning mark + erosion
 Beräkning: Kombinerad (5)
 Beställare: PEAB Anläggning AB
 Metod: Partialkoefficientmetoden
 PWP Conditions from: Piezometric Line
 Projektör: David Erikson
 Geostudio vers: 10.2.1.19666
 Datum: 2021-06-23

Color	Name	Model	Unit Weight (kN/m³)	Cohesion' (kPa)	Φ' (°)	Φ_i -B (°)	C-Datum (kPa)	C-Top of Layer (kPa)	C-Rate of Change ($(\text{kN/m}^2)/\text{m}$)	Cu-Datum (kPa)	Cu-Top of Layer (kPa)	Cu-Rate of Change ($(\text{kN/m}^2)/\text{m}$)	C/Cu Ratio	Datum (Elevation) (m)	Piezometric Line
[Light Yellow]	Lera (1) komb	Combined, $S=f(\text{depth})$	18		30			3.3	0		33	0	0.1		1
[Yellow]	Lera (2) komb	Combined, $S=f(\text{datum})$	18		30		3.3		0.2	33		2	0.1	40	1
[Red]	Sand	Mohr-Coulomb	18	0	31	0									1
[Orange]	Silt	Mohr-Coulomb	17	0	28	0									1



Skala: 1:350 (A4)



Sektion: A - Rötkammare (ej pålad)+ gasklocka + höjning mark + erosion (2)

Beräkning: Odränerad (6)

Beställare: PEAB Anläggning AB

Metod: Partialkoefficientmetoden

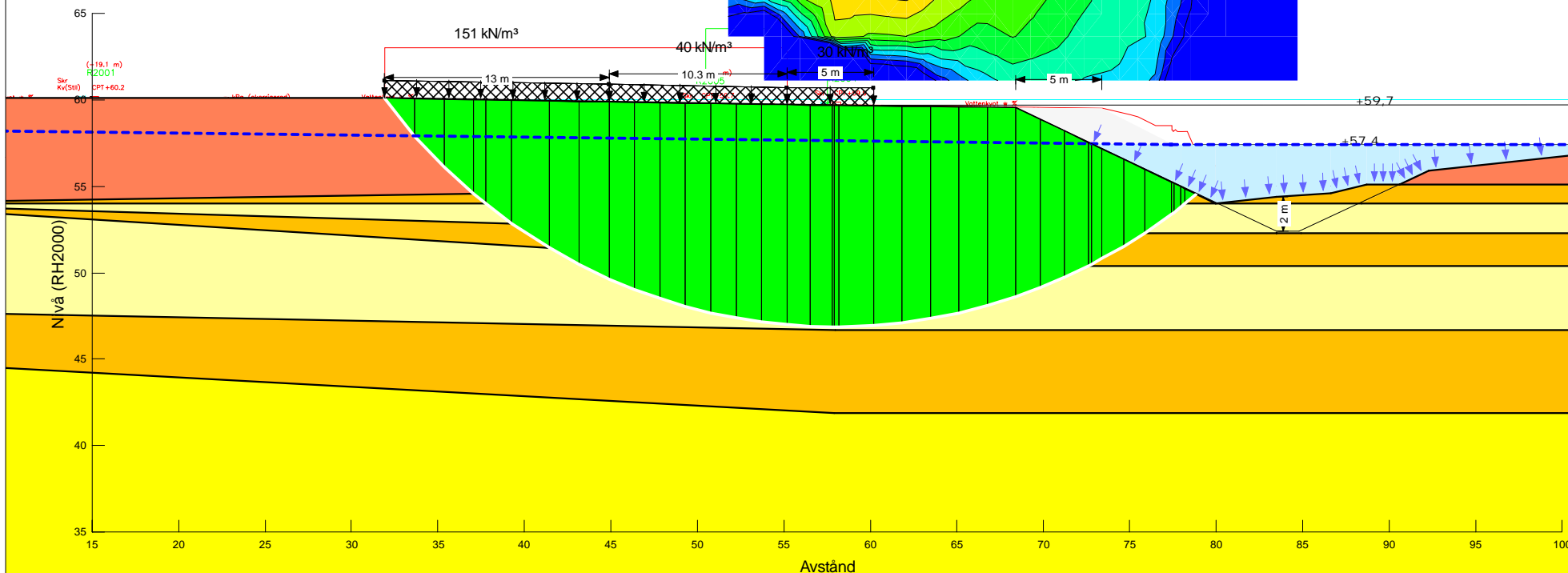
PWP Conditions from: Piezometric Line

Projektor: David Erikson

Geostudio vers: 10.2.1.19666

Datum: 2021-06-23

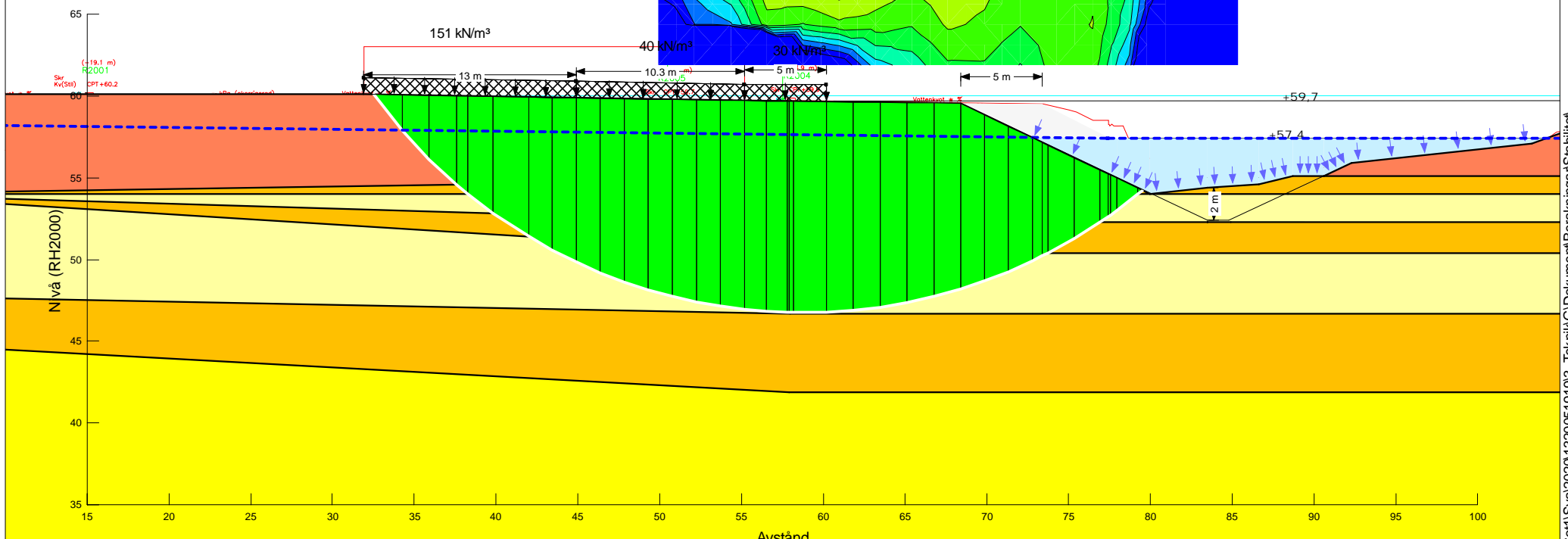
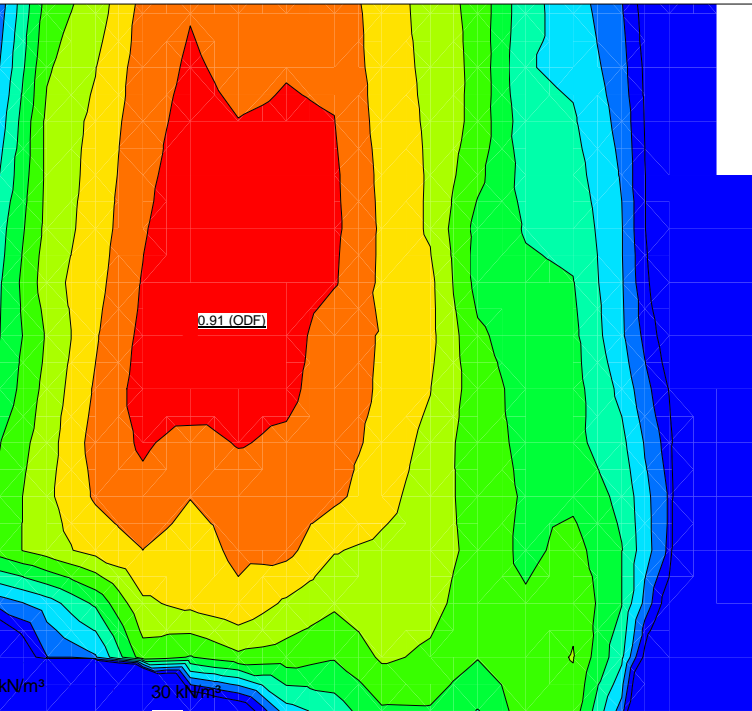
Color	Name	Model	Unit Weight (kN/m^3)	C-Datum (kPa)	C-Rate of Change ($(\text{kN/m}^2)/\text{m}$)	C-Maximum (kPa)	Datum (Elevation) (m)	Cohesion (kPa)	ϕ_n ($^\circ$)	ϕ_i-B ($^\circ$)	Piezometric Line
Yellow	Lera (1)	Mohr-Coulomb	18				33	0	0	1	
Yellow	Lera (2) S=f(datum)	Mohr-Coulomb	18	33	2	66.5	40			1	
Red	Sand	Mohr-Coulomb	18				0	31	0	1	
Yellow	Silt	Mohr-Coulomb	17				0	28	0	1	



Skala: 1:350 (A4)

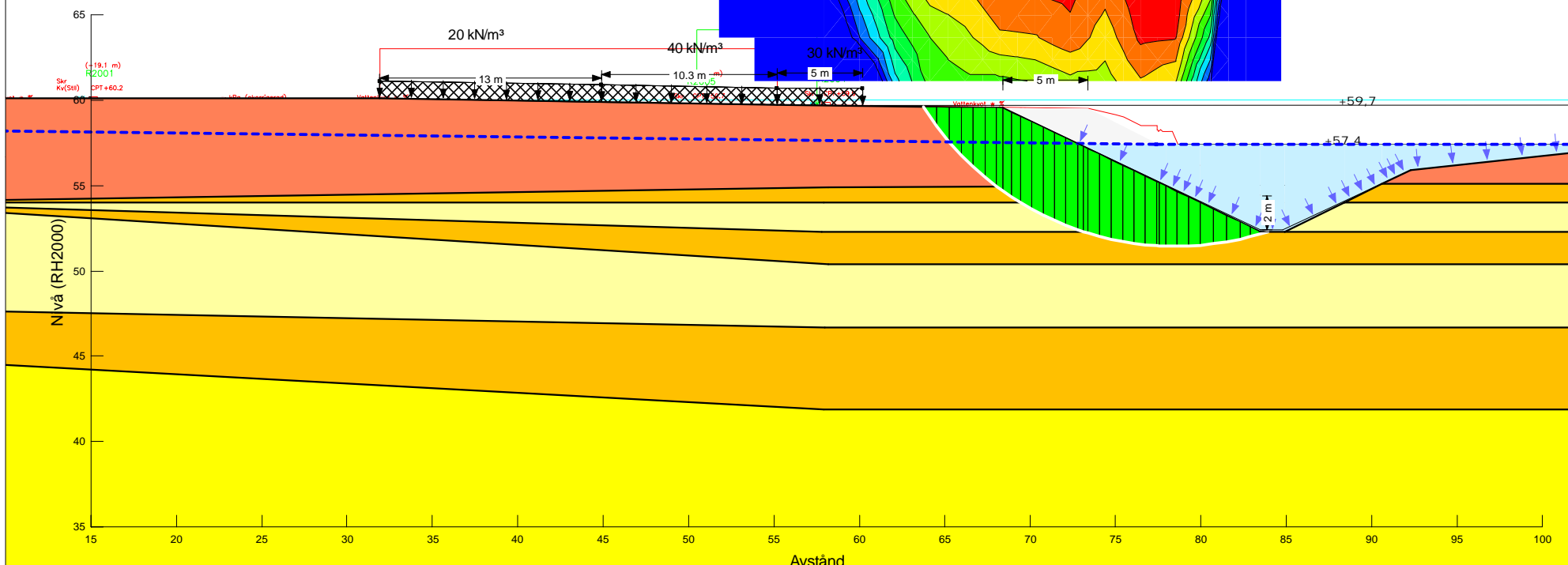
Sektion: A - Rötkammare (ej pålad)+ gasklocka + höjning mark + erosion (2)
 Beräkning: Kombinerad (6)
 Beställare: PEAB Anläggning AB
 Metod: Partialkoefficientmetoden
 PWP Conditions from: Piezometric Line
 Projektör: David Erikson
 Geostudio vers: 10.2.1.19666
 Datum: 2021-06-23

Color	Name	Model	Unit Weight (kN/m ³)	Cohesion' (kPa)	Phi' (°)	Phi-B (°)	C-Datum (kPa)	C-Top of Layer (kPa)	C-Rate of Change (kN/m ² /m)	Cu-Datum (kPa)	Cu-Top of Layer (kPa)	Cu-Rate of Change (kN/m ² /m)	C/Cu Ratio	Datum (Elevation) (m)	Piezometric Line
	Lera (1) komb	Combined, S=f(depth)	18		30			3.3	0		33	0	0.1		1
	Lera (2) komb	Combined, S=f(datum)	18		30		3.3		0.2	33		2	0.1	40	1
	Sand	Mohr-Coulomb	18	0	31	0									1
	Silt	Mohr-Coulomb	17	0	28	0									1



Sektion: A - Rötkammare (pålad)+ gasklocka + höjning mark + erosion + djup
 Beräkning: Odränerad (4)
 Beställare: PEAB Anläggning AB
 Metod: Partialkoefficientmetoden
 PWP Conditions from: Piezometric Line
 Projektör: David Erikson
 Geostudio vers: 10.2.1.19666
 Datum: 2021-06-23

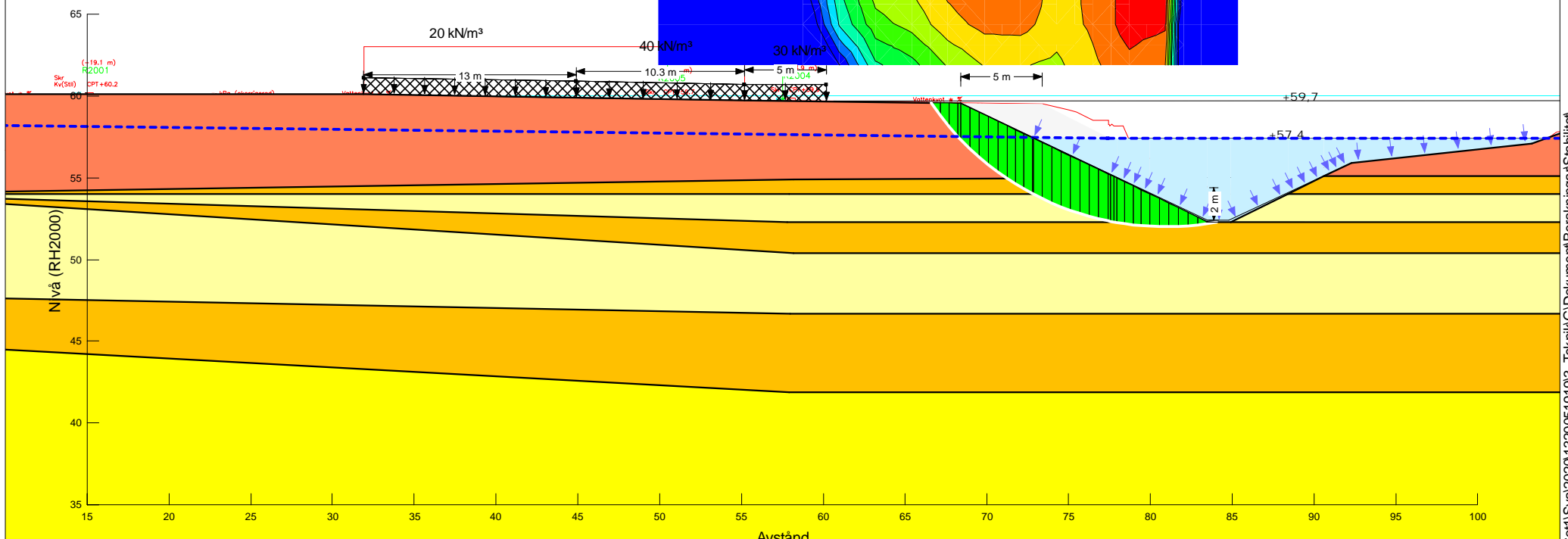
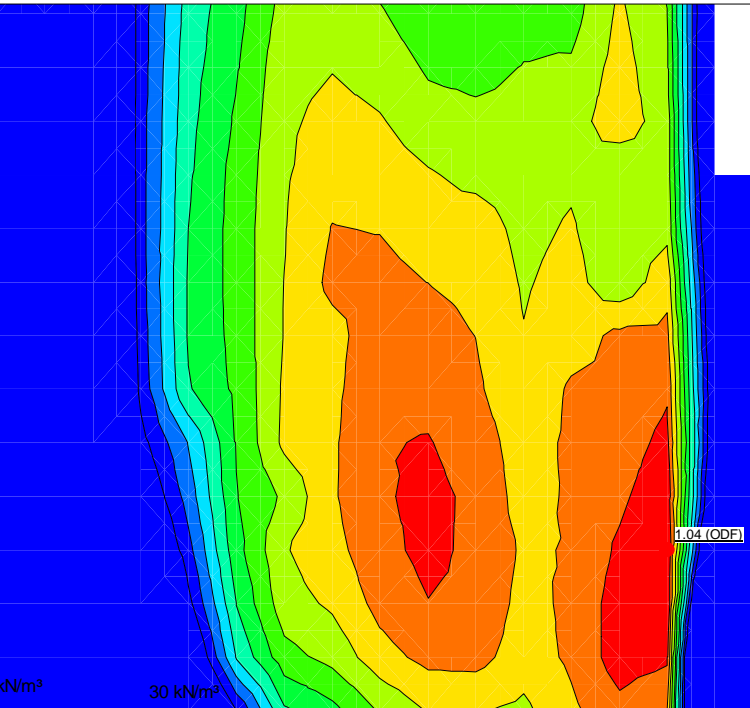
Color	Name	Model	Unit Weight (kN/m^3)	C-Datum (kPa)	C-Rate of Change ($(kN/m^2)/m$)	C-Maximum (kPa)	Datum (Elevation) (m)	Cohesion' (kPa)	ϕ_n^* ($^{\circ}$)	ϕ_i-B ($^{\circ}$)	Piezometric Line
Yellow	Lera (1)	Mohr-Coulomb	18				33	0	0	1	
Yellow	Lera (2) S=f(datum)	Mohr-Coulomb	18	33	2	66.5	40			1	
Red	Sand	Mohr-Coulomb	18				0	31	0	1	
Yellow	Silt	Mohr-Coulomb	17				0	28	0	1	



Skala: 1:350 (A4)

Sektion: A - Rötkammare (pålad)+ gasklocka + höjning mark + erosion + djup
 Beräkning: Kombinerad (4)
 Beställare: PEAB Anläggning AB
 Metod: Partialkoefficientmetoden
 PWP Conditions from: Piezometric Line
 Projektör: David Erikson
 Geostudio vers: 10.2.1.19666
 Datum: 2021-06-23

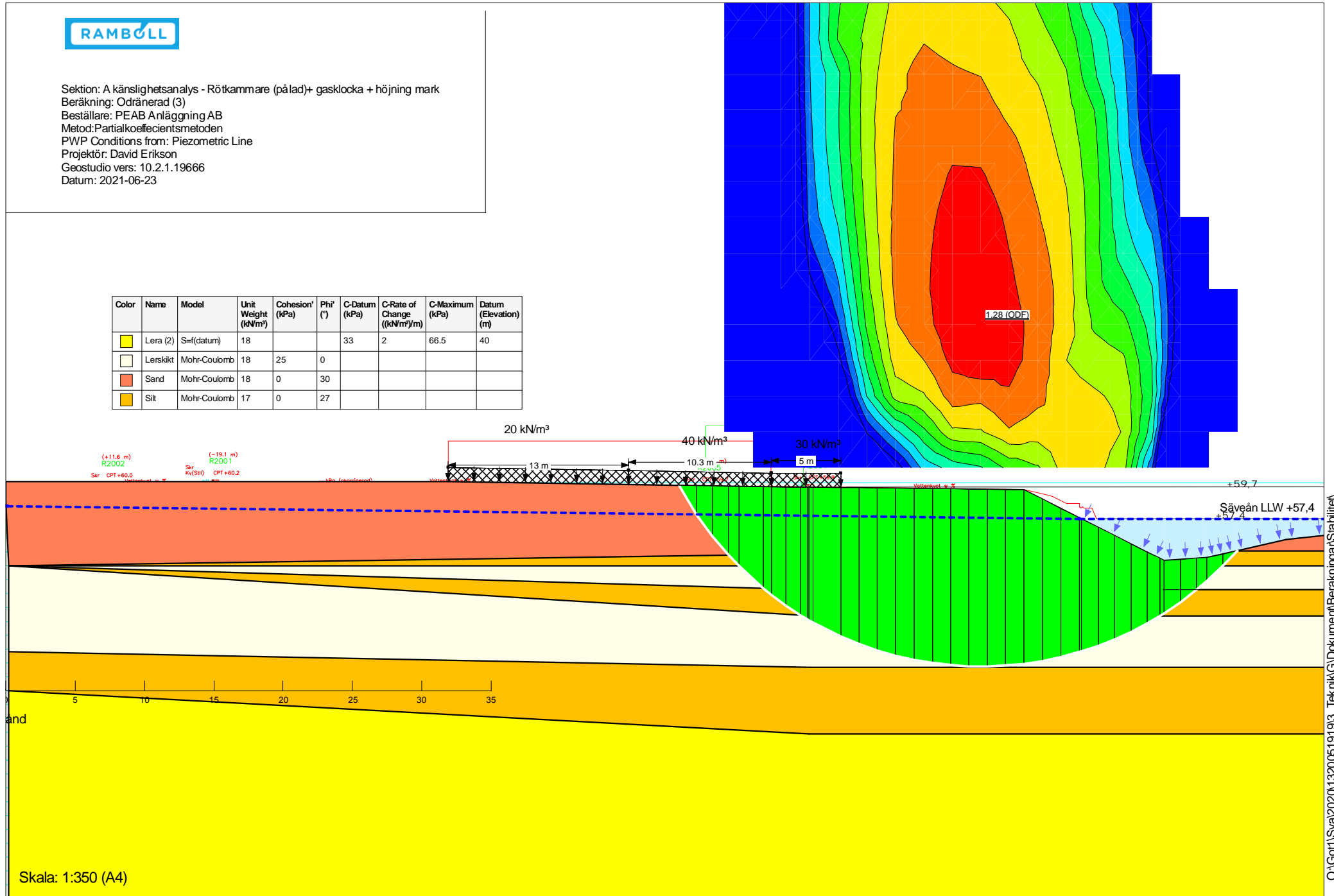
Color	Name	Model	Unit Weight (kN/m³)	Cohesion' (kPa)	Φ' (°)	Φ_i -B (kPa)	C-Datum (kPa)	C-Top of Layer (kPa)	C-Rate of Change ($(\text{kN/m}^2)/\text{m}$)	Cu-Datum (kPa)	Cu-Top of Layer (kPa)	Cu-Rate of Change ($(\text{kN/m}^2)/\text{m}$)	C/Cu Ratio	Datum (Elevation) (m)	Piezometric Line
[Yellow]	Lera (1) komb	Combined, $S=f(\text{depth})$	18		30			3.3	0		33	0	0.1		1
[Yellow]	Lera (2) komb	Combined, $S=f(\text{datum})$	18		30		3.3		0.2	33		2	0.1	40	1
[Red]	Sand	Mohr-Coulomb	18	0	31	0									1
[Orange]	Silt	Mohr-Coulomb	17	0	28	0									1



Skala: 1:350 (A4)

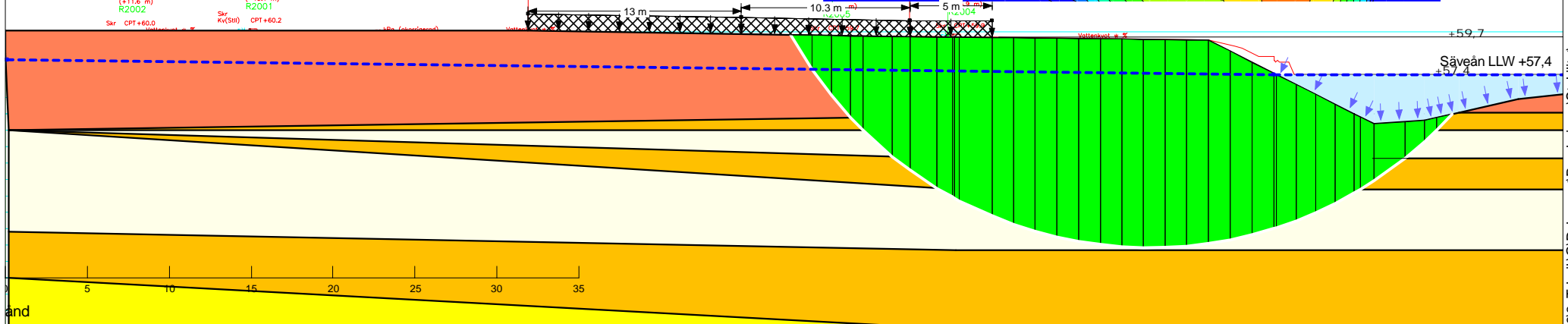
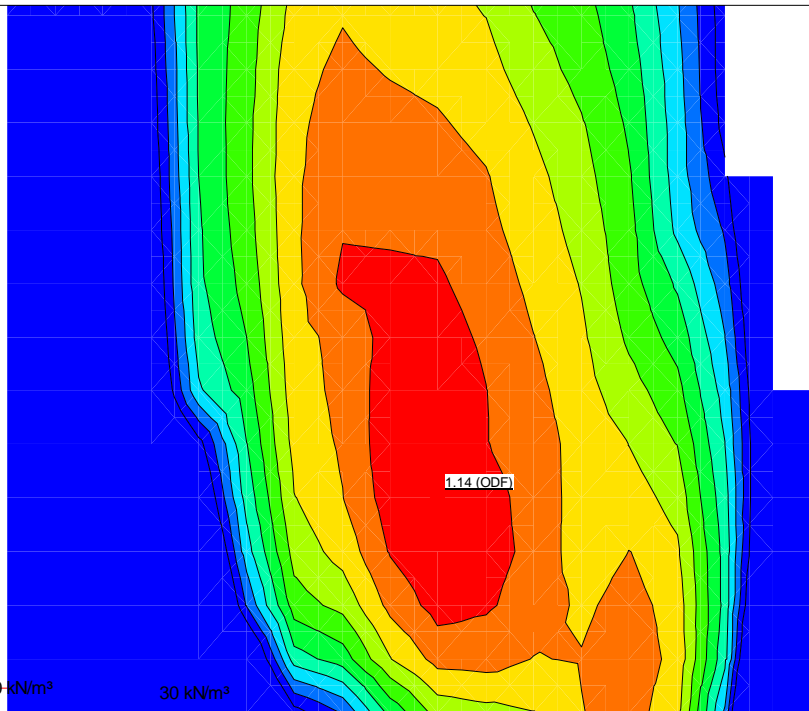
Sektion: A känslighetsanalys - Rötkammare (pålad)+ gasklocka + höjning mark
 Beräkning: Odrärnerad (3)
 Beställare: PEAB Anläggning AB
 Metod: Partialcoefficientsmetoden
 PWP Conditions from: Piezometric Line
 Projektör: David Erikson
 Geostudio vers: 10.2.1.19666
 Datum: 2021-06-23

Color	Name	Model	Unit Weight (kN/m^3)	Cohesion' (kPa)	Φ' ($^\circ$)	C-Datum (kPa)	C-Rate of Change ($\text{kN/m}^2/\text{m}$)	C-Maximum (kPa)	Datum (Elevation) (m)
Yellow	Lera (2)	$S=f(\text{datum})$	18			33	2	66.5	40
White	Lerskikt	Mohr-Coulomb	18	25	0				
Red	Sand	Mohr-Coulomb	18	0	30				
Orange	Silt	Mohr-Coulomb	17	0	27				



Sektion: A känslighetsanalys - Rötkammare (pålad)+ gasklocka + höjning mark
 Beräkning: Kombinerad (3)
 Beställare: PEAB Anläggning AB
 Metod: Partialcoefficientsmetoden
 PWP Conditions from: Piezometric Line
 Projektör: David Erikson
 Geostudio vers: 10.2.1.19666
 Datum: 2021-06-23

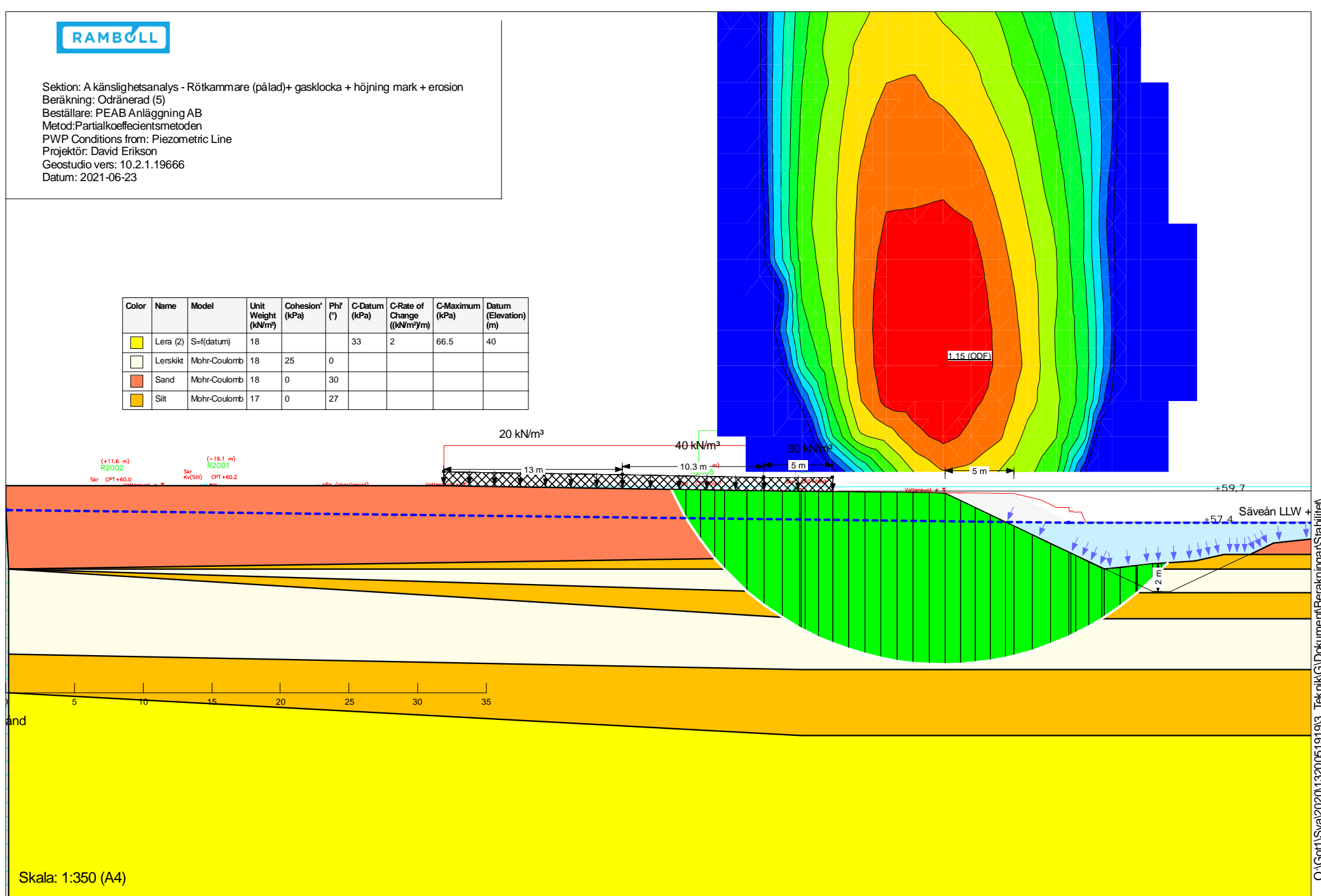
Color	Name	Model	Unit Weight (kN/m^3)	Cohesion' (kPa)	$\Phi'(\circ)$	C-Top of Layer (kPa)	C-Rate of Change ($(\text{kN/m}^3)/\text{m}$)	Cu-Top of Layer (kPa)	Cu-Datum (kPa)	Cu-Rate of Change ($(\text{kN/m}^3)/\text{m}$)	C/Cu Ratio	Datum (Elevation (m))
Yellow	Lera (2) komb	Combined, $S=f(\text{datum})$	18		30	3.3	0.2		33	2	0.1	40
White	Lerskikt komb	Combined, $S=f(\text{depth})$	18		30	2.5	0	25		0	0.1	
Red	Sand	Mohr-Coulomb	18	0	30							
Yellow	Silt	Mohr-Coulomb	17	0	27							

20 kN/m^3 

Skala: 1:350 (A4)

Sektion: A känslighetsanalys - Rötkammare (pålad)+ gasklocka + höjning mark + erosion
 Beräkning: Odränerad (5)
 Beställare: PEAB Anläggning AB
 Metod: Partialkoefficientsmetoden
 PWP Conditions from: Piezometric Line
 Projektör: David Erikson
 Geostudio vers: 10.2.1.19666
 Datum: 2021-06-23

Color	Name	Model	Unit Weight (kN/m³)	Cohesion' (kPa)	Phr' (°)	C-Datum	C-Rate of Change ((kN/m²)/m)	C-Maximum (kPa)	Datum (Elevation) (m)
[Yellow]	Lera (2)	S=f(datum)	18		33	2		66.5	40
[Light Green]	Lerskikt	Mohr-Coulomb	18	25	0				
[Orange]	Sand	Mohr-Coulomb	18	0	30				
[Yellow]	Silt	Mohr-Coulomb	17	0	27				

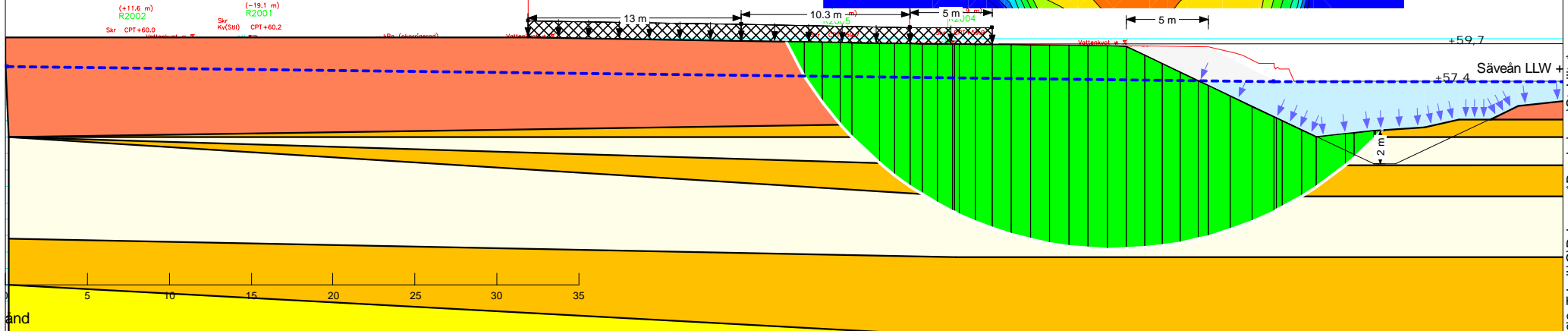


Sektion: A känslighetsanalys - Rötkammare (pålad)+ gasklocka + höjning mark + erosion
 Beräkning: Kombinerad (5)
 Beställare: PEAB Anläggning AB
 Metod: Partialkoefficientsmetoden
 PWPs Conditions from: Piezometric Line
 Projektör: David Erikson
 Geostudio vers: 10.2.1.19666
 Datum: 2021-06-23

Color	Name	Model	Unit Weight (kN/m^3)	Cohesion' (kPa)	ϕ'	C-Top of Layer (kPa)	C-Rate of Change ((kN/m^2)/m)	Cu-Top of Layer (kPa)	Cu-Datum (kPa)	Cu-Rate of Change ((kN/m^2)/m)	O/Cu Ratio	Datum (Elevation) (m)
[Yellow]	Lera (2) komb	Combined, $S=f(\text{datum})$	18		30	3.3	0.2	33	2	0.1	40	
[Light Green]	Lenskt komb	Combined, $S=f(\text{depth})$	18		30	2.5	0	25	0	0.1		
[Red]	Sand	Mohr-Coulomb	18	0	30							
[Orange]	Silt	Mohr-Coulomb	17	0	27							

20 kN/m^3 40 kN/m^3 30 kN/m^3

1.02 (ODF)

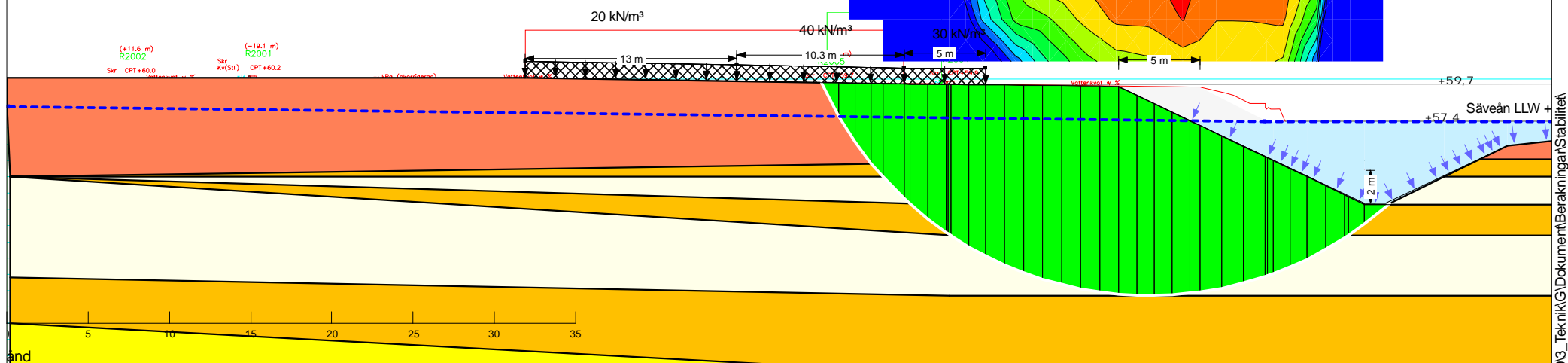


and

Skala: 1:350 (A4)

Sektion: A känslighetsanalys -Rötkammare (pålad)+ gasklocka + höjning mark + erosion + djup
 Beräkning: Odrärerad (4)
 Beställare: PEAB Anläggning AB
 Metod: Partialkoefficientsmetoden
 PWP Conditions from: Piezometric Line
 Projektör: David Erikson
 Geostudio vers: 10.2.1.19666
 Datum: 2021-06-23

Color	Name	Model	Unit Weight (kN/m^3)	Cohesion' (kPa)	Φ' (°)	C-Datum (kPa)	C-Rate of Change ($\text{((kN/m}^2)/\text{m})$)	C-Maximum (kPa)	Datum (Elevation) (m)
[Yellow]	Lera (2)	$S=f(\text{datum})$	18		33	2		66.5	40
[White]	Lerskikt	Mohr-Coulomb	18	25	0				
[Red]	Sand	Mohr-Coulomb	18	0	30				
[Orange]	Silt	Mohr-Coulomb	17	0	27				

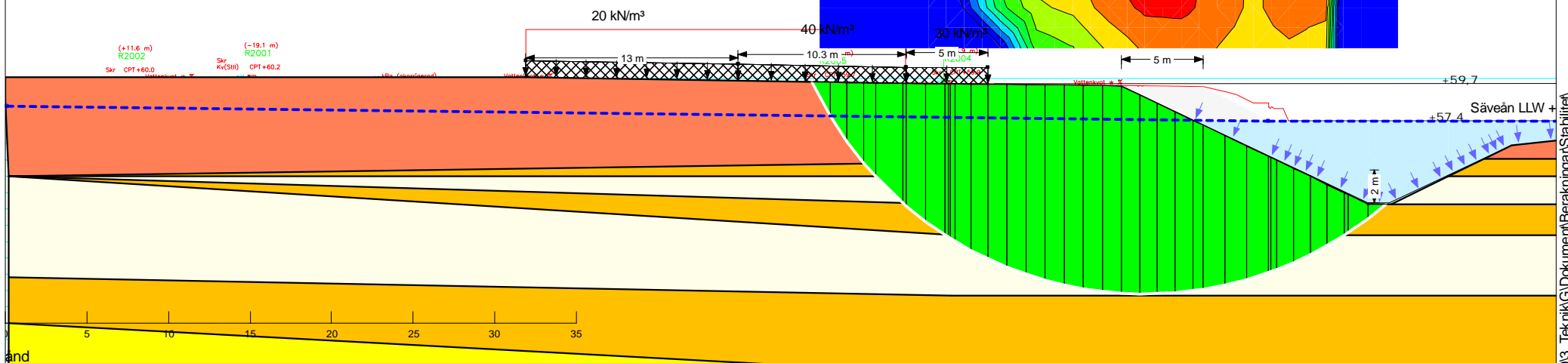
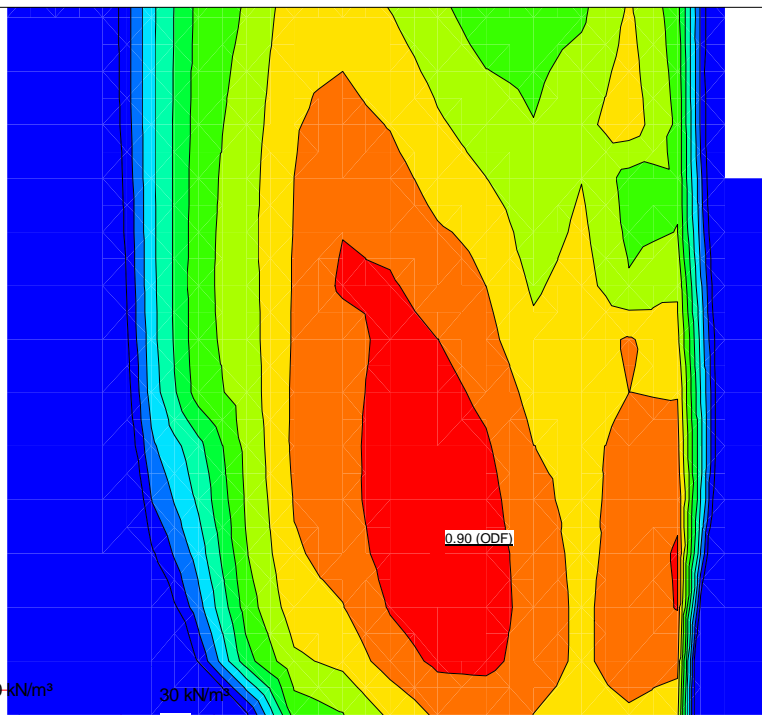


sand

Skala: 1:350 (A4)

Sektion: A känslighetsanalys -Rötkammare (pålad)+ gasklocka + höjning mark + erosion + djup
 Beräkning: Kombinerad (4)
 Beställare: PEAB Anläggning AB
 Metod: Partialkoefficientsmetoden
 PWP Conditions from: Piezometric Line
 Projektör: David Erikson
 Geostudio vers: 10.2.1.19666
 Datum: 2021-06-23

Color	Name	Model	Unit Weight (kN/m ³)	Cohesion' (kPa)	Φ' (°)	C-Top of Layer (kPa)	C-Rate of Change (kN/m ² /m)	Cu-Top (kPa)	Cu-Datum (kPa)	Cu-Rate of Change (kN/m ² /m)	C/Cu Ratio	Datum (Elevation) (m)
[Yellow]	Lera (2) komb	Combined, S=f(datum)	18		30	3.3	0.2		33	2	0.1	40
[White]	Lerskikt komb	Combined, S=f(depth)	18		30	2.5	0	25		0	0.1	
[Red]	Sand	Mohr-Coulomb	18	0	30							
[Yellow]	Slit	Mohr-Coulomb	17	0	27							



Skala: 1:350 (A4)

Sektion: B - Befintliga förhållanden

Beräkning: Odränerad

Beställare: PEAB Anläggning AB

Metod: Partialkoefficientmetoden

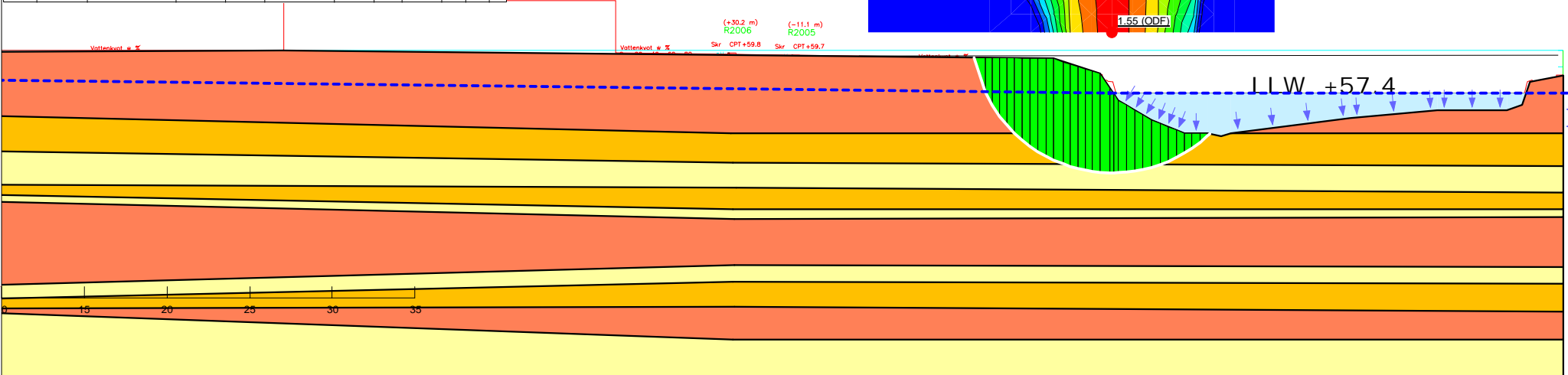
PWP Conditions from: Piezometric Line

Projektör: David Erikson

Geostudio Vers: 10.2.1.19666

Datum: 2021-06-23

			(kN/m³)	(kPa)	((kN/m²)/m)	(kPa)	(m)	(kPa)	(°)	(°)	
	Lera (1)	Mohr-Coulomb	18				33	0	0	1	
	Lera (2)	S=f(datum)	18	33	2	66.5	40			1	
	Sand	Mohr-Coulomb	18				0	31	0	1	
	Silt	Mohr-Coulomb	17				0	28	0	1	



Skala: 1:350 (A4)

Sektion: B - Befintliga förhållanden

Beräkning: Kombinerad

Beställare: PEAB Anläggning AB

Metod: Partialkoefficientmetoden

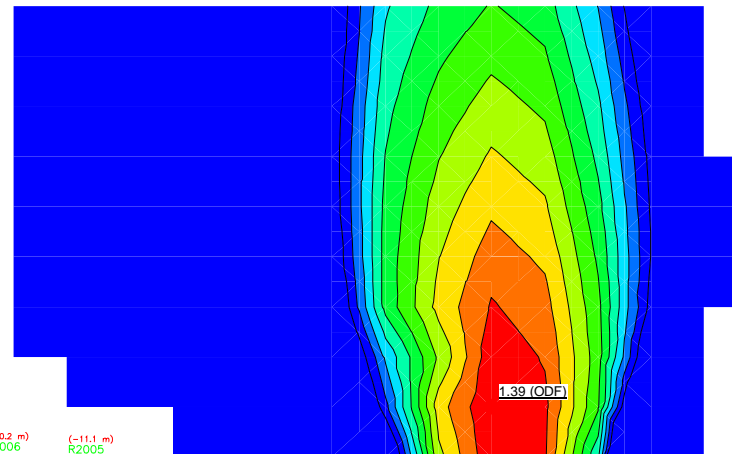
PWP Conditions from: Piezometric Line

Projektör: David Erikson

Geostudio Vers: 10.2.1.19666

Datum: 2021-06-23

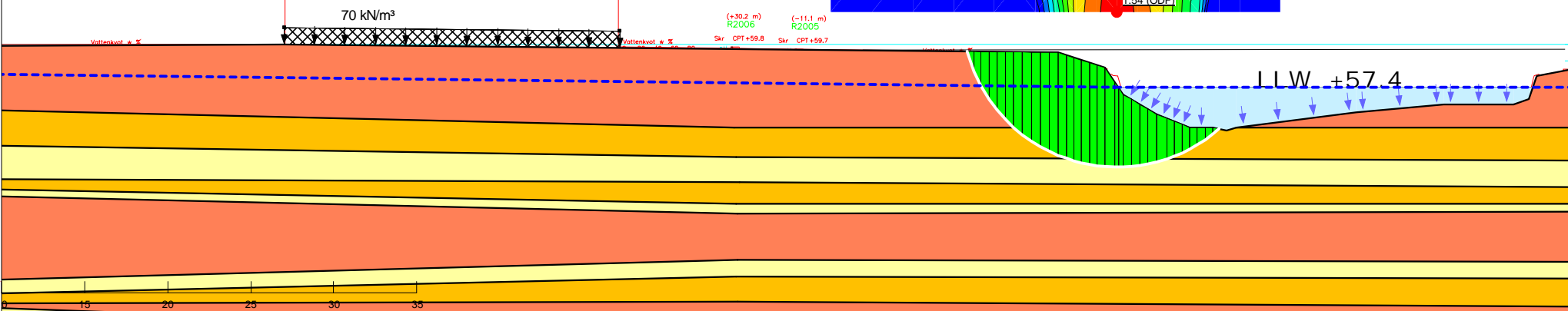
			(kN/m³)	(kPa)	(°)	(°)	(kPa)	(kPa)	((kN/m³)/m)	(kPa)	(kPa)	((kN/m³)/m)	(m)	
	Lera (1) komb	Combined, S=f(depth)	18		30		3.3	0		33	0	0.1	1	
	Lera (2) komb	Combined, S=f(datum)	18		30	3.3		0.2		33	2	0.1	40	1
	Sand	Mohr-Coulomb	18	0	31	0								1
	Silt	Mohr-Coulomb	17	0	28	0								1



Skala: 1:350 (A4)

Sektion: B - Slambehandling
 Beräkning: Odränerad (2)
 Beställare: PEAB Anläggning AB
 Metod: Partialkoefficientmetoden
 PWP Conditions from: Piezometric Line
 Projektör: David Erikson
 Geostudio Vers: 10.2.1.19666
 Datum: 2021-06-23

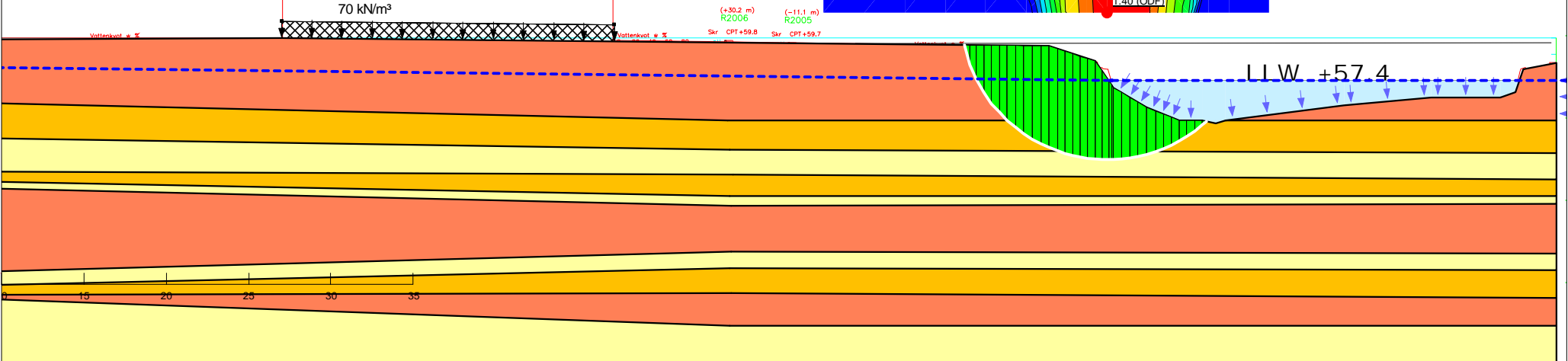
			(kN/m³)	(kPa)	((kN/m²)/m)	(kPa)	(m)	(kPa)	(°)	(°)	
	Lera (1)	Mohr-Coulomb	18				33	0	0	1	
	Lera (2)	S=f(datum)	18	33	2	66.5	40			1	
	Sand	Mohr-Coulomb	18				0	31	0	1	
	Silt	Mohr-Coulomb	17				0	28	0	1	



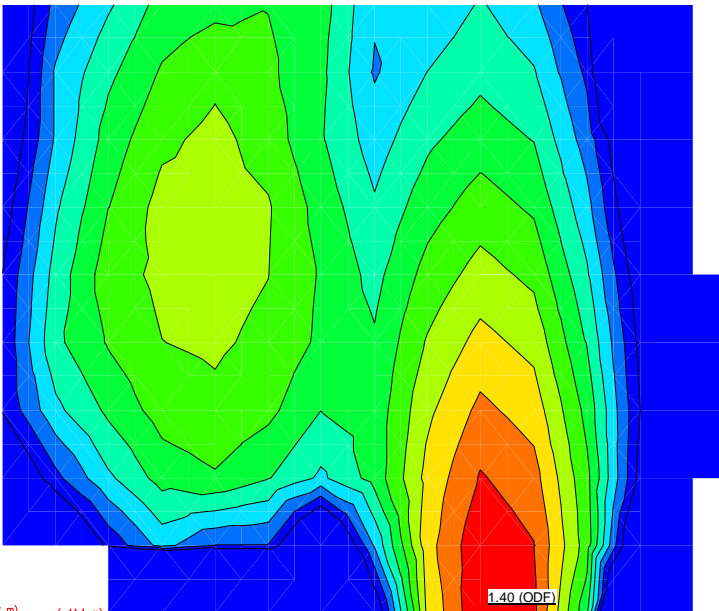
Skala: 1:350 (A4)

Sektion: B - Slambehandling
 Beräkning: Kombinerad (2)
 Beställare: PEAB Anläggning AB
 Metod: Partialkoefficientmetoden
 PWP Conditions from: Piezometric Line
 Projektör: David Erikson
 Geostudio Vers: 10.2.1.19666
 Datum: 2021-06-23

			(kN/m³)	(kPa)	(°)	(°)	(kPa)	(kPa)	((kN/m³)/m)	(kPa)	((kN/m²)/m)	(m)	
	Lera (1) komb	Combined, S=f(depth)	18		30		3.3	0		33	0	0.1	1
	Lera (2) komb	Combined, S=f(datum)	18		30		3.3		0.2	33	2	0.1	40
	Sand	Mohr-Coulomb	18	0	31	0							1
	Silt	Mohr-Coulomb	17	0	28	0							1



Skala: 1:350 (A4)



Sektion: B - Slambehandling + höjning mark

Beräkning: Odränerad (5)

Beställare: PEAB Anläggning AB

Metod: Partialkoefficientmetoden

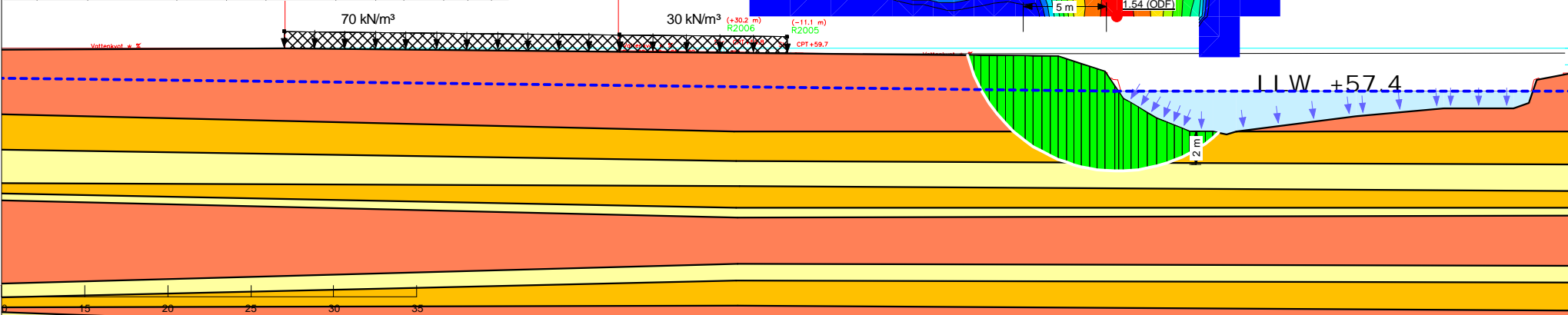
PWP Conditions from: Piezometric Line

Projektör: David Erikson

Geostudio Vers: 10.2.1.19666

Datum: 2021-06-23

			(kN/m³)	(kPa)	((kN/m²)/m)	(kPa)	(m)	(kPa)	(°)	(°)	
	Lera (1)	Mohr-Coulomb	18					33	0	0	1
	Lera (2)	S=f(datum)	18	33	2	66.5	40				1
	Sand	Mohr-Coulomb	18					0	31	0	1
	Silt	Mohr-Coulomb	17					0	28	0	1



Skala: 1:350 (A4)

Sektion: B - Slambehandling + höjning mark

Beräkning: Kombinerad (5)

Beställare: PEAB Anläggning AB

Metod: Partialkoefficientmetoden

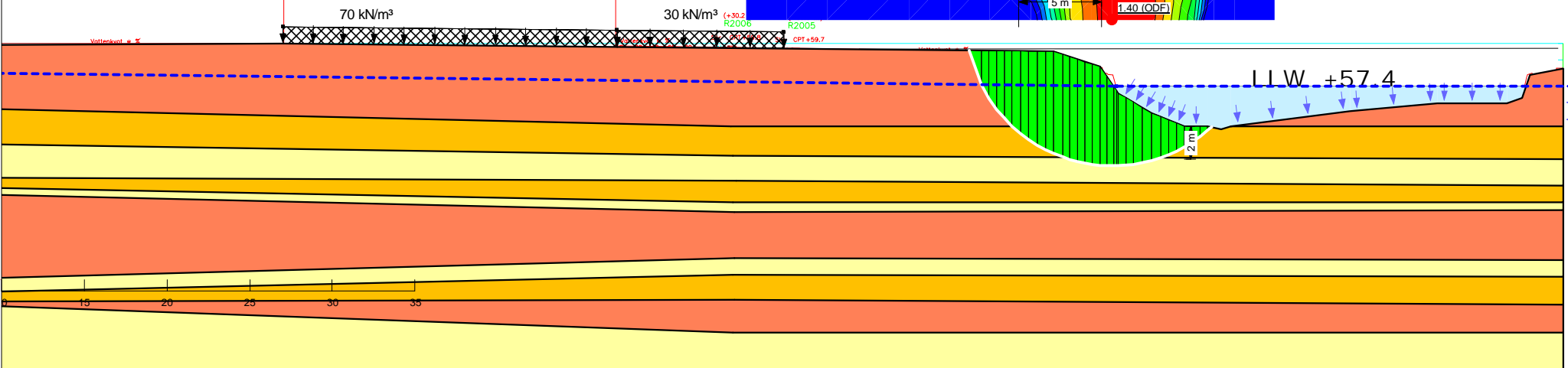
PWP Conditions from: Piezometric Line

Projektör: David Erikson

Geostudio Vers: 10.2.1.19666

Datum: 2021-06-23

			(kN/m³)	(kPa)	(°)	(°)	(kPa)	(kPa)	((kN/m²)/m)	(kPa)	(kPa)	((kN/m²)/m)	(m)
	Lera (1) komb	Combined, S=f(depth)	18		30		3.3	0		33	0	0.1	1
	Lera (2) komb	Combined, S=f(datum)	18		30	3.3		0.2	33		2	0.1	40
	Sand	Mohr-Coulomb	18	0	31	0							1
	Silt	Mohr-Coulomb	17	0	28	0							1



Skala: 1:350 (A4)

Sektion: B - Slambehandling + höjning mark + erosion 5m

Beräkning: Odränerad (3)

Beställare: PEAB Anläggning AB

Metod: Partialkoefficientmetoden

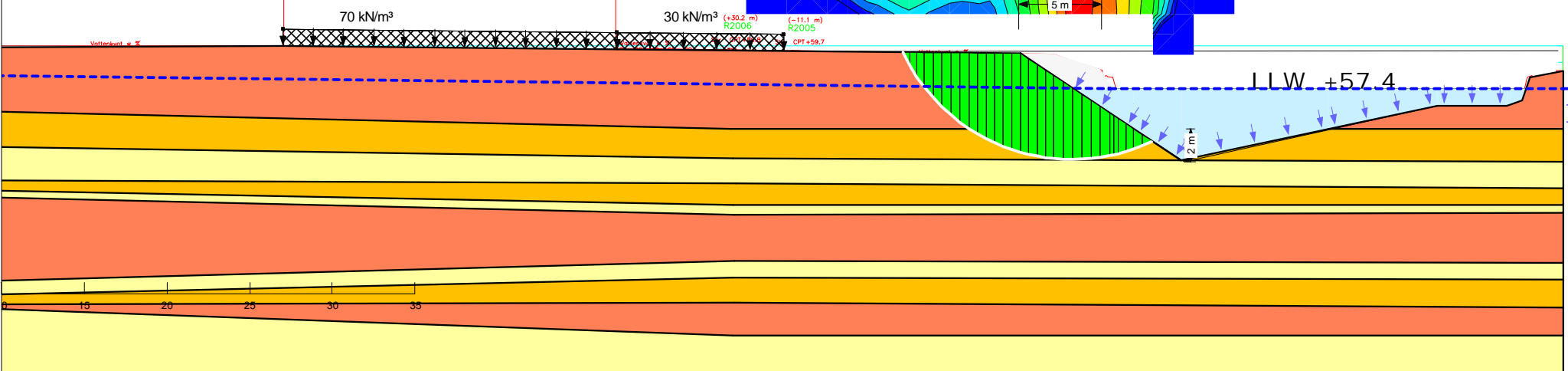
PWP Conditions from: Piezometric Line

Projektör: David Erikson

Geostudio Vers: 10.2.1.19666

Datum: 2021-06-23

			(kN/m³)	(kPa)	((kN/m²)/m)	(kPa)	(m)	(kPa)	(°)	(°)	
	Lera (1)	Mohr-Coulomb	18					33	0	0	1
	Lera (2)	S=f(datum)	18	33	2	66.5	40				1
	Sand	Mohr-Coulomb	18					0	31	0	1
	Silt	Mohr-Coulomb	17					0	28	0	1



Skala: 1:350 (A4)

Sektion: B - Slambehandling + höjning mark + erosion 5m

Beräkning: Kombinerad (3)

Beställare: PEAB Anläggning AB

Metod: Partialkoefficientmetoden

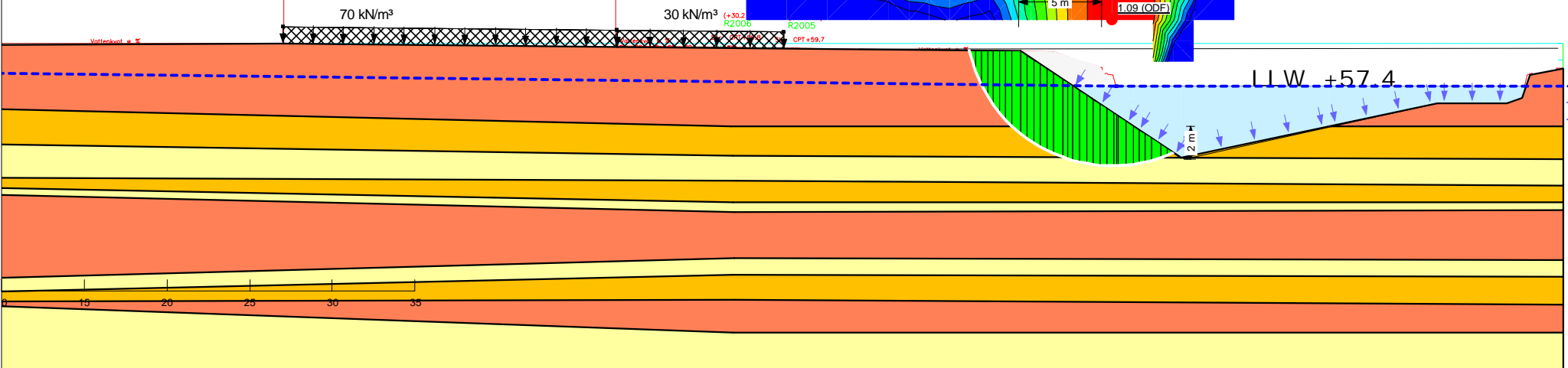
PWP Conditions from: Piezometric Line

Projektör: David Erikson

Geostudio Vers: 10.2.1.19666

Datum: 2021-06-23

			(kN/m³)	(kPa)	(°)	(°)	(kPa)	(kPa)	((kN/m³)/m)	(kPa)	((kN/m²)/m)	(m)	
	Lera (1) komb	Combined, S=f(depth)	18		30		3.3	0		33	0	0.1	1
	Lera (2) komb	Combined, S=f(datum)	18		30		3.3		0.2	33	2	0.1	40
	Sand	Mohr-Coulomb	18	0	31	0							1
	Silt	Mohr-Coulomb	17	0	28	0							1



Skala: 1:350 (A4)

Sektion: B - Slambehandling + höjning mark + erosion 10m

Beräkning: Odränerad (4)

Beställare: PEAB Anläggning AB

Metod: Partialkoefficientmetoden

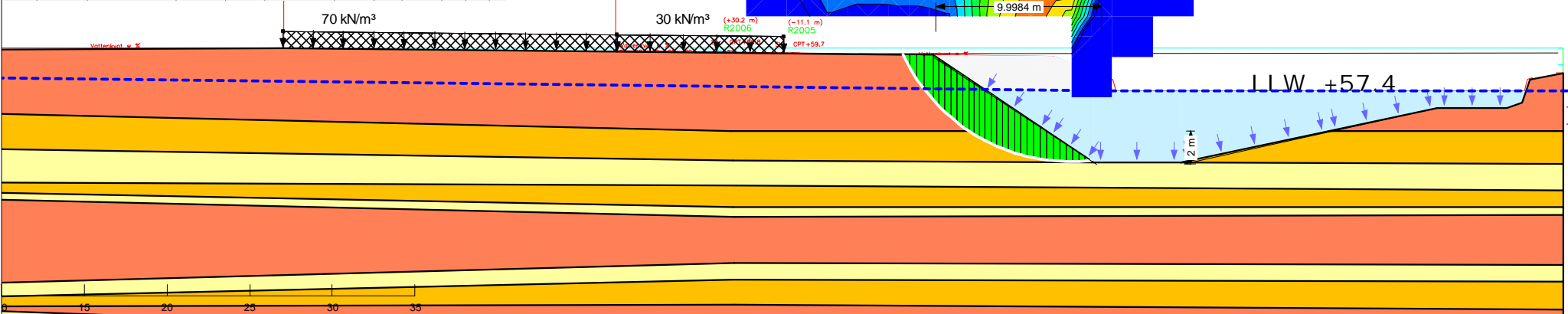
PWP Conditions from: Piezometric Line

Projektör: David Erikson

Geostudio Vers: 10.2.1.19666

Datum: 2021-06-23

			(kN/m³)	(kPa)	((kN/m²)/m)	(kPa)	(m)	(kPa)	(°)	(°)	
	Lera (1)	Mohr-Coulomb	18					33	0	0	1
	Lera (2)	S=f(datum)	18	33	2	66.5	40				1
	Sand	Mohr-Coulomb	18					0	31	0	1
	Silt	Mohr-Coulomb	17					0	28	0	1



Skala: 1:350 (A4)

Sektion: B - Slambehandling + höjning mark + erosion 10m

Beräkning: Kombinerad (4)

Beställare: PEAB Anläggning AB

Metod: Partialkoeffecientmetoden

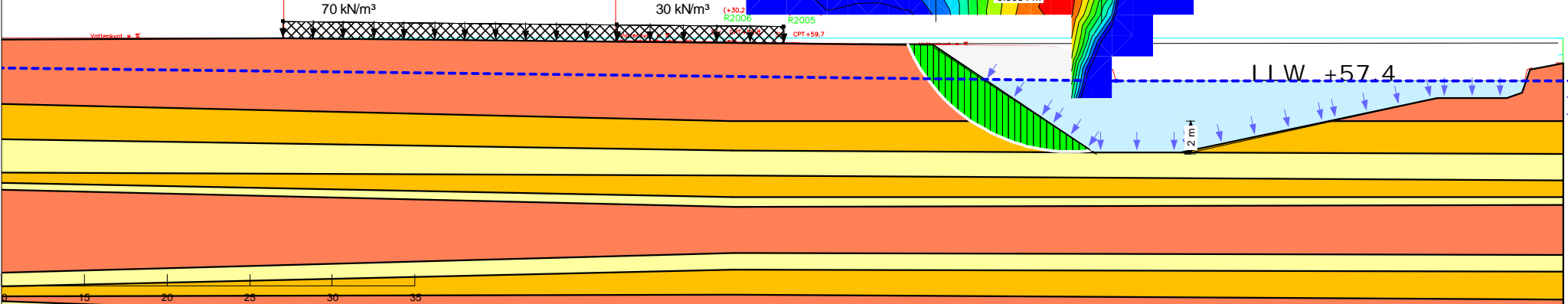
PWP Conditions from: Piezometric Line

Projektör: David Erikson

Geostudio Vers: 10.2.1.19666

Datum: 2021-06-23

			(kN/m³)	(kPa)	(°)	(°)	(kPa)	(kPa)	((kN/m³)/m)	(kPa)	((kN/m²)/m)	(m)	
	Lera (1) komb	Combined, S=f(depth)	18		30		3.3	0		33	0	0.1	1
	Lera (2) komb	Combined, S=f(datum)	18		30	3.3		0.2		33	2	0.1	40
	Sand	Mohr-Coulomb	18	0	31	0							1
	Silt	Mohr-Coulomb	17	0	28	0							1



Skala: 1:350 (A4)

Sektion: B känslighetsanalys - slambehandling + höjning mark (1,5m)

Beräkning: Odränerad (5)

Beställare: PEAB Anläggning AB

Metod: Partialkoefficientmetoden

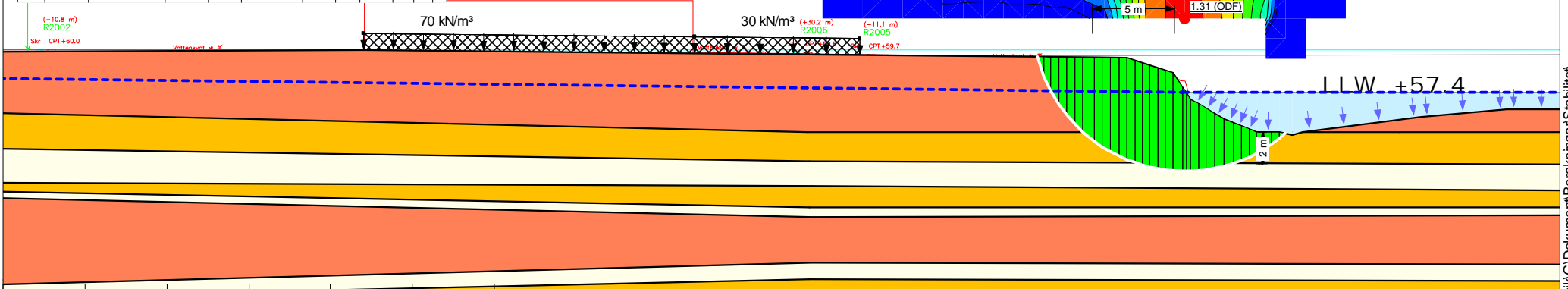
PWP Conditions from: Piezometric Line

Projektor: David Erikson

Geostudio vers: 10.2.1.19666

Datum: 2021-06-23

			(kN/m³)	(kPa)	((kN/m²)/m)	(kPa)	(m)	(kPa)	(°)	(°)	
	Lera (1)	Mohr-Coulomb	18					33	0	0	1
	Lera (2)	S=f(datum)	18	33	2	66.5	40				1
	Lerskikt	Mohr-Coulomb	18					25	0	0	1
	Sand	Mohr-Coulomb	18					0	30	0	1
	Silt	Mohr-Coulomb	17					0	27	0	1



Skala: 1:350 (A4)

Sektion: B känslighetsanalys - slambehandling + höjning mark (1,5m)

Beräkning: Kombinerad (5)

Beställare: PEAB Anläggning AB

Metod: Partialkoefficientmetoden

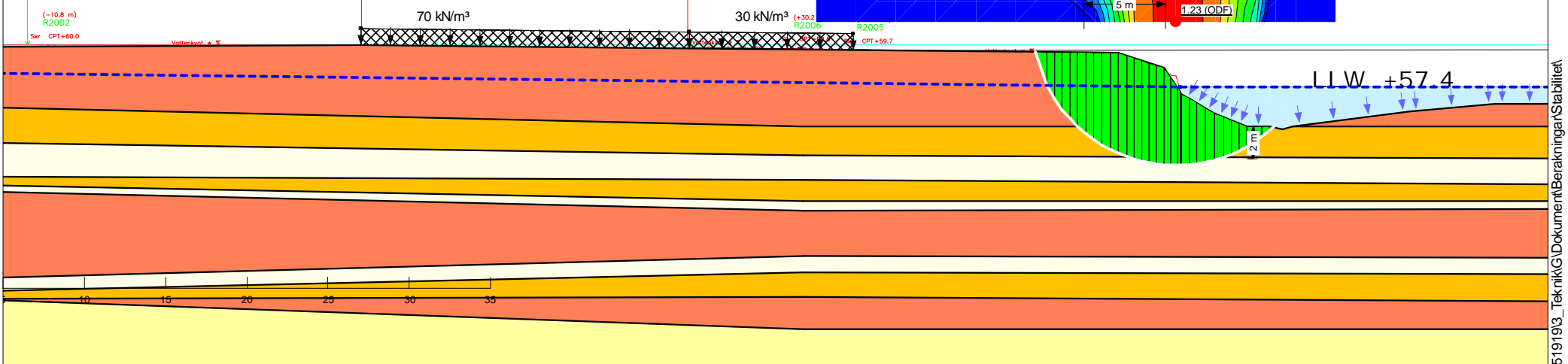
PWP Conditions from: Piezometric Line

Projektör: David Erikson

Geostudio vers: 10.2.1.19666

Datum: 2021-06-23

		(kN/m ³)	(kPa)	(°)	(°)	(kPa)	((kN/m ³)/m)	(kPa)	(kPa)	((kN/m ³)/m)	(m)		
	Lera (1) komb	Combined, S=f(depth)	18		30	3.3	0		33	0	0.1	1	
	Lera (2) komb	Combined, S=f(datum)	18		30	3.3		0.2	33	2	0.1	40	1
	Lerskikt komb	Combined, S=f(depth)	18		30		2.5	0	25	0	0.1	1	
	Sand	Mohr-Coulomb	18	0	30	0						1	
	Silt	Mohr-Coulomb	17	0	27	0						1	



Skala: 1:350 (A4)

Sektion: B känslighetsanalys - slambehandling + höjning mark (1,5m) + erosion 5m

Beräkning: Odränerad (3)

Beställare: PEAB Anläggning AB

Metod: Partialkoefficientmetoden

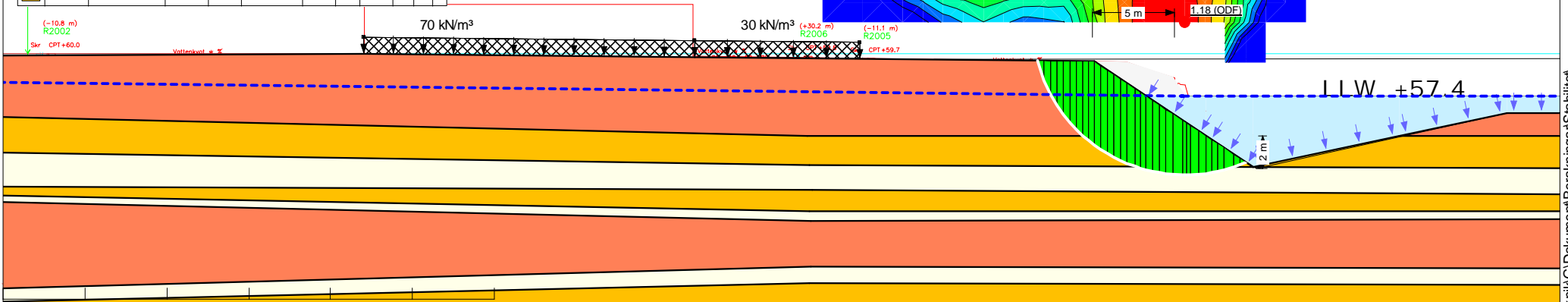
PWP Conditions from: Piezometric Line

Projektor: David Erikson

Geostudio vers: 10.2.1.19666

Datum: 2021-06-23

			(kN/m³)	(kPa)	((kN/m²)/m)	(kPa)	(m)	(kPa)	(°)	(°)	
Lera (1)	Mohr-Coulomb	18					33	0	0	0	1
Lera (2)	S=f(datum)	18	33	2	66.5	40					1
Lerskikt	Mohr-Coulomb	18					25	0	0	0	1
Sand	Mohr-Coulomb	18					0	30	0	0	1
Silt	Mohr-Coulomb	17					0	27	0	0	1



Skala: 1:350 (A4)

Sektion: B känslighetsanalys - slambehandling + höjning mark (1,5m) + erosion 5m

Beräkning: Kombinerad (3)

Beställare: PEAB Anläggning AB

Metod: Partialkoefficientmetoden

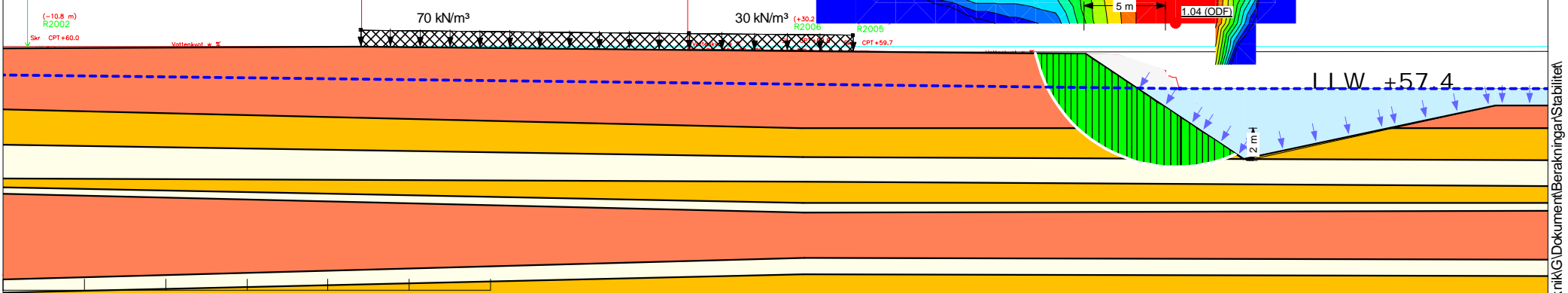
PWP Conditions from: Piezometric Line

Projektor: David Erikson

Geostudio vers: 10.2.1.19666

Datum: 2021-06-23

		(kN/m ³)	(kPa)	(°)	(°)	(kPa)	((kN/m ³)/m)	(kPa)	(kPa)	((kN/m ³)/m)	(m)	
	Lera (1) komb	Combined, S=f(depth)	18		30	3.3	0		33	0	0.1	1
	Lera (2) komb	Combined, S=f(datum)	18		30	3.3	0.2	33	2	0.1	40	1
	Lerskikt komb	Combined, S=f(depth)	18		30	2.5	0	25	0	0.1	1	
	Sand	Mohr-Coulomb	18	0	30	0						1
	Silt	Mohr-Coulomb	17	0	27	0						1



Skala: 1:350 (A4)

Sektion: B känslighetsanalys - slambehandling + höjning mark (1,5m) + erosion 10m

Beräkning: Odränerad (4)

Beställare: PEAB Anläggning AB

Metod: Partialkoefficientmetoden

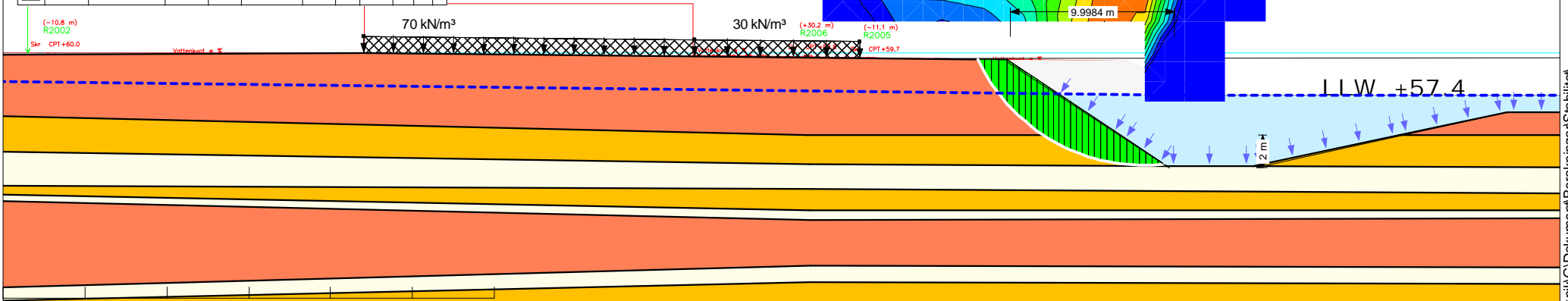
PWP Conditions from: Piezometric Line

Projektor: David Erikson

Geostudio vers: 10.2.1.19666

Datum: 2021-06-23

			(kN/m³)	(kPa)	((kN/m²)/m)	(kPa)	(m)	(kPa)	(°)	(°)	
	Lera (1)	Mohr-Coulomb	18					33	0	0	1
	Lera (2)	$S=f(\text{datum})$	18	33	2	66.5	40				1
	Lerskikt	Mohr-Coulomb	18					25	0	0	1
	Sand	Mohr-Coulomb	18					0	30	0	1
	Silt	Mohr-Coulomb	17					0	27	0	1



Skala: 1:350 (A4)

Sektion: B känslighetsanalys - slambehandling + höjning mark (1,5m) + erosion 10m

Beräkning: Kombinerad (4)

Beställare: PEAB Anläggning AB

Metod: Partialkoefficientmetoden

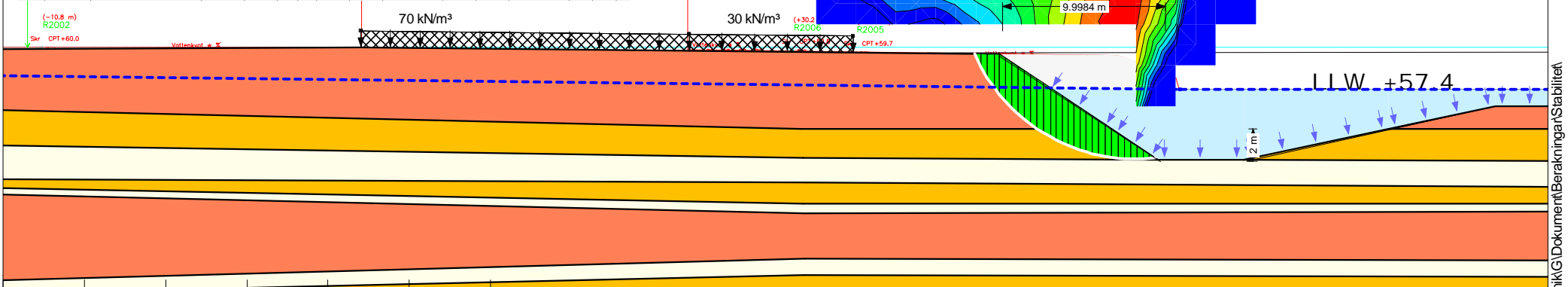
PWP Conditions from: Piezometric Line

Projektor: David Erikson

Geostudio vers: 10.2.1.19666

Datum: 2021-06-23

		(kN/m ³)	(kPa)	(°)	(°)	(kPa)	((kN/m ³)/m)	(kPa)	(kPa)	((kN/m ³)/m)	(m)	
	Lera (1) komb	Combined, S=f(depth)	18		30	3.3	0		33	0	0.1	1
	Lera (2) komb	Combined, S=f(datum)	18		30	3.3	0.2	33	2	0.1	40	1
	Lerskikt komb	Combined, S=f(depth)	18		30	2.5	0		25	0	0.1	1
	Sand	Mohr-Coulomb	18	0	30	0						1
	Silt	Mohr-Coulomb	17	0	27	0						1



Skala: 1:350 (A4)

Sektion: C - Befintliga förhållanden

Beräkning: Odränerad

Beställare: PEAB Anläggning AB

Metod: Partialkoefficientmetoden

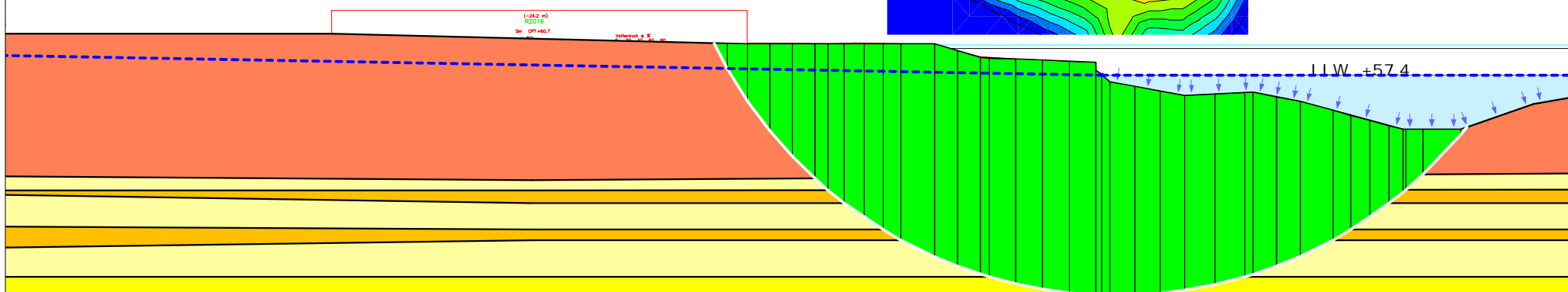
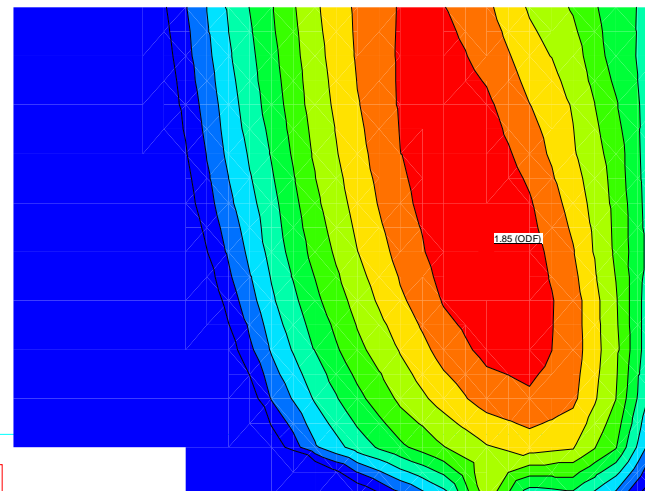
PWP Conditions from: Piezometric Line

Projektör: David Erikson

Geostudio vers: 10.2.1.19666

Datum: 2021-06-23

			(kN/m³)	(kPa)	((kN/m²)/m)	(kPa)	(m)	(kPa)	(°)	(°)	
	Lera (1)	Mohr-Coulomb	18					33	0	0	1
	Lera (2)	S=f(datum)	18	33	2	66.5	40				1
	Sand	Mohr-Coulomb	18					0	31	0	1
	Silt	Mohr-Coulomb	17					0	28	0	1



Skala: 1:500 (A4)

Sektion: C - Befintliga förhållanden

Beräkning: Kombinerad

Beställare: PEAB Anläggning AB

Metod: Partialkoefficientmetoden

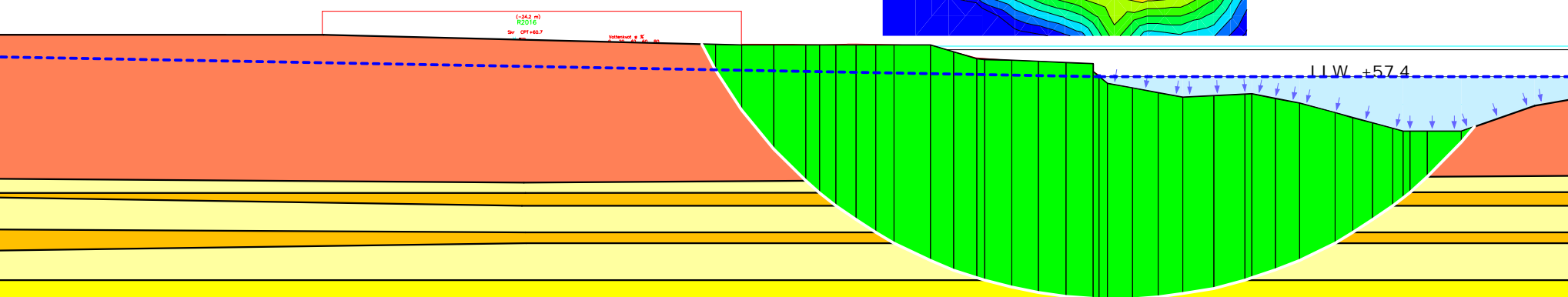
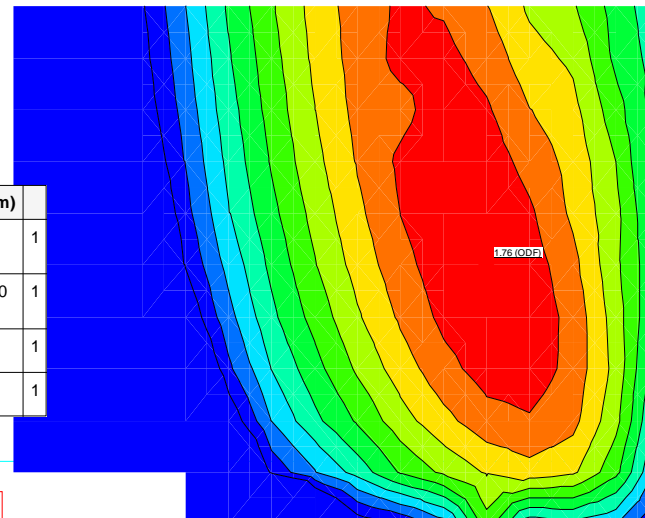
PWP Conditions from: Piezometric Line

Projektör: David Erikson

Geostudio vers: 10.2.1.19666

Datum: 2021-06-23

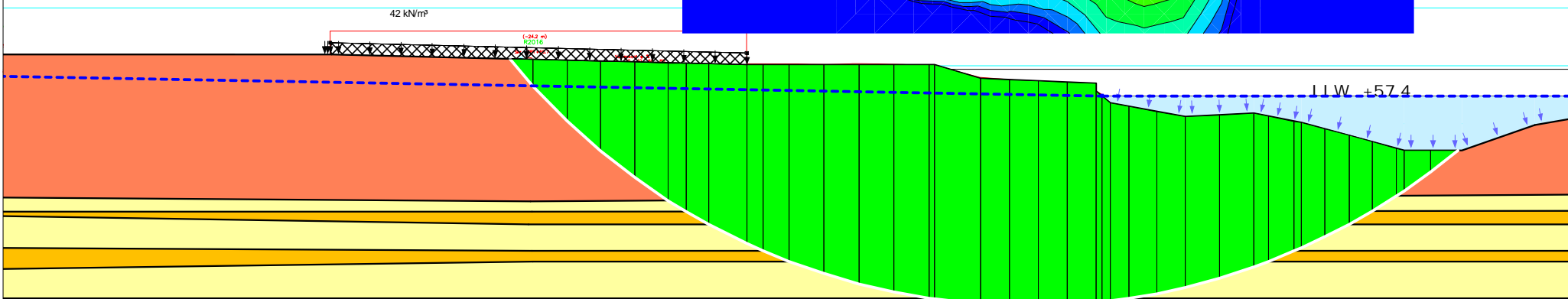
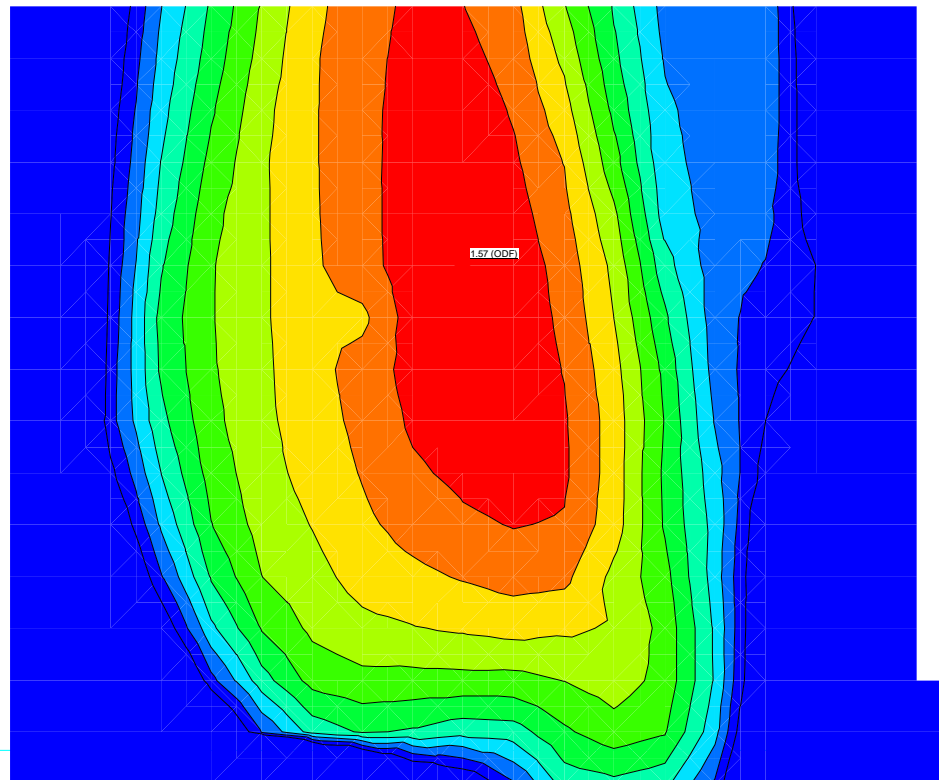
		(kN/m³)	(kPa)	(°)	(°)	(kPa)	(kPa)	((kN/m²)/m)	(kPa)	(kPa)	((kN/m²)/m)	(m)
Lera (1) komb	Combined, S=f(depth)	18		30		3.3	0		33	0	0.1	1
Lera (2) komb	Combined, S=f(datum)	18		30		3.3	0.2		33	2	0.1	40
Sand	Mohr-Coulomb	18	0	31	0							1
Silt	Mohr-Coulomb	17	0	28	0							1



Skala: 1:500 (A4)

Sektion: C - Bioblock 42kPa
 Beräkning: Odränerad (2)
 Beställare: PEAB Anläggning AB
 Metod: Partialkoefficientmetoden
 PWP Conditions from: Piezometric Line
 Projektör: David Erikson
 Geostudio vers: 10.2.1.19666
 Datum: 2021-06-23

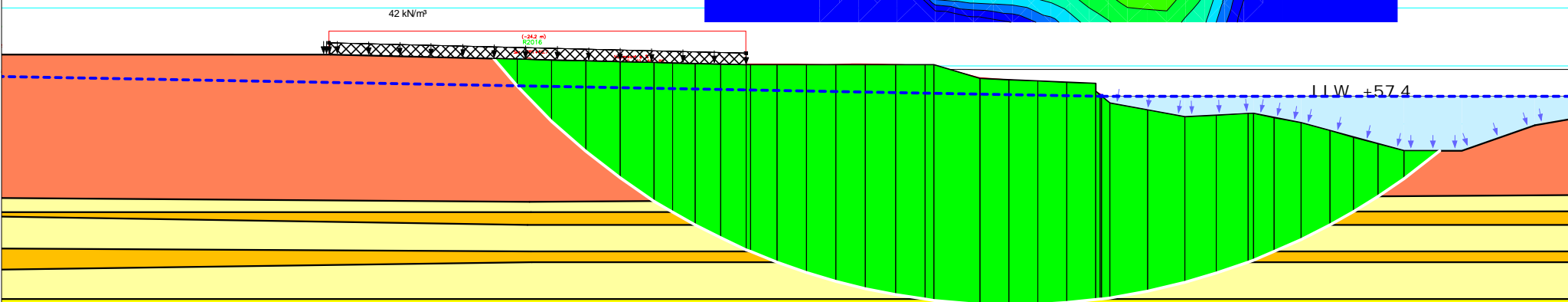
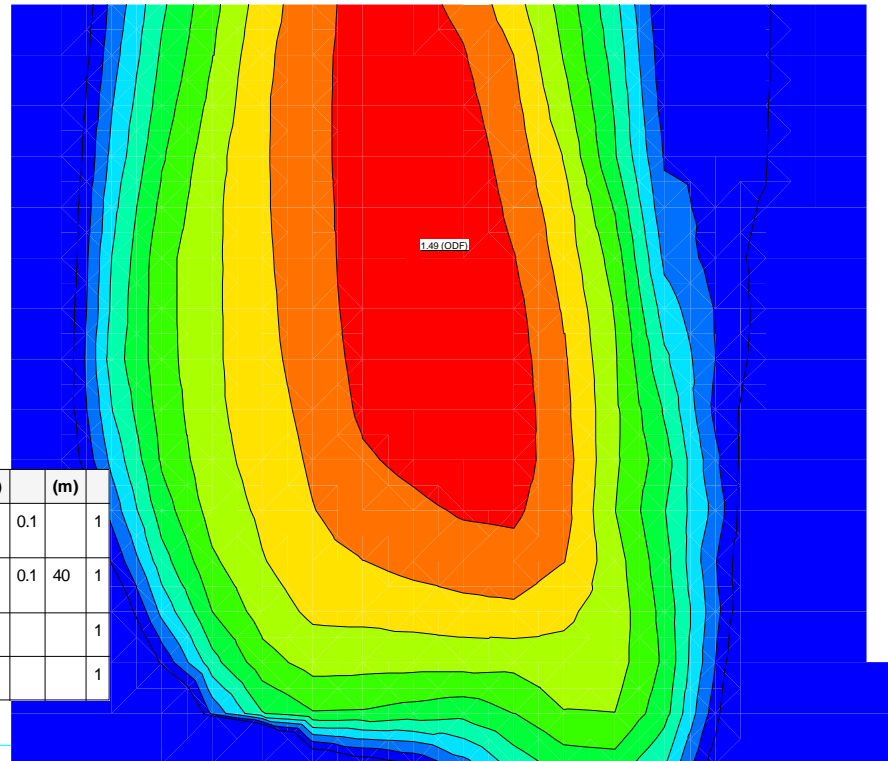
			(kN/m³)	(kPa)	((kN/m²)/m)	(kPa)	(m)	(kPa)	(°)	(°)	
	Lera (1)	Mohr-Coulomb	18					33	0	0	1
	Lera (2)	$S=f(\text{datum})$	18	33	2	66.5	40				1
	Sand	Mohr-Coulomb	18					0	31	0	1
	Silt	Mohr-Coulomb	17					0	28	0	1



Skala: 1:500 (A4)

Sektion: C - Bioblock 42kPa
 Beräkning: Kombinerad (2)
 Beställare: PEAB Anläggning AB
 Metod: Partialkoefficientmetoden
 PWP Conditions from: Piezometric Line
 Projektör: David Erikson
 Geostudio vers: 10.2.1.19666
 Datum: 2021-06-23

		(kN/m³)	(kPa)	(°)	(°)	(kPa)	(kPa)	((kN/m²)/m)	(kPa)	(kPa)	((kN/m²)/m)	(m)
Lera (1) komb	Combined, S=f(depth)	18		30		3.3	0		33	0	0.1	1
Lera (2) komb	Combined, S=f(datum)	18		30		3.3	0.2		33	2	0.1	40
Sand	Mohr-Coulomb	18	0	31	0							1
Silt	Mohr-Coulomb	17	0	28	0							1

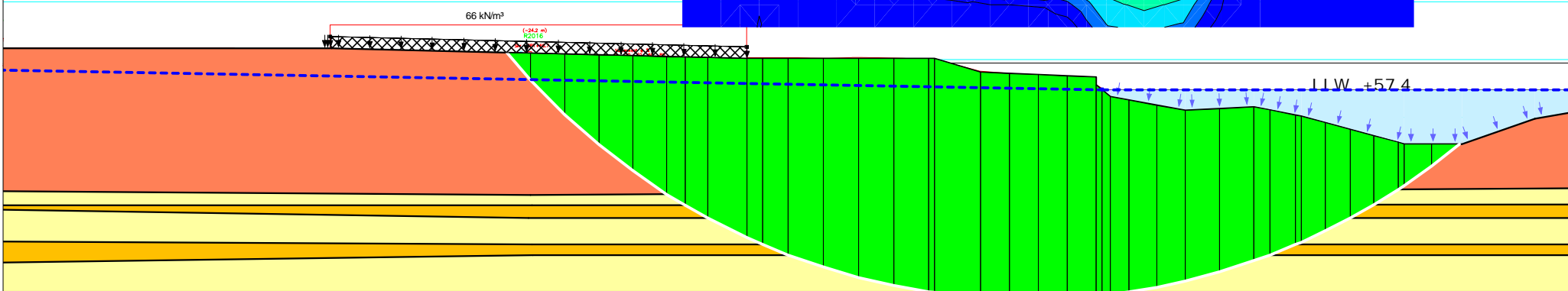
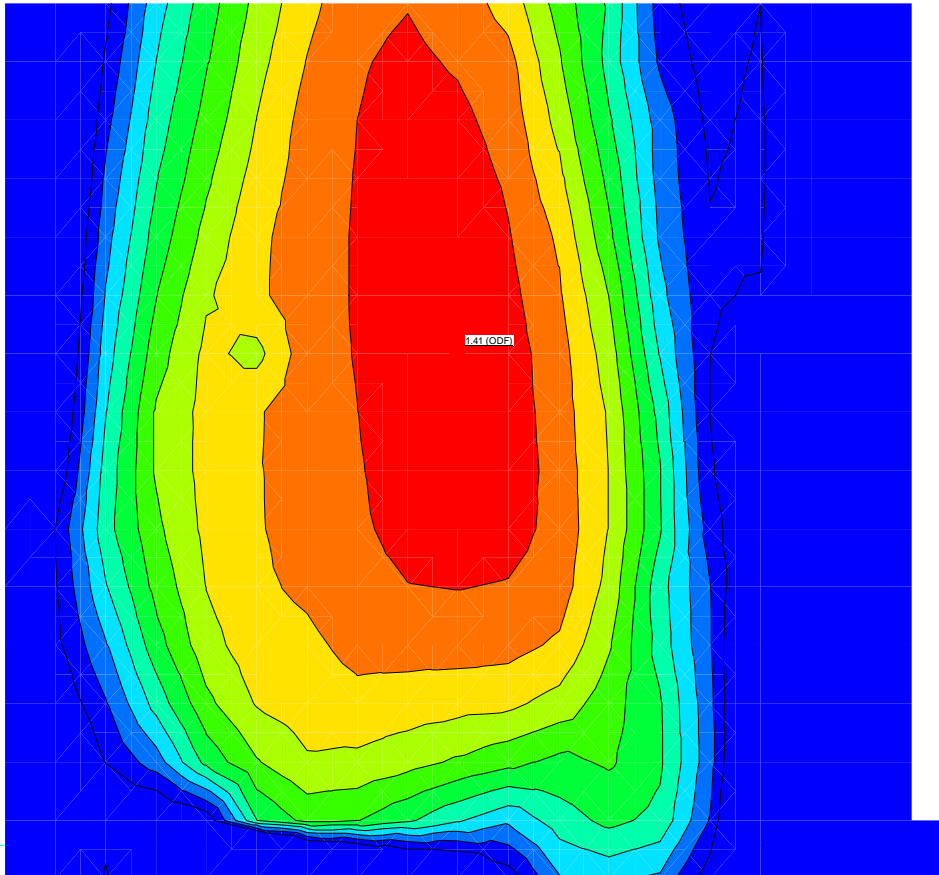


Skala: 1:500 (A4)

RAMBOLL

Sektion: C - Bioblock 66kPa
Beräkning: Odränerad (3)
Beställare: PEAB Anläggning AB
Metod: Partialkoefficientmetoden
PWP Conditions from: Piezometric Line
Projektör: David Erikson
Geostudio vers: 10.2.1.19666
Datum: 2021-06-23

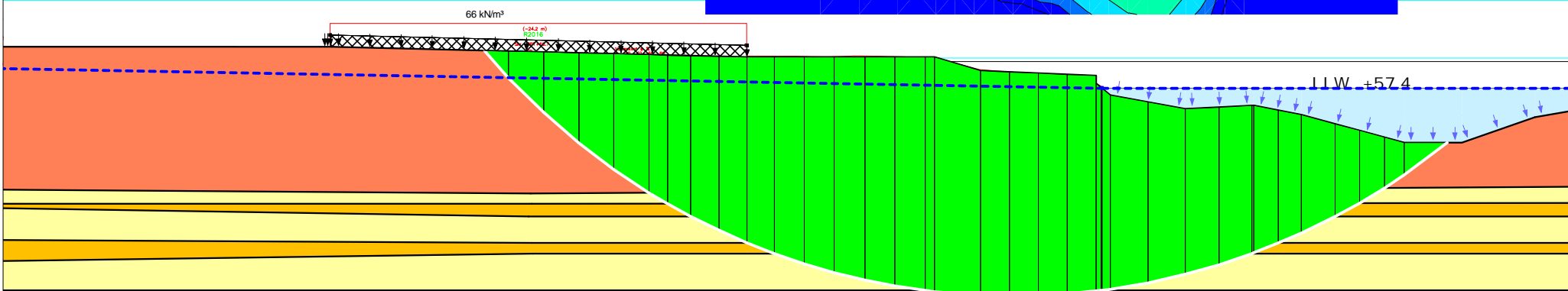
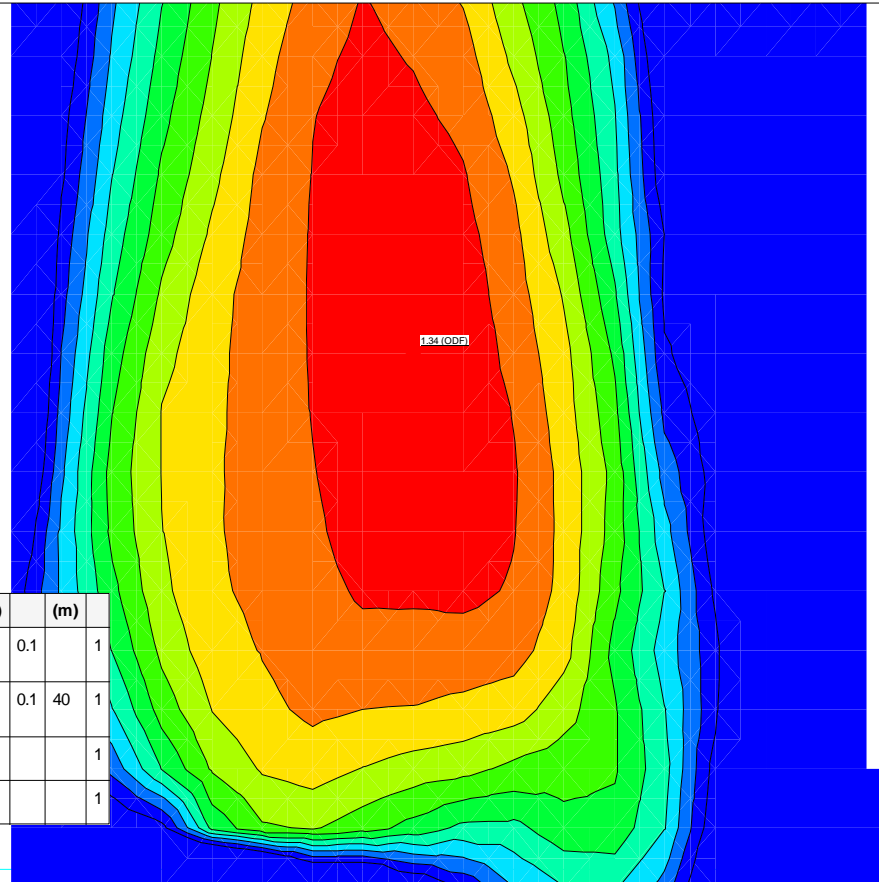
		(kN/m³)	(kPa)	((kN/m²)/m)	(kPa)	(m)	(kPa)	(°)	(°)	(°)
Lera (1)	Mohr-Coulomb	18				33	0	0	0	1
Lera (2)	S=f(datum)	18	33	2	66.5	40				1
Sand	Mohr-Coulomb	18				0	31	0	1	
Silt	Mohr-Coulomb	17				0	28	0	1	



Skala: 1:500 (A4)

Sektion: C - Bioblock 66kPa
 Beräkning: Kombinerad (3)
 Beställare: PEAB Anläggning AB
 Metod: Partialkoefficientmetoden
 PWP Conditions from: Piezometric Line
 Projektör: David Erikson
 Geostudio vers: 10.2.1.19666
 Datum: 2021-06-23

		(kN/m³)	(kPa)	(°)	(°)	(kPa)	(kPa)	((kN/m²)/m)	(kPa)	(kPa)	((kN/m²)/m)	(m)
Lera (1) komb	Combined, $S=f(\text{depth})$	18		30		3.3	0		33	0	0.1	1
Lera (2) komb	Combined, $S=f(\text{datum})$	18		30		3.3	0.2		33	2	0.1	40
Sand	Mohr-Coulomb	18	0	31	0							1
Silt	Mohr-Coulomb	17	0	28	0							1



Skala: 1:500 (A4)



Sektion: C - Bioblock 42kPa + erosion

Beräkning: Odränerad (4)

Beställare: PEAB Anläggning AB

Metod: Partialkoefficientmetoden

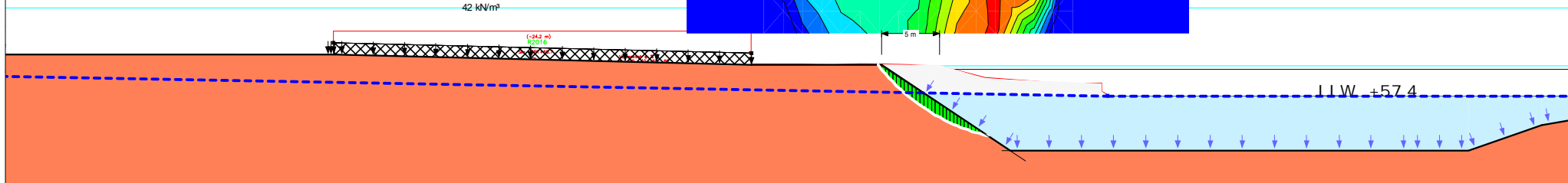
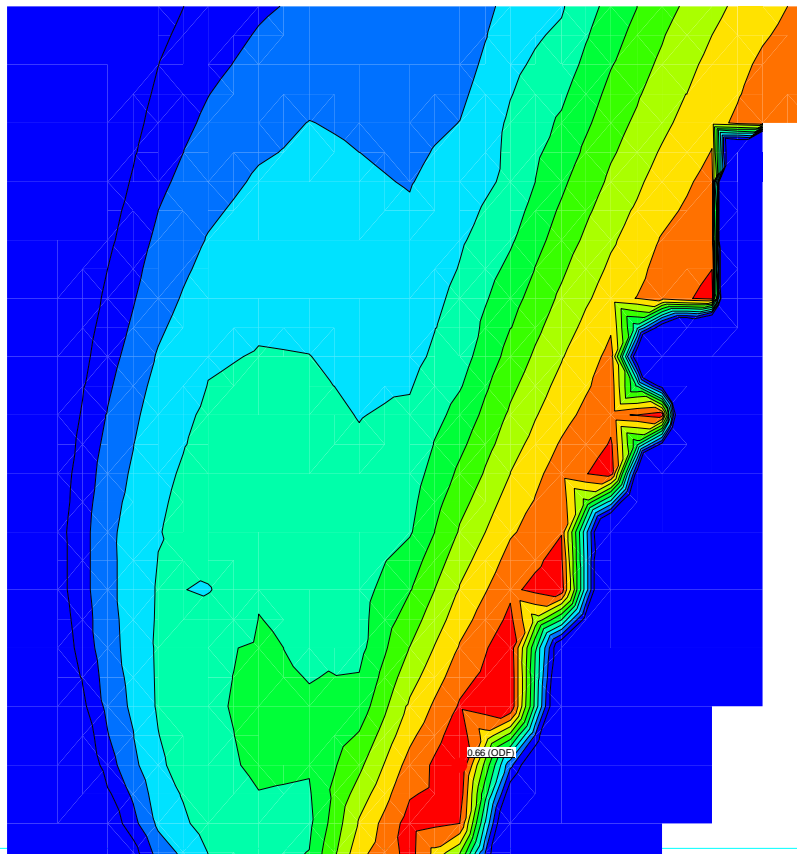
PWP Conditions from: Piezometric Line

Projektör: David Erikson

Geostudio vers: 10.2.1.19666

Datum: 2021-06-23

			(kN/m ³)	(kPa)	((kN/m ²)/m)	(kPa)	(m)	(kPa)	(°)	(°)	
	Lera (1)	Mohr-Coulomb	18					33	0	0	1
	Lera (2)	S=f(datum)	18	33	2	66.5	40				1
	Sand	Mohr-Coulomb	18					0	31	0	1
	Silt	Mohr-Coulomb	17					0	28	0	1



Skala: 1:500 (A4)

Sektion: C - Bioblock 42kPa + erosion

Beräkning: Kombinerad (4)

Beställare: PEAB Anläggning AB

Metod: Partialkoefficientmetoden

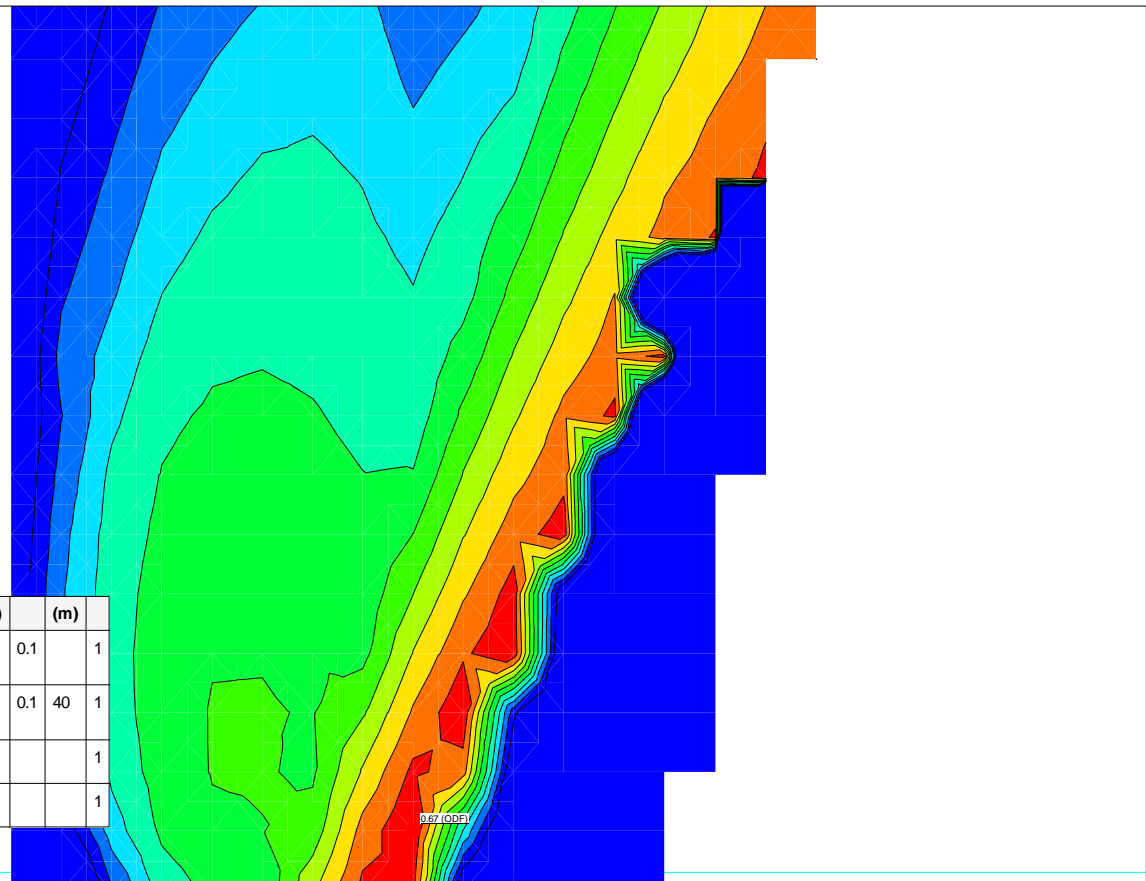
PWP Conditions from: Piezometric Line

Projektör: David Erikson

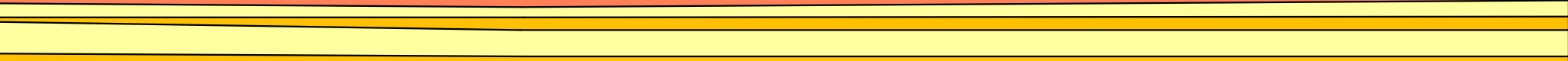
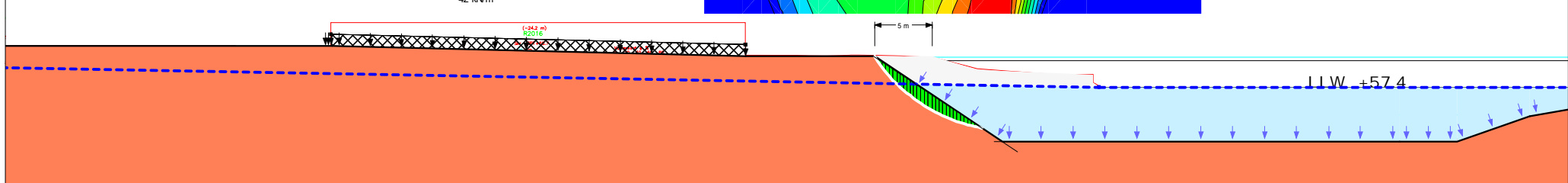
Geostudio vers: 10.2.1.19666

Datum: 2021-06-23

		(kN/m³)	(kPa)	(°)	(°)	(kPa)	(kPa)	((kN/m²)/m)	(kPa)	(kPa)	((kN/m²)/m)	(m)
Lera (1) komb	Combined, $S=f(\text{depth})$	18		30		3.3	0		33	0	0.1	1
Lera (2) komb	Combined, $S=f(\text{datum})$	18		30		3.3	0.2		33	2	0.1	40
Sand	Mohr-Coulomb	18	0	31	0							1
Silt	Mohr-Coulomb	17	0	28	0							1



42 kN/m³



Skala: 1:500 (A4)

RAMBOLL

Sektion: C - Bioblock 66kPa+ erosion (5)

Beräkning: Odränerad (5)

Beställare: PEAB Anläggning AB

Metod: Partialkoefficientmetoden

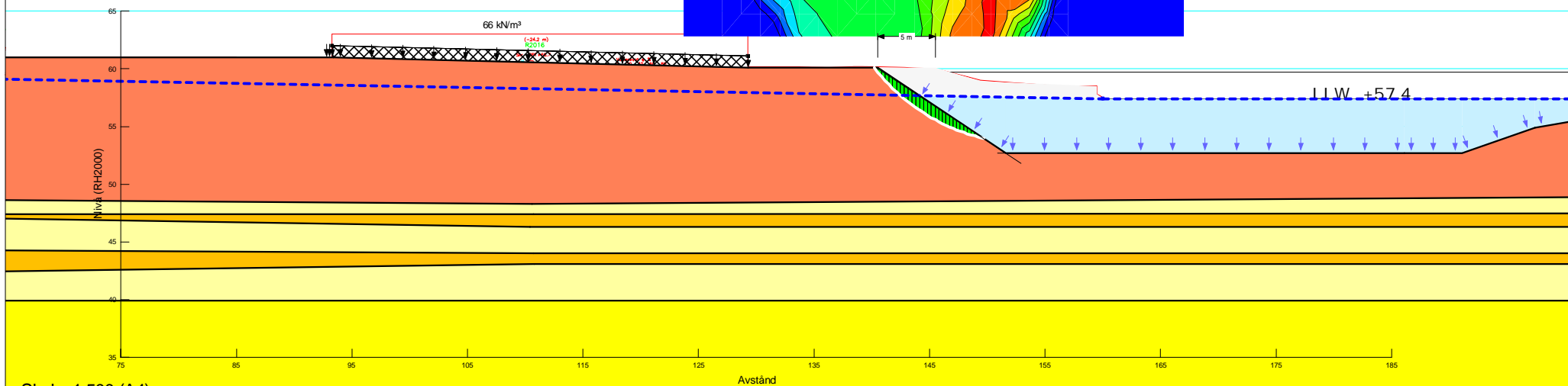
PWP Conditions from: Piezometric Line

Projektör: David Erikson

Geostudio vers: 10.2.1.19666

Datum: 2021-06-23

			(kN/m³)	(kPa)	((kN/m²)/m)	(kPa)	(m)	(kPa)	(°)	(°)	1
Lera (1)	Mohr-Coulomb	18					33	0	0	0	1
Lera (2)	S=f(datum)	18	33	2	66.5	40					1
Sand	Mohr-Coulomb	18					0	31	0	1	
Silt	Mohr-Coulomb	17					0	28	0	1	



Skala: 1:500 (A4)

Sektion: C - Bioblock 66kPa+ erosion

Beräkning: Kombinerad (5)

Beställare: PEAB Anläggning AB

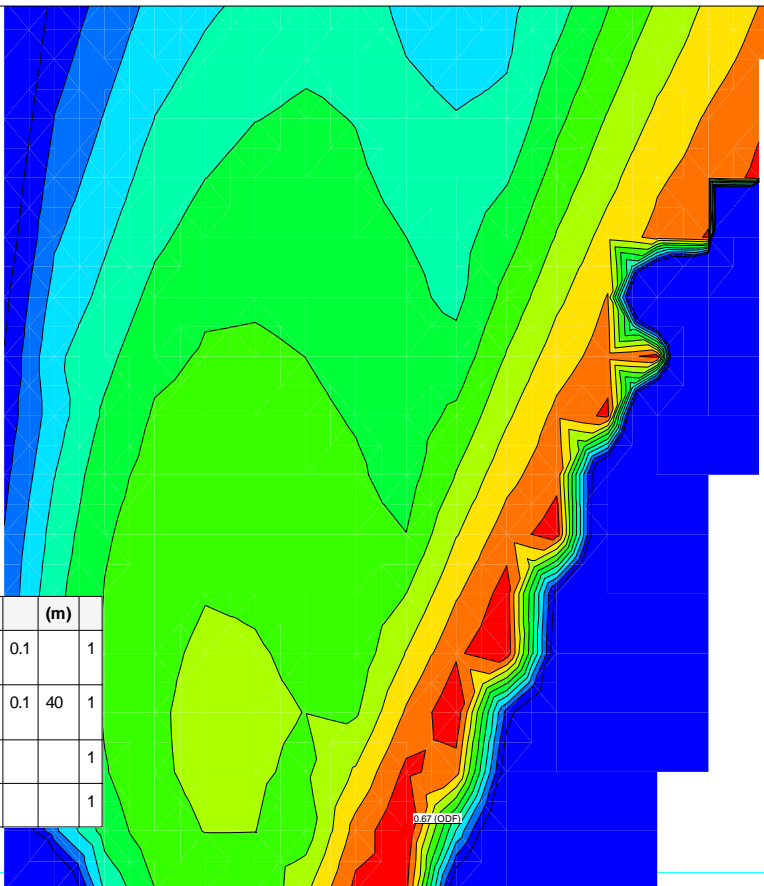
Metod: Partialkoefficientmetoden

PWP Conditions from: Piezometric Line

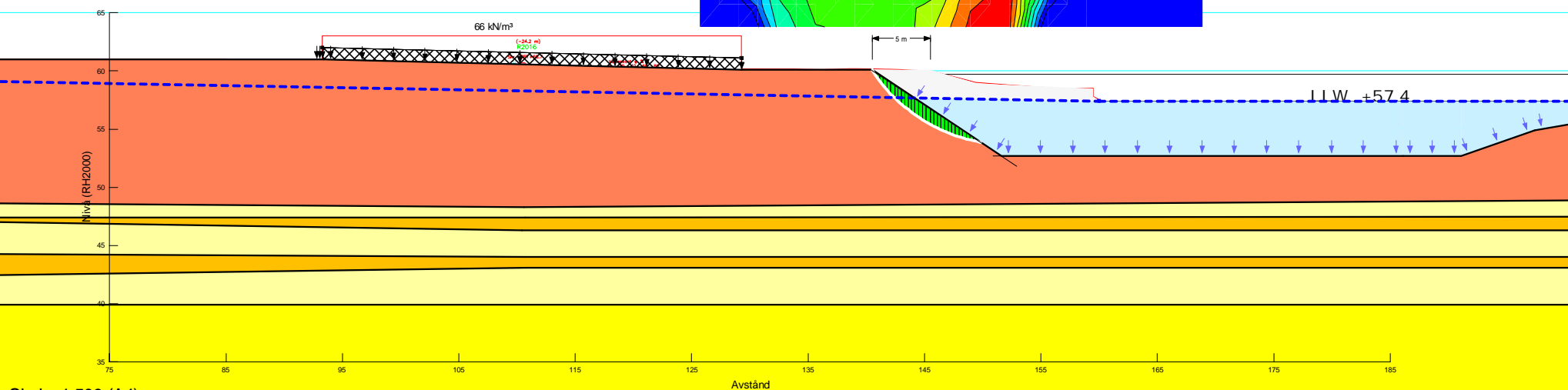
Projektör: David Erikson

Geostudio vers: 10.2.1.19666

Datum: 2021-06-23



		(kN/m³)	(kPa)	(°)	(°)	(kPa)	(kPa)	((kN/m²)/m)	(kPa)	(kPa)	((kN/m²)/m)	(m)
Lera (1) komb	Combined, S=f(depth)	18		30		3.3	0		33	0	0.1	1
Lera (2) komb	Combined, S=f(datum)	18		30		3.3	0.2		33	2	0.1	40
Sand	Mohr-Coulomb	18	0	31	0							1
Silt	Mohr-Coulomb	17	0	28	0							1



Sektion: C känslighetsanalys - Bioblock 42kPa

Beräkning: Odränerad (2)

Beställare: PEAB Anläggning AB

Metod: Partialkoefficientmetoden

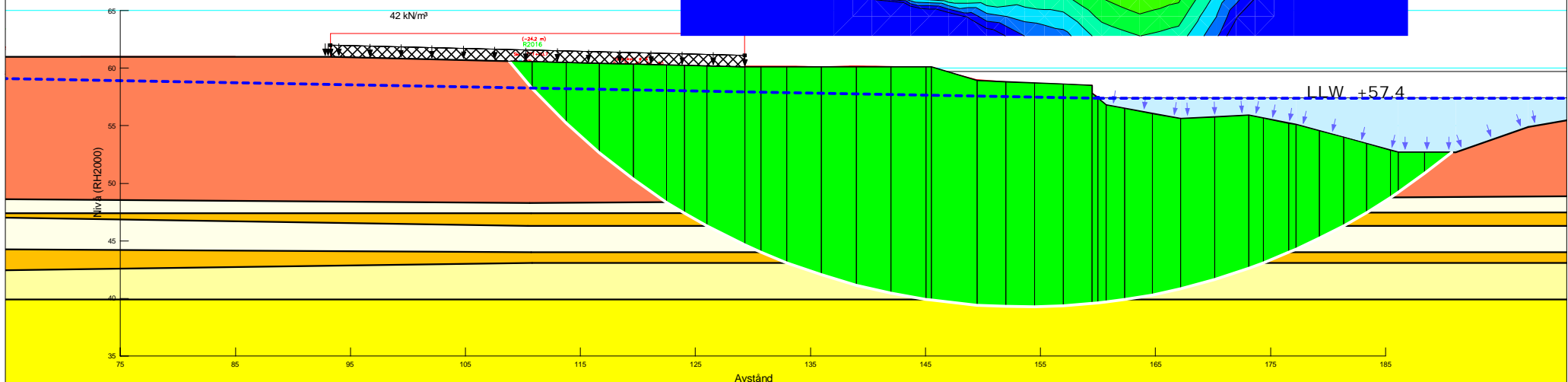
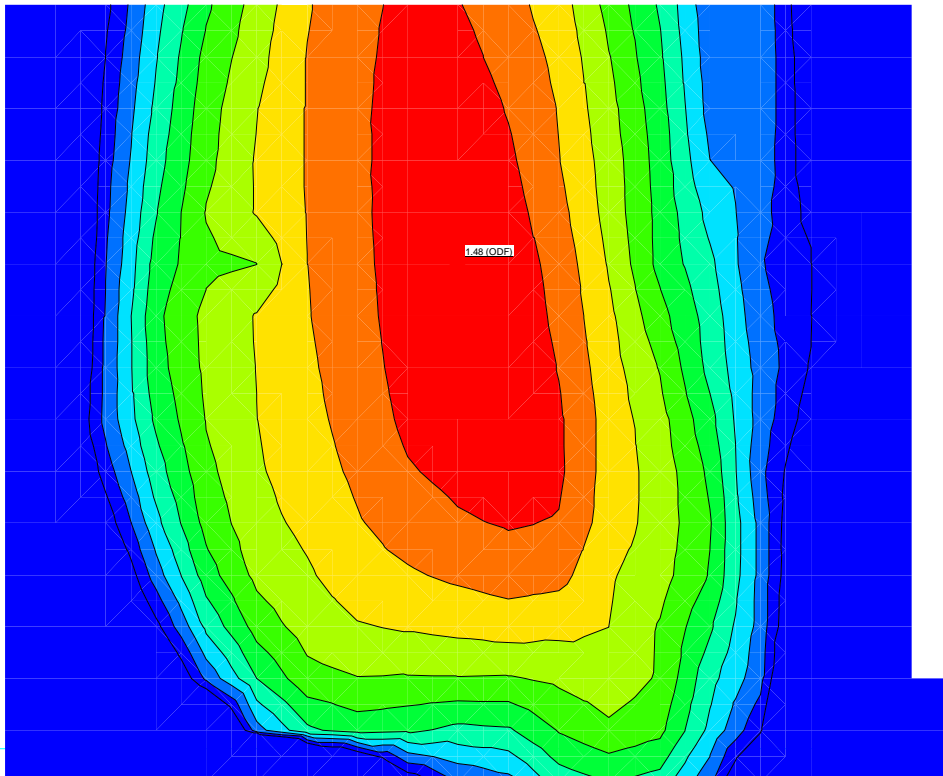
PWP Conditions from: Piezometric Line

Projektor: David Erikson

Geostudio vers: 10.2.1.19666

Datum: 2021-06-23

		(kN/m³)	(kPa)	((kN/m²)/m)	(kPa)	(m)	(kPa)	(°)	(°)	
Lera (1)	Mohr-Coulomb	18				33	0	0	1	
Lera (2)	S=f(datum)	18	33	2	66.5	40			1	
Lerskikt	Mohr-Coulomb	18				25	0	0	1	
Sand	Mohr-Coulomb	18				0	30	0	1	
Silt	Mohr-Coulomb	17				0	27	0	1	



Skala: 1:500 (A4)

Sektion: C känslighetsanalys - Bioblock 42kPa

Beräkning: Kombinerad (2)

Beställare: PEAB Anläggning AB

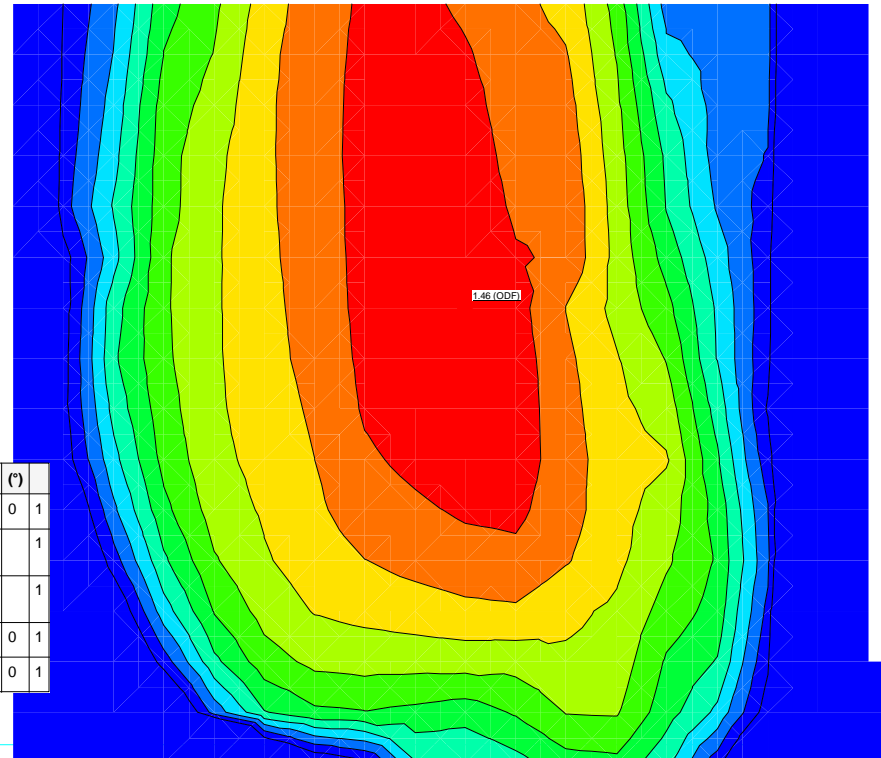
Metod: Partialkoefficientmetoden

PWP Conditions from: Piezometric Line

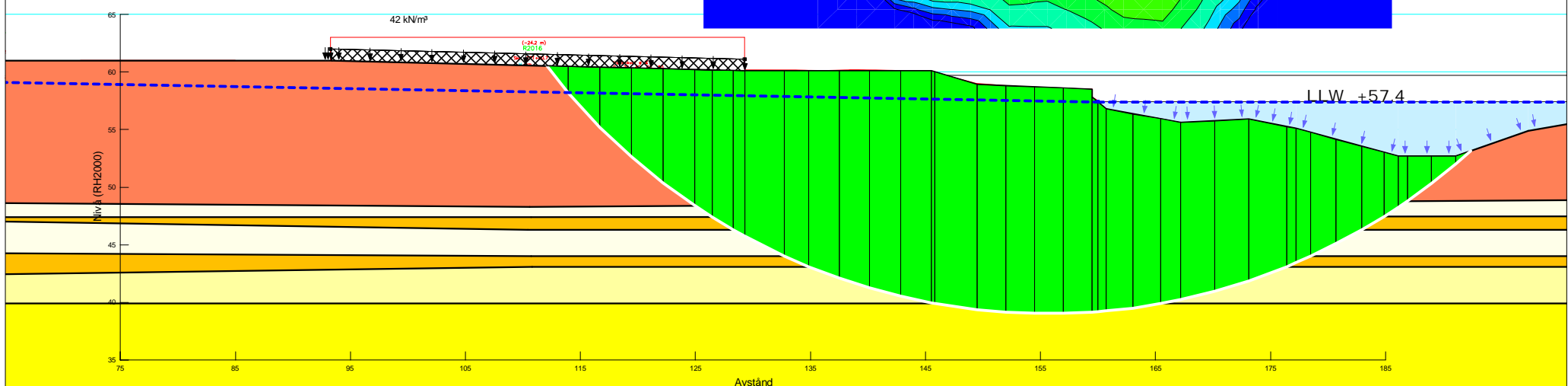
Projektor: David Erikson

Geostudio vers: 10.2.1.19666

Datum: 2021-06-23



		(kN/m³)	(kPa)	(°)	(kPa)	((kN/m³)/m)	(kPa)	(kPa)	((kN/m³)/m)	(m)	(°)
Lera (1)	Mohr-Coulomb	18	33	0						0	1
Lera (2) komb	Combined, S=f(datum)	18		30	3.3	0.2		33	2	0.1	40
Lerskikt komb	Combined, S=f(depth)	18		30	2.5	0	25		0	0.1	1
Sand	Mohr-Coulomb	18	0	30						0	1
Silt	Mohr-Coulomb	17	0	27						0	1



Skala: 1:500 (A4)

RAMBOLL

Sektion: C känslighetsanalys - Bioblock 66kPa

Beräkning: Odränerad (3)

Beställare: PEAB Anläggning AB

Metod: Partialkoefficientmetoden

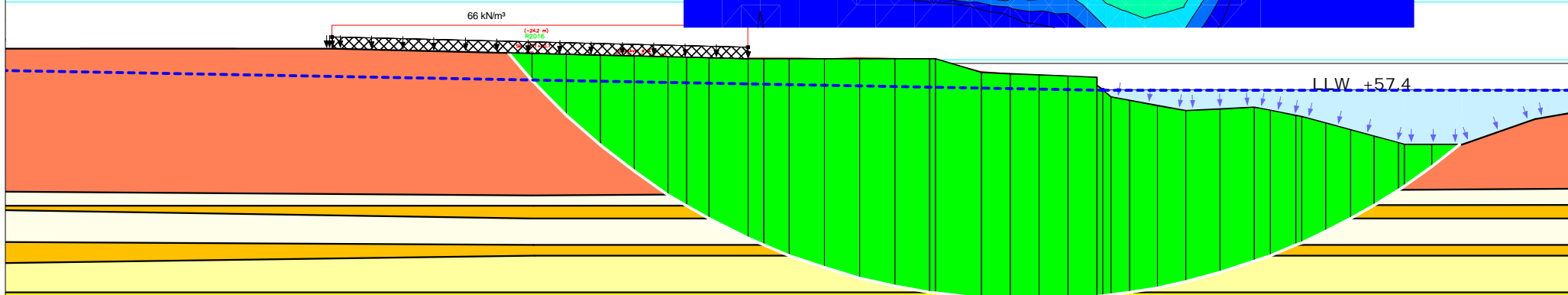
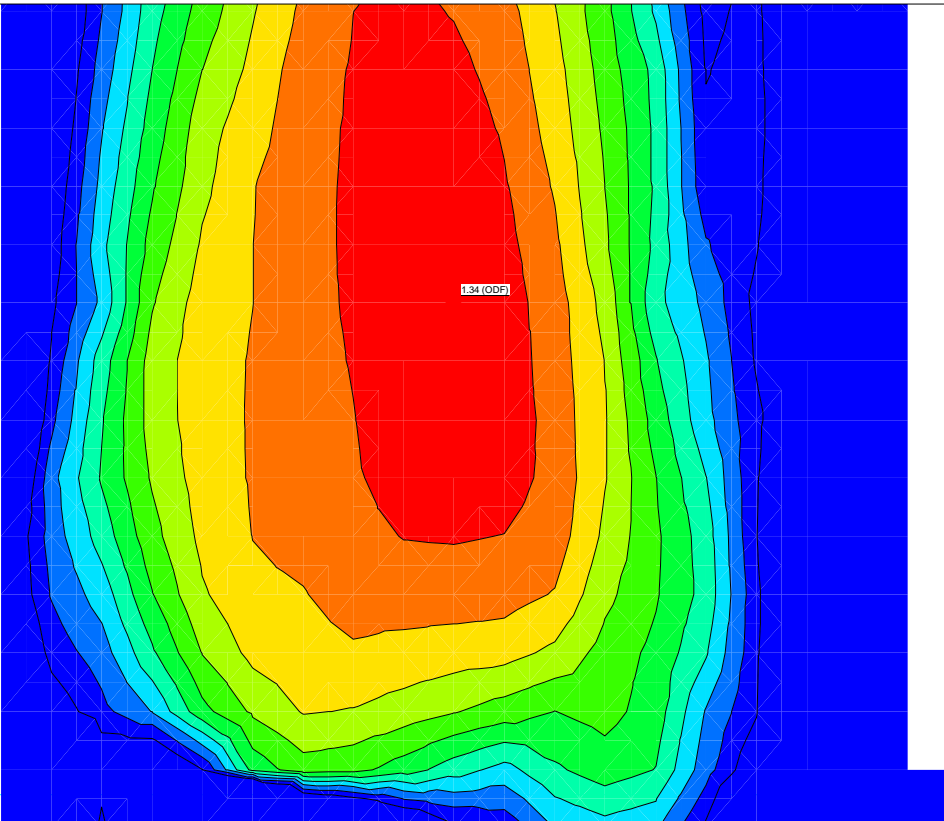
PWP Conditions from: Piezometric Line

Projektor: David Erikson

Geostudio vers: 10.2.1.19666

Datum: 2021-06-23

		(kN/m³)	(kPa)	((kN/m³)/m)	(kPa)	(m)	(kPa)	(°)	(°)	
Lera (1)	Mohr-Coulomb	18				33	0	0	1	
Lera (2)	S=f(datum)	18	33	2	66.5	40			1	
Lerskikt	Mohr-Coulomb	18				25	0	0	1	
Sand	Mohr-Coulomb	18				0	30	0	1	
Silt	Mohr-Coulomb	17				0	27	0	1	



Skala: 1:500 (A4)

Sektion: C känslighetsanalys - Bioblock 66kPa

Beräkning: Kombinerad (3)

Beställare: PEAB Anläggning AB

Metod: Partialkoefficientmetoden

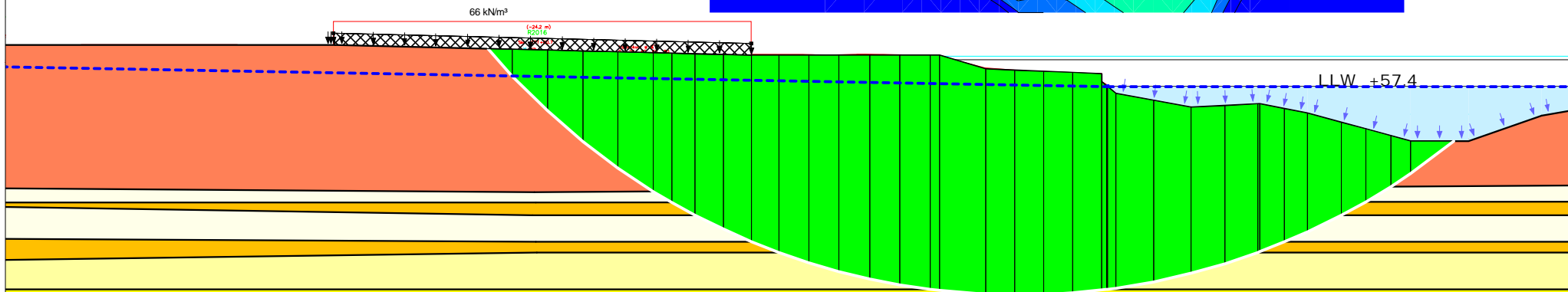
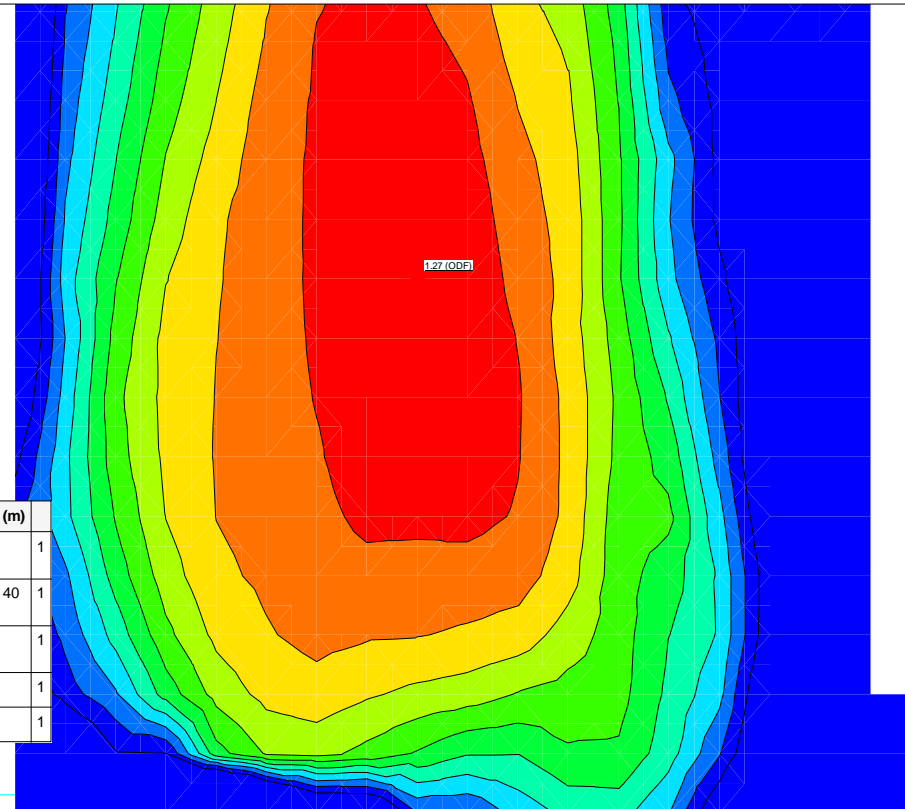
PWP Conditions from: Piezometric Line

Projektor: David Erikson

Geostudio vers: 10.2.1.19666

Datum: 2021-06-23

		(kN/m³)	(kPa)	(°)	(kPa)	(kPa)	((kN/m²)/m)	(kPa)	(kPa)	((kN/m²)/m)	(m)
Lera (1) komb	Combined, S=f(depth)	18		30		3.3	0		33	0	0.1
Lera (2) komb	Combined, S=f(datum)	18		30	3.3		0.2	33	2	0.1	40
Lerskikt komb	Combined, S=f(depth)	18		30		2.5	0		25	0	0.1
Sand	Mohr-Coulomb	18	0	30	0						1
Silt	Mohr-Coulomb	17	0	27	0						1

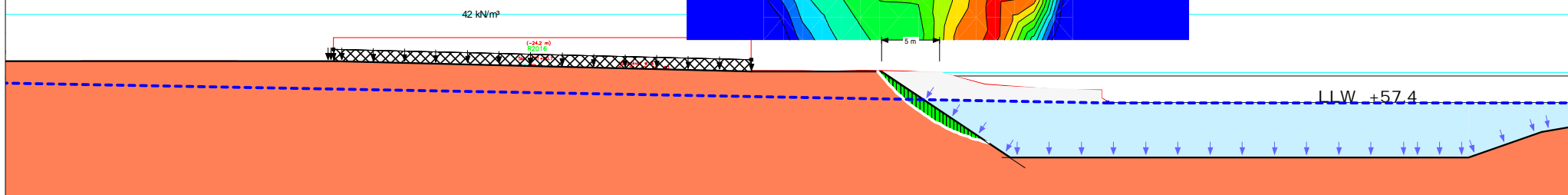
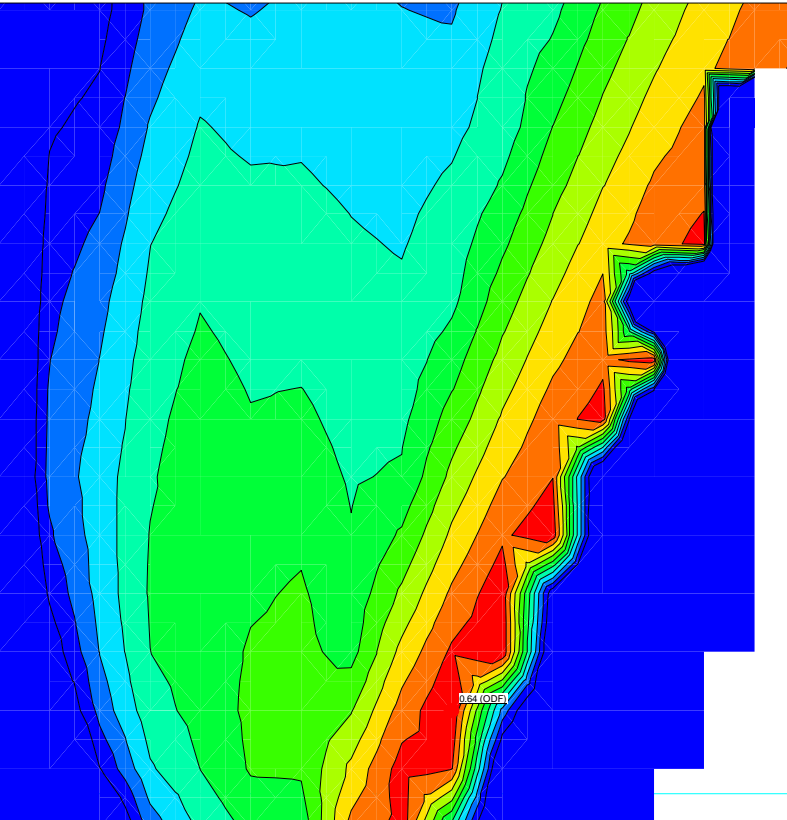


Skala: 1:500 (A4)

RAMBOLL

Sektion: C känslighetsanalys - Bioblock 42kPa + erosion
Beräkning: Odränerad (4)
Beställare: PEAB Anläggning AB
Metod: Partialkoefficientmetoden
PWP Conditions from: Piezometric Line
Projektör: David Erikson
Geostudio vers: 10.2.1.19666
Datum: 2021-06-23

		(kN/m³)	(kPa)	((kN/m³)/m)	(kPa)	(m)	(kPa)	(°)	(°)	(°)
Lera (1)	Mohr-Coulomb	18				33	0	0	1	
Lera (2)	$S=f(\text{datum})$	18	33	2	66.5	40				1
Lerskikt	Mohr-Coulomb	18				25	0	0	1	
Sand	Mohr-Coulomb	18				0	30	0	1	
Silt	Mohr-Coulomb	17				0	27	0	1	



Skala: 1:500 (A4)

Sektion: C känslighetsanalys - Bioblock 42kPa + erosion

Beräkning: Kombinerad (4)

Beställare: PEAB Anläggning AB

Metod: Partialkoefficientmetoden

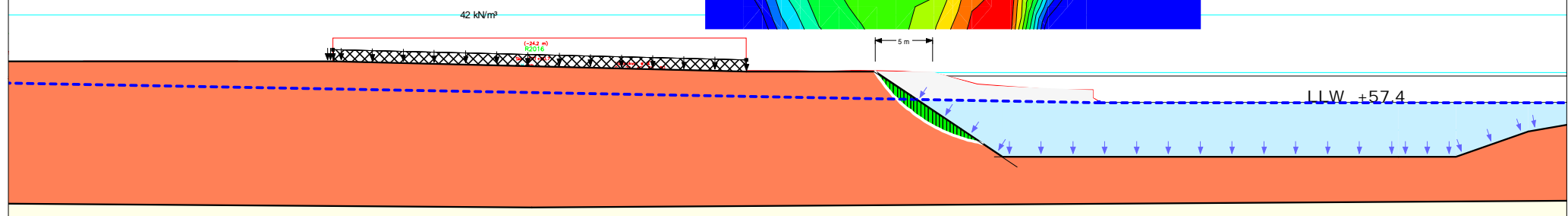
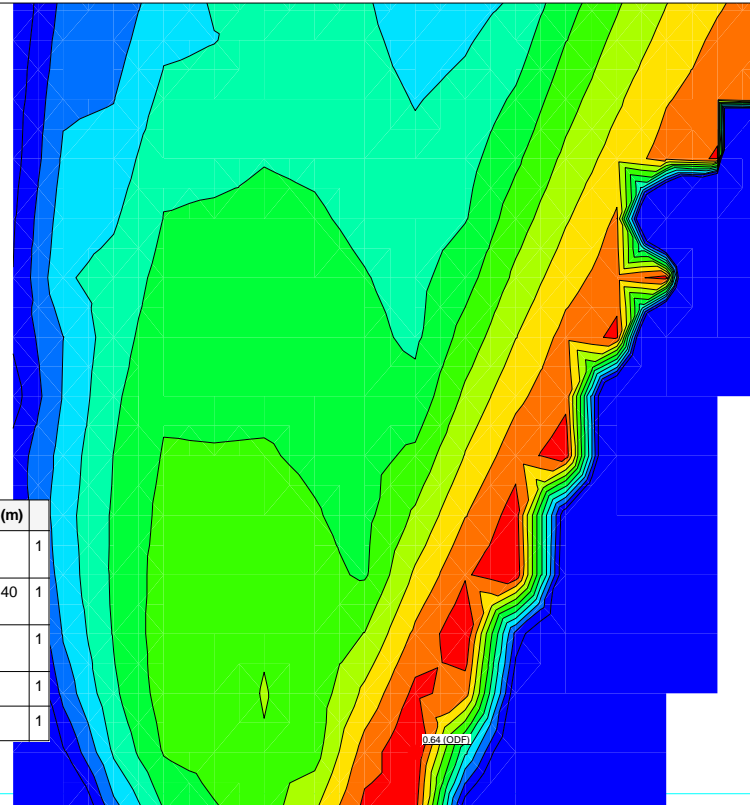
PWP Conditions from: Piezometric Line

Projektor: David Erikson

Geostudio vers: 10.2.1.19666

Datum: 2021-06-23

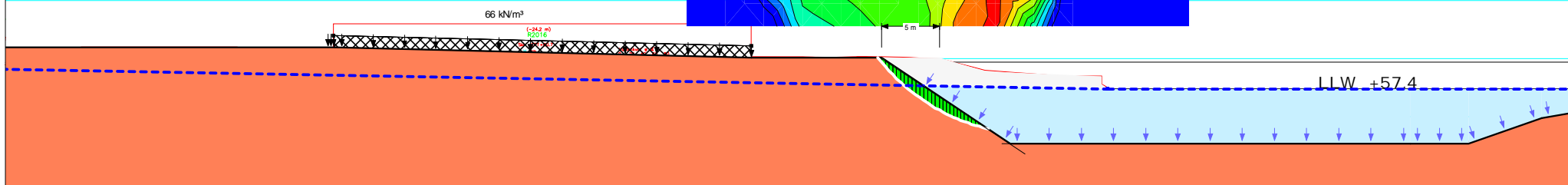
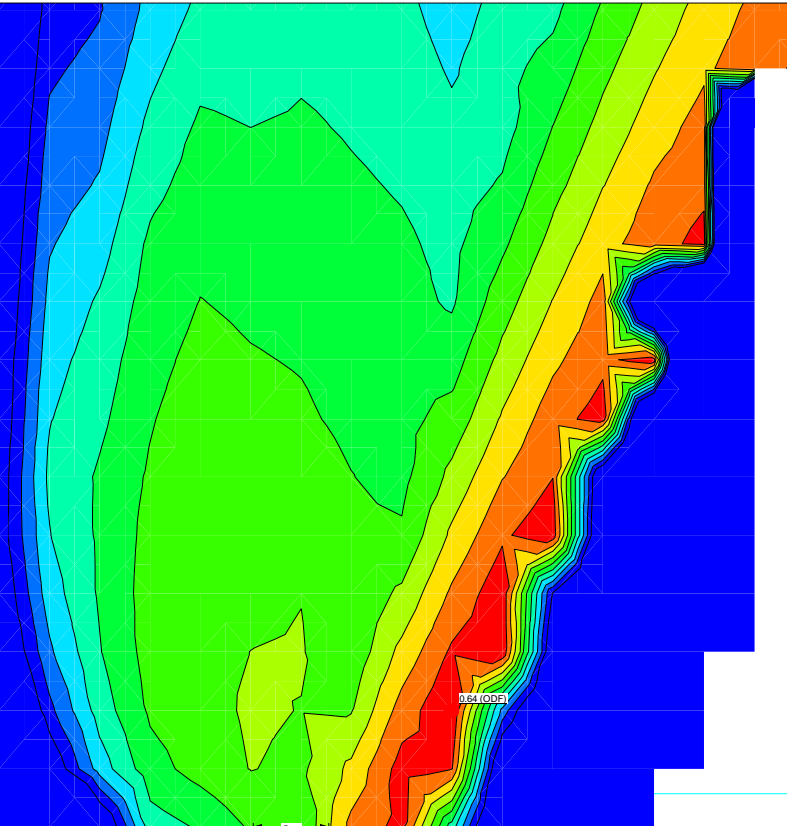
		(kN/m^3)	(kPa)	(°)	(kPa)	(kPa)	((kN/m^2)/m)	(kPa)	(kPa)	((kN/m^2)/m)	(m)	
Lera (1) komb	Combined, $S=f(\text{depth})$	18		30		3.3	0		33	0	0.1	1
Lera (2) komb	Combined, $S=f(\text{datum})$	18		30	3.3		0.2	33	2	0.1	40	1
Lerskikt komb	Combined, $S=f(\text{depth})$	18		30		2.5	0		25	0	0.1	1
Sand	Mohr-Coulomb	18	0	30	0							1
Silt	Mohr-Coulomb	17	0	27	0							1



Skala: 1:500 (A4)

Sektion: C känslighetsanalys - Bioblock 66kPa+ erosion
Beräkning: Odränerad (5)
Beställare: PEAB Anläggning AB
Metod: Partialkoefficientmetoden
PWP Conditions from: Piezometric Line
Projektör: David Erikson
Geostudio vers: 10.2.1.19666
Datum: 2021-06-23

		(kN/m³)	(kPa)	((kN/m³)/m)	(kPa)	(m)	(kPa)	(°)	(°)	(°)
Lera (1)	Mohr-Coulomb	18					33	0	0	1
Lera (2)	$S=f(\text{datum})$	18	33	2	66.5	40				1
Lerskikt	Mohr-Coulomb	18					25	0	0	1
Sand	Mohr-Coulomb	18					0	30	0	1
Silt	Mohr-Coulomb	17					0	27	0	1



Skala: 1:500 (A4)

Sektion: C känslighetsanalys - Bioblock 66kPa+ erosion

Beräkning: Kombinerad (5)

Beställare: PEAB Anläggning AB

Metod: Partialkoefficientmetoden

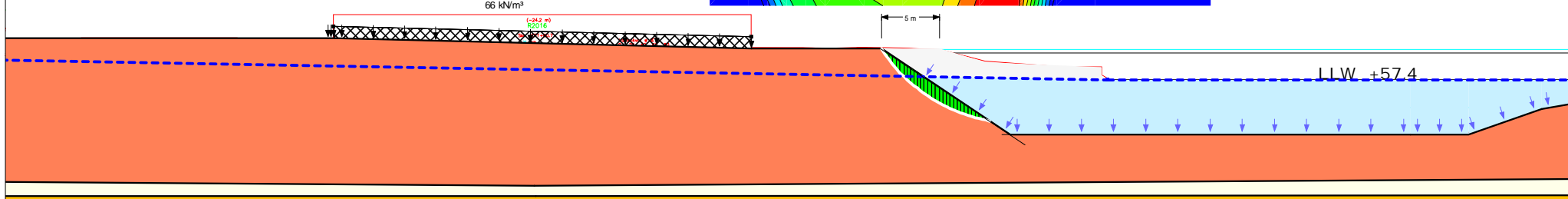
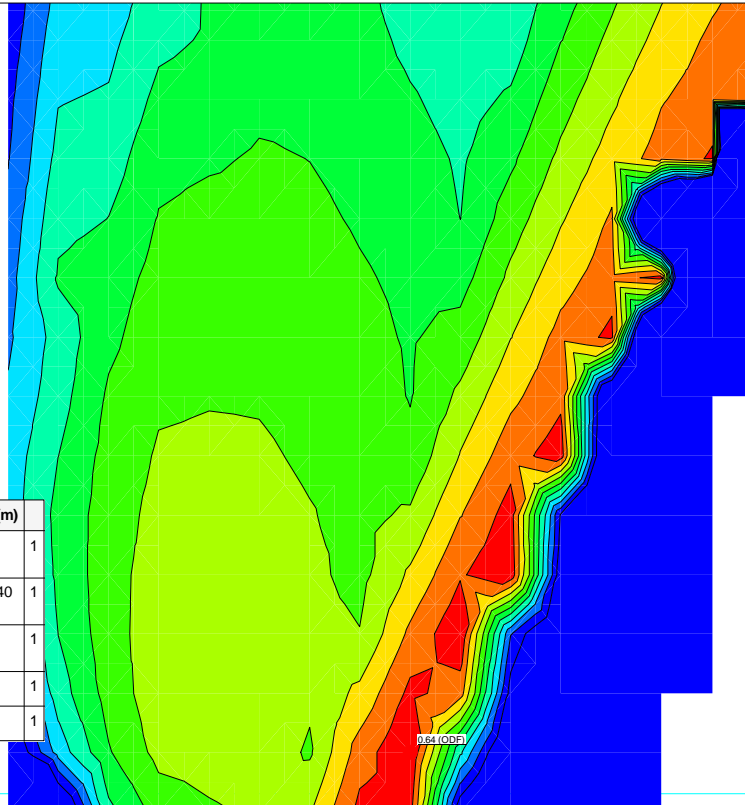
PWP Conditions from: Piezometric Line

Projektor: David Erikson

Geostudio vers: 10.2.1.19666

Datum: 2021-06-23

		(kN/m^3)	(kPa)	($^\circ$)	(kPa)	(kPa)	((kN/m^2)/m)	(kPa)	(kPa)	((kN/m^2)/m)	(m)	
[Lera (1) komb]	Combined, $S=f(\text{depth})$	18		30		3.3	0		33	0	0.1	1
[Lera (2) komb]	Combined, $S=f(\text{datum})$	18		30	3.3		0.2	33	2	0.1	40	1
[Lerskikt komb]	Combined, $S=f(\text{depth})$	18		30		2.5	0		25	0	0.1	1
[Sand]	Mohr-Coulomb	18	0	30	0							1
[Silt]	Mohr-Coulomb	17	0	27	0							1



Skala: 1:500 (A4)